



# COMUNE DI ORTA NOVA



## PROGETTO DEFINITIVO

### – PROGETTO AGROFOTOVOLTAICO –

**IMPIANTO DI PRODUZIONE ELETTRICA DA FONTE RINNOVABILE DI TIPO  
FOTOVOLTAICO INTEGRATO DA PROGETTO DI RIQUALIFICAZIONE AGRICOLA**

Committente:

**URBA-I 130108 S.r.l.**

Via Giorgio Giulini, 2  
20123 Milano (MI)



**StudioTECNICO**  
**Ing. Marco G Balzano**

Via Canello Rotto, 3  
70125 BARI | Italy  
+39 331.6794367  
[www.ingbalzano.com](http://www.ingbalzano.com)



Spazio Riservato agli Enti:

REV	DATA	ESEGUITO	VERIFICA	APPROV	DESCRIZ
R0	12/10/2023	Geol. De Giorgio	Geol. Gigante	MBG	Prima Emissione

Numero Commessa:

**SV664**

Data Elaborato:

**12/10/2023**

Revisione:

**R0**

Titolo Elaborato:

**Relazione di Compatibilità Geologico-Geotecnica**

Progettista:

**ing. Marco G. Balzano**

Ordine degli Ingegneri della Provincia di Bari n.9341  
Professionista Antincendio Elenco Ministero degli Interni BA09341101837  
Consulente Tecnico d'Ufficio (CTU) Tribunale Bari

Elaborato:

**V.16**

## Sommario

1. PREMESSA.....	3
2. NORMATIVA DI RIFERIMENTO.....	4
3. UBICAZIONE DELL'AREA.....	5
4. INQUADRAMENTO GEOLOGICO GENERALE DELL'AREA DI STUDIO.....	7
5. GEOMORFOLOGIA E IDROGRAFIA DEL TERRITORIO.....	9
6. LINEAMENTI IDROGEOLOGICI.....	11
7. CAMPAGNA DI INDAGINI GEOGNOSTICHE: UBICAZIONE DEGLI STENDIMENTI GEOFISICI E DELLE PROVE PENETROMETRICHE .....	13
8. CARATTERIZZAZIONE GEOFISICA DEL SOTTOSUOLO: METODOLOGIA DI ANALISI E STRUMENTAZIONE UTILIZZATA.....	15
8.1 IL METODO DELLA SISMICA A RIFRAZIONE .....	15
8.2 METODO MASW .....	15
8.3 STRUMENTAZIONE UTILIZZATA .....	16
9. ANALISI DI SISMICA A RIFRAZIONE .....	17
9.1 STENDIMENTO SISMICO AA': INTERPRETAZIONE DEI DATI.....	17
9.2 STENDIMENTO SISMICO BB': INTERPRETAZIONE DEI DATI.....	19
9.3 STENDIMENTO SISMICO CC': INTERPRETAZIONE DEI DATI .....	21
9.4 STENDIMENTO SISMICO DD': INTERPRETAZIONE DEI DATI .....	23
9.5 STENDIMENTO SISMICO EE': INTERPRETAZIONE DEI DATI.....	25
10. ANALISI MASW .....	27
10.1 STENDIMENTO SISMICO AA': INTERPRETAZIONE DEI DATI .....	27
10.2 STENDIMENTO SISMICO BB': INTERPRETAZIONE DEI DATI .....	30
10.3 STENDIMENTO SISMICO CC': INTERPRETAZIONE DEI DATI.....	33
10.4 STENDIMENTO SISMICO DD': INTERPRETAZIONE DEI DATI.....	36
10.5 STENDIMENTO SISMICO EE': INTERPRETAZIONE DEI DATI .....	39
11. CLASSIFICAZIONE DEL SOTTOSUOLO DI FONDAZIONE DEI SITI DI PROGETTO .....	42
11.1 DETERMINAZIONE DELLA CATEGORIA DI SOTTOSUOLO DELLO STENDIMENTO AA'.....	44
11.2 DETERMINAZIONE DELLA CATEGORIA DI SOTTOSUOLO DELLO STENDIMENTO BB' .....	45
11.3 DETERMINAZIONE DELLA CATEGORIA DI SOTTOSUOLO DELLO STENDIMENTO CC' .....	46
11.4 DETERMINAZIONE DELLA CATEGORIA DI SOTTOSUOLO DELLO STENDIMENTO DD' .....	47
11.5 DETERMINAZIONE DELLA CATEGORIA DI SOTTOSUOLO DELLO STENDIMENTO EE' .....	48
12. CARATTERIZZAZIONE ELASTICA DEI TERRENI DI FONDAZIONE .....	49
13. PROVE PENETROMETRICHE DINAMICHE .....	50
13.1 PROVA SV664_S1 .....	52
13.2 PROVA SV664_S2 .....	55
13.3 PROVA SV664_S3 .....	58
13.4 PROVA SV664_S4 .....	61
13.5 PROVA SV664_S5 .....	64
13.6 PROVA SV664_S6 .....	67
14. MODELLO GEOLOGICO-TECNICO GENERALE .....	70
14.1 MODELLO GEOLOGICO-TECNICO CAMPO FOTOVOLTAICO .....	70
14.2 MODELLO GEOLOGICO-TECNICO SOTTOSTAZIONE.....	70
15. CENNI SULLA SISMICITÀ DELL'AREA.....	71
15.1 CLASSIFICAZIONE SISMICA.....	71

---

15.2 CATEGORIA DI SOTTOSUOLO E CONDIZIONI TOPOGRAFICHE (D.M. 17/01/2018) .....	71
15.2.1 <i>Categoria di sottosuolo di riferimento</i> .....	71
15.2.2 <i>Condizioni topografiche</i> .....	71
15.3 PERICOLOSITÀ SISMICA DI BASE.....	71
15.4 ACCELERAZIONE MASSIMA ATTESA IN SUPERFICIE.....	72
16. CONSIDERAZIONI CONCLUSIVE.....	74

## 1. Premessa

Il presente studio di compatibilità geologico-geotecnico, redatto dal sottoscritto dott. Geol. Giorgio De Giorgio su incarico dello STUDIO TECNICO Ing. Marco Balzano integra la documentazione a corredo del *Progetto per la Realizzazione di impianto Agri-fotovoltaico denominato “AgroPV – San Marco”*, da realizzare su lotto posizionato nel territorio comunale di Orta Nova, provincia di Foggia.

L’iniziativa prevede la realizzazione di un impianto agrivoltaico, ossia destinato alla produzione di energia elettrica da fonte rinnovabile solare, integrato da un progetto agronomico studiato per assicurare la compatibilità con le caratteristiche pedo-agricole e storiche del sito.

Lo studio è stato esteso oltre al sito su cui saranno installati i pannelli fotovoltaici anche alle aree interessate dalla realizzazione delle opere connesse e delle infrastrutture indispensabili alla perfetta funzionalizzazione dell’impianto su indicato, ossia l’elettrodotto di collegamento e la sottostazione di servizio.

In relazione a quanto riportato in premessa, nel presente documento sono inseriti gli studi geologici, geomorfologici, idrogeologici, sismici e geotecnici effettuati nell’area di progetto per definire la **compatibilità geologica e geotecnica dell’intervento nei confronti dei terreni in cui esso sarà inserito in relazione alle destinazioni e alle trasformazioni d’uso del suolo collegate alla realizzazione dell’intervento stesso.**

Per la realizzazione del modello geologico e del modello geotecnico di riferimento è stata realizzata una campagna di indagini geognostiche di tipo indiretto e diretto consistenti nell’esecuzione delle seguenti prove;

- realizzazione di n.5 tomografie sismiche per la valutazione della stratigrafia e dei caratteri tecnici dei litotipi costituenti gli strati superficiali del sottosuolo e interessati come terreno di fondazione delle strutture;
- realizzazione di n.5 indagini MASW (Multichannel Spectral Analysis of Surface Waves) per la definizione della categoria di sottosuolo di fondazione, come richiesto dall’attuale normativa vigente in materia antisismica e disciplinato dalle Nuove Norme Tecniche delle Costruzioni del 2018;
- Realizzazione di n.6 prove penetrometriche.

## 2. Normativa di riferimento

Nella redazione della presente relazione è stata presa in considerazione la vigente normativa tecnica italiana, ed in particolare, le seguenti disposizioni:

- D.M. 17 gennaio 2018: *"NORME TECNICHE PER LE COSTRUZIONI"* (G.U. del 20 febbraio 2018 Suppl. Ordinario n.42) e Circolare Applicativa C.S.LL.PP. 21 gennaio 2019 n.7: *"ISTRUZIONI PER L'APPLICAZIONE DELL'AGGIORNAMENTO DELLE NORME TECNICHE PER LE COSTRUZIONI, DI CUI AL DECRETO MINISTERIALE 17 GENNAIO 2018"* (G.U. n.35 del 11 febbraio 2019 - Suppl. Ordinario n.5);
- D.G.R. 15 settembre 2009 n.1626: *"D.M. 14.01.2008 - NORME TECNICHE PER LE COSTRUZIONI. DISPOSIZIONE IN MERITO ALLE PROCEDURE DA ADOTTARE IN MATERIA DI CONTROLLI E/O AUTORIZZAZIONI, AI SENSI E PER GLI EFFETTI DI CUI AGLI ARTT. 93 E 94 DEL D.P.R. N. 06.06.2001, N. 380 E s.m.i."* (Boll. Uff. Regione Puglia n.151 del 29.9.2009);
- Piano di Assetto Idrogeologico (PAI) dell'Autorità di Bacino della Puglia (12/11/04 e nota 25/CT del 15/12/04), in vigore dal Dicembre 2005;
- OPCM n.3274 del 20 marzo 2003: *"Primi elementi in materia di criteri generali per la classificazione sismica del territorio nazionale e di normative tecniche per le costruzioni in zona sismica"* successive modificazioni e collegata normativa regionale;
- Piano Urbanistico Territoriale Tematico / Paesaggio (PUTT/P), approvato con Del. GR. n.1748 del 15 dicembre 2000, in adempimento di quanto disposto dalla legge n. 431 del 8 Agosto 1985 e dalla legge regionale n.56 del 31 Maggio 1980.
- Piano Paesaggistico Territoriale Regionale della Puglia (PPTR), adottato con Del. GR n.1435 del 2 agosto 2013 (Boll. Uff. Regione Puglia n.108 del 06.08.2013).

Inoltre, la presente relazione è stata redatta tenuto conto di quanto espresso dal Piano di Assetto Idrogeologico (PAI) dell'Autorità di Distretto dell'Appennino Meridionale e dal Piano di Tutela delle Acque (deliberazione della Giunta Regionale n. 883 del 19.06.2007).

### 3. Ubicazione dell'area

L'area interessata dall'opera è situata nel territorio comunale di Orta Nova ed in quello di Ascoli Satriano (Fg), nell'area interna del Tavoliere delle Puglie.

Nelle seguenti immagini si riporta la cartografia di riferimento con ubicazione dell'area interessata dalle opere:

- Stralcio della Carta Topografica d'Italia IGMI: F°175 IV NE "Ortona" - F°175 IV SE "Corleto" - F°175 IV SO "Ascoli Satriano" - F°175 IV NO "Castelluccio dei Sauri": fonte: [www.pcn.minambiente.it](http://www.pcn.minambiente.it) (fig.1);
- Immagine satellitare anno 2016; fonte: [www.sit.puglia.it](http://www.sit.puglia.it) (fig.2);
- Stralcio open topo map (fig.3).

Inoltre il sito ricade nel Foglio 175 "Cerignola" della Carta Geologica d'Italia alla scala 1:100.000.

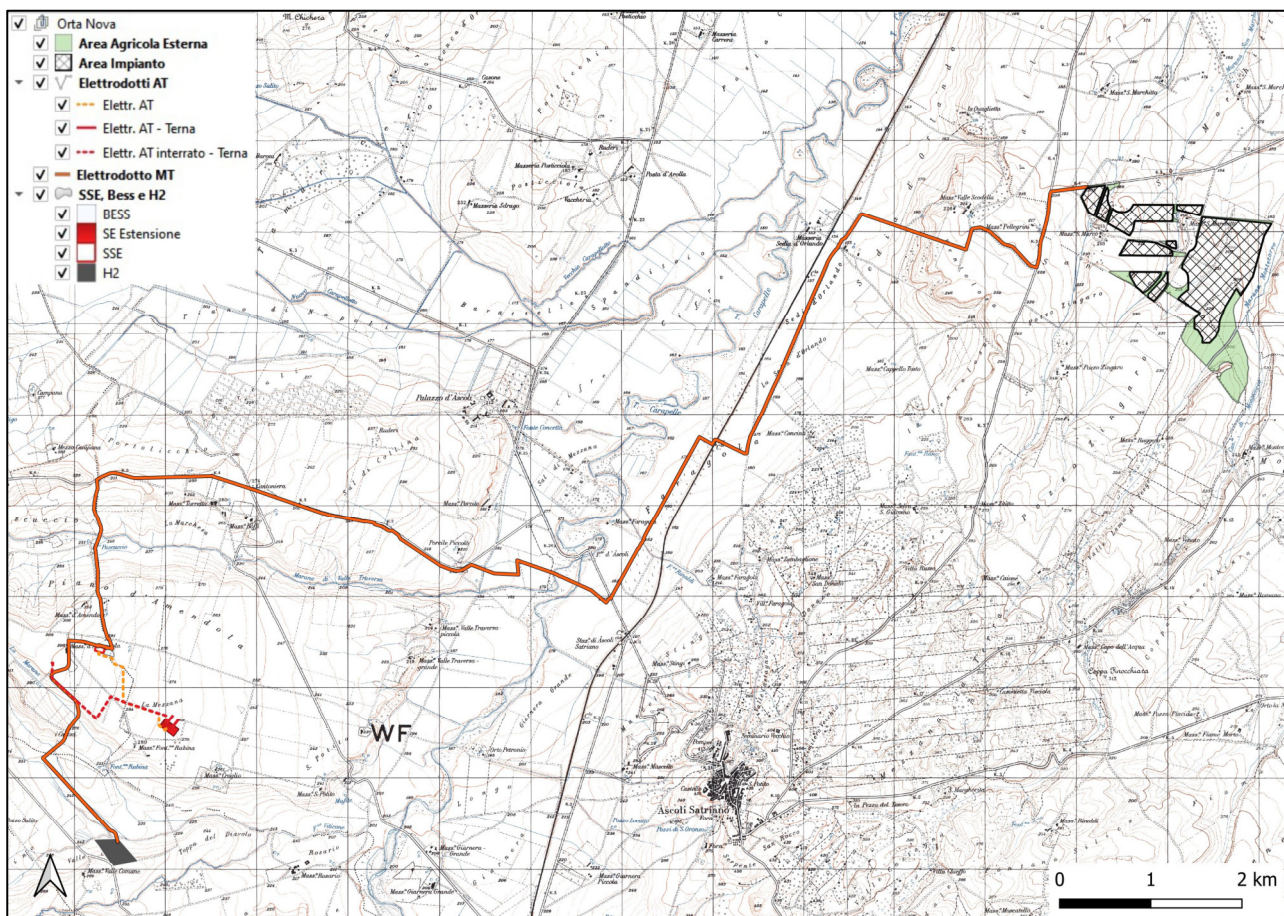


Figura 1 - Stralcio delle Tavole IGMI interessate dal progetto. Fonte: [www.pcn.minambiente.it](http://www.pcn.minambiente.it).



Figura 2 - Ubicazione del sito su Immagine satellitare del 2015. Fonte: [www.sit.puglia.it](http://www.sit.puglia.it)

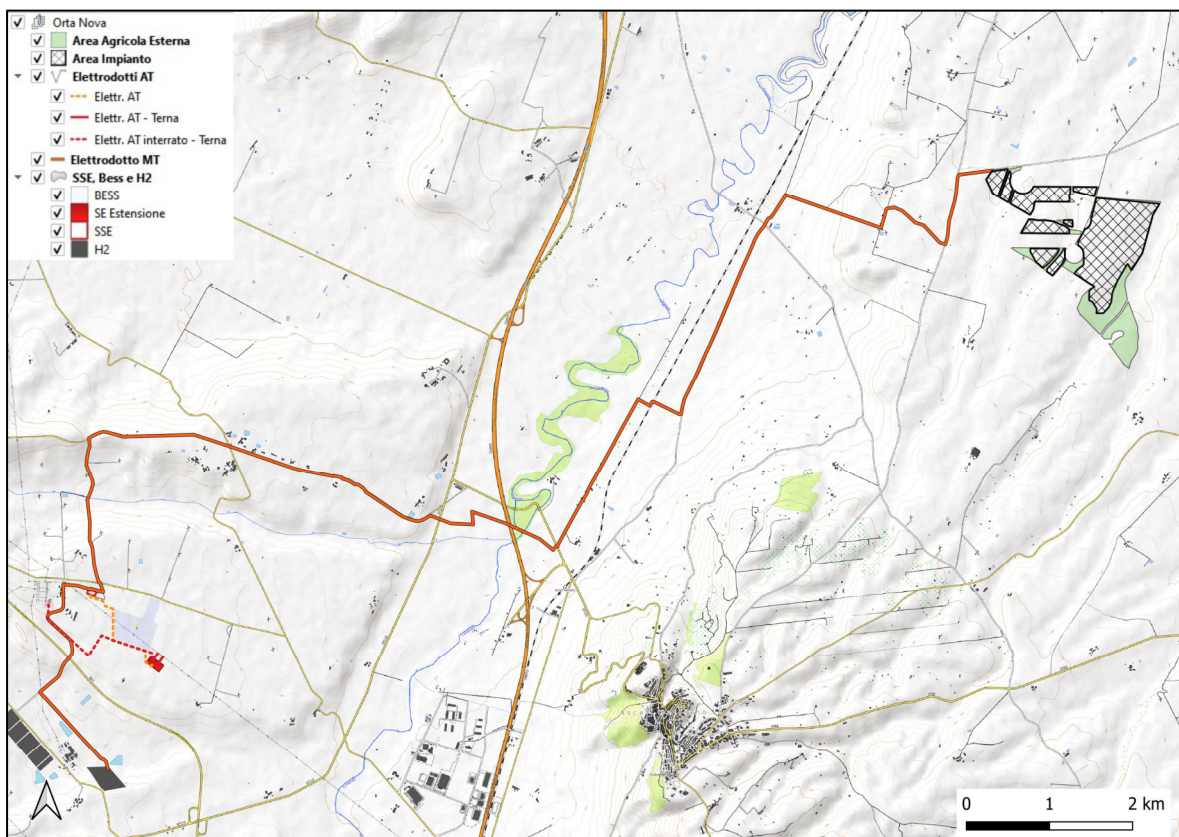


Figura 3 - Ubicazione del sito su OSM open topo MAP

#### 4. Inquadramento geologico generale dell'area di studio

L'area in esame risulta inserita nella piana del Tavoliere delle Puglia, unità geografica appartenente al dominio geostrutturale dell'avanfossa bradanica, e costituita da depositi silicoclastici di riempimento di età pliocenica e infrapleistocenica e da depositi marini e alluvionali delle coperture medio-supra pleistoceniche e oloceniche della piana. Tali depositi, rinvenuti nel sottosuolo nel corso delle numerose perforazioni eseguite per la ricerca di idrocarburi, sono il prodotto dell'intensa attività sedimentaria, tipica di un bacino subsidente, che ha interessato l'Avanfossa appenninica a partire dal Pliocene inferiore. Si tratta di argille indicate con il generico termine di "Argille grigio azzurre" per via del loro colore tipico che, nella parte più superficiale, tende al giallastro a causa dei fenomeni di alterazione. All'interno della successione argillosa, sono presenti, a diverse altezze stratigrafiche, interstrati sabbiosi formanti corpi lenticolari di modesto spessore. La deposizione di questa unità litologica ha avuto inizio nel Pliocene e si è conclusa nel Pleistocene Superiore, ed il suo spessore risulta particolarmente elevato spingendosi fino a raggiungere diverse centinaia di metri. Al di sopra dell'unità delle Argille grigio azzurre si rinvengono i depositi Quaternari che vanno a costituire un'estesa copertura in grado di raggiungere o superare le decine di metri in potenza e sono rappresentati da un'alternanza lenticolare di sedimenti alluvionali ghiaiosi, sabbiosi e argillosi, in parte limosi, di facies continentale che si incrociano e anastomizzano di frequente. Questi rappresentano il risultato dei numerosi episodi deposizionali che hanno interessato il Tavoliere. Le alluvioni del Tavoliere contengono, nella parte più superficiale, una crosta evaporitica di natura calcarea, il cui spessore può raggiungere anche gli 8 o 10 metri e la cui genesi sarebbe riconducibile al fenomeno della risalita capillare e al clima fortemente arido che in passato ha caratterizzato l'area. Verso la costa, affiorano i depositi palustri e di colmata olocenici, costituiti essenzialmente da limi. Il quadro stratigrafico si completa con i depositi costieri, anch'essi dell'Olocene, costituiti da sabbie e ghiaie formanti una stretta spiaggia delimitata verso terra da cordoni dunari.

L'area oggetto di studio ricade, come detto in precedenza, nella zona meridionale del Tavoliere, in corrispondenza della zona nord-occidentale del Foglio 175 "Cerignola", area caratterizzata dalla presenza di sedimenti silicoclastici la cui locale successione stratigrafica, desunta dall'analisi bibliografica e dalla lettura della Carta geologica di riferimento, risulta così costituita dall'unità più recente a quella più antica.:

Qt<sub>3</sub> – Alluvioni terrazzate recenti poco superiori all'alveo attuale con terre nere e crostoni evaporitici;

QC<sub>2</sub> – Ciottolame incoerente, localmente cementato con ciottoli di medie e piccole dimensioni con intercalazioni sabbiose;

QC<sub>1</sub> – Conglomerati poligenici con ciottoli di medie e grandi dimensioni a volte fortemente cementati e con intercalazioni di sabbie e arenarie;

PQ<sub>a</sub> – Argille e argille marnose grigio-azzurrognole, localmente sabbiose microfossilifere.

Le prime due unità, QC<sub>1</sub> e PQ<sub>s</sub>, risultano affioranti in contatto eteropico, e poggiano in contatto erosivo con la sottostante unità PQ<sub>a</sub>.

**Il campo fotovoltaico insiste esclusivamente sull'unità QC<sub>2</sub>**, costituita da Ciottolame incoerente, localmente cementato con ciottoli di medie e piccole dimensioni con intercalazioni sabbiose, il cui spessore è di circa 10 metri.

**L'elettrodotto** invece, lungo il suo sviluppo, interessa nella prima parte i sedimenti dell'unità QC<sub>2</sub>, poi attraversa i depositi alluvionali terrazzati Qt<sub>3</sub>, prosegue infine interessando i depositi QC<sub>1</sub>, interrotti per un piccolo lembo dai depositi PQ<sub>a</sub>.

**La sottostazione** infine, insiste per la maggior parte della sua estensione sui depositi conglomeratici QC<sub>1</sub>.

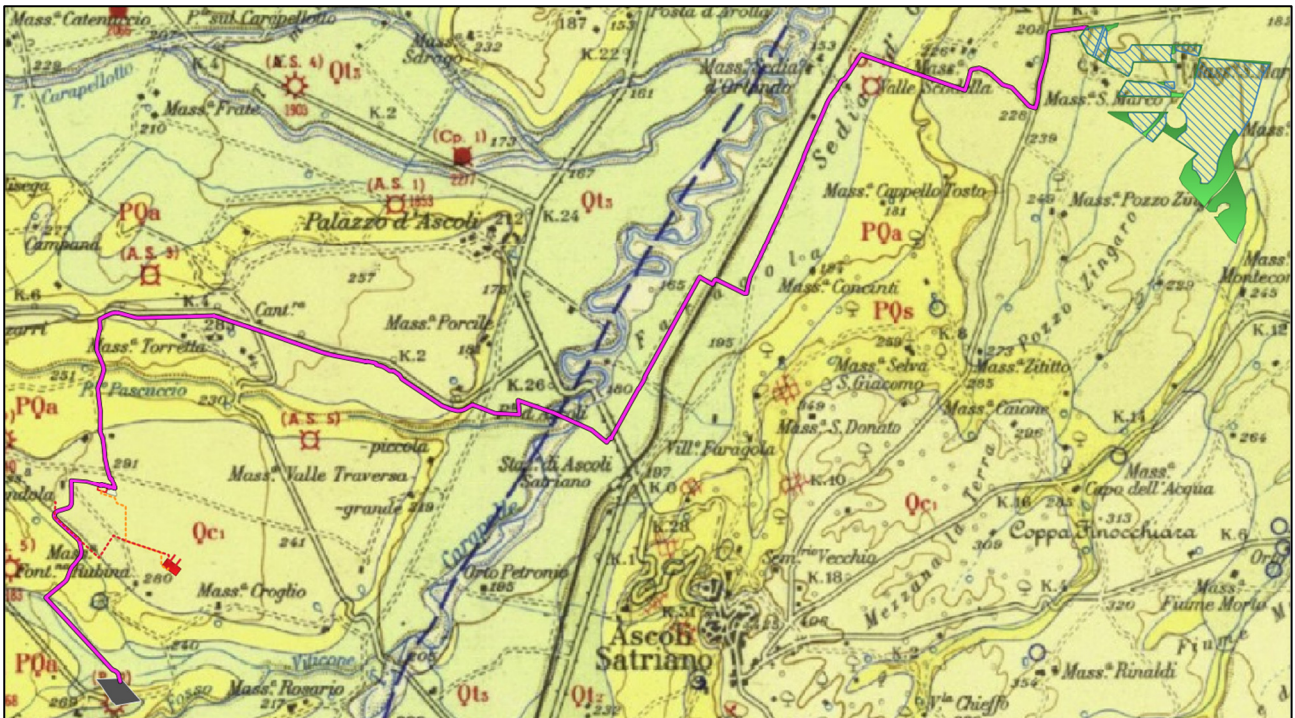


Figura 4 – Stralcio del Foglio 175 “Cerignola” con indicazione dell’area in cui saranno installati i pannelli fotovoltaici e dell’elettrodotto  
 Fonte: [www.isprambiente.gov.it](http://www.isprambiente.gov.it)

## 5. Geomorfologia e idrografia del territorio

I caratteri morfologici e idrografici del sito di studio sono quelli tipici del Tavoliere delle Puglie, caratterizzato da una serie di superfici pianeggianti, più o meno estese, interrotte dai principali corsi d'acqua e da locali canali e/o marane a deflusso spiccatamente stagionale. In tali aree l'evoluzione dei caratteri morfologici è stata evidentemente condizionata dalla natura del substrato geologico presente; gli affioramenti topograficamente più elevati, in corrispondenza dei quali spesso sorgono i centri urbani, sono caratterizzati dalla presenza di una litologia più resistente all'azione modellatrice degli agenti esogeni, al contrario le aree più depresse sono la testimonianza di una litologia meno competente e quindi più facilmente modellabile. Nel complesso l'area di progetto non è interessata dalla presenza di fenomeni erosivi in senso lato né è soggetta a rapida evoluzione e rimodellamento morfologico (inteso esclusivamente in termini di agenti esogeni naturali), in quanto questo si esercita in forma marginale ed attenuata e del tutto trascurabile ai fini degli interventi previsti.

**Il sito dove saranno installati i pannelli fotovoltaici** è posizionato lungo un versante solcato da numerosi impluvi e digradante verso la zona nord-orientale con pendenze non molto elevate.

**Il tracciato dell'elettrodotta** invece, interessa nella prima parte i sedimenti dell'unità QC<sub>2</sub>, poi attraversa i depositi alluvionali terrazzati Qt<sub>3</sub>, prosegue infine interessando i depositi QC<sub>1</sub>, interrotti per un piccolo lembo dai depositi PQ<sub>a</sub>.

In quest'area l'idrografia superficiale presenta un regime tipicamente torrentizio, caratterizzato da lunghi periodi di magra interrotti da piene in occasione di eventi meteorici particolarmente intensi.

Per quanto attiene il reticolo idrografico inoltre, dall'analisi delle perimetrazioni del PAI Puglia presenti e visionabili sul sito dell'Autorità di Distretto dell'Appennino Meridionale è possibile osservare quanto segue.

La zona dove saranno installati i pannelli fotovoltaici non è interessata da zone PAI ma è solcata da una serie di impluvi per il quale è stato condotto uno specifico studio di compatibilità idrologico e idraulica.

Il tracciato lungo cui si sviluppa il cavidotto è interessato da numerosi reticoli idrografici segnati sulla cartografia IGM e riportati nel PGRA, per i quali è stato realizzato uno studio di compatibilità idraulica al fine di delineare le zone a Pericolosità idraulica e delimitare i tratti in TOC per il superamento dell'alveo del cavidotto.

La maggior parte delle aree inoltre, ricadono in zona PG1 ma, in relazione a quanto previsto in fase di progettazione, è possibile affermare che la realizzazione delle strutture non influenzeranno in negativo le condizioni di equilibrio idrogeomorfologico presente.

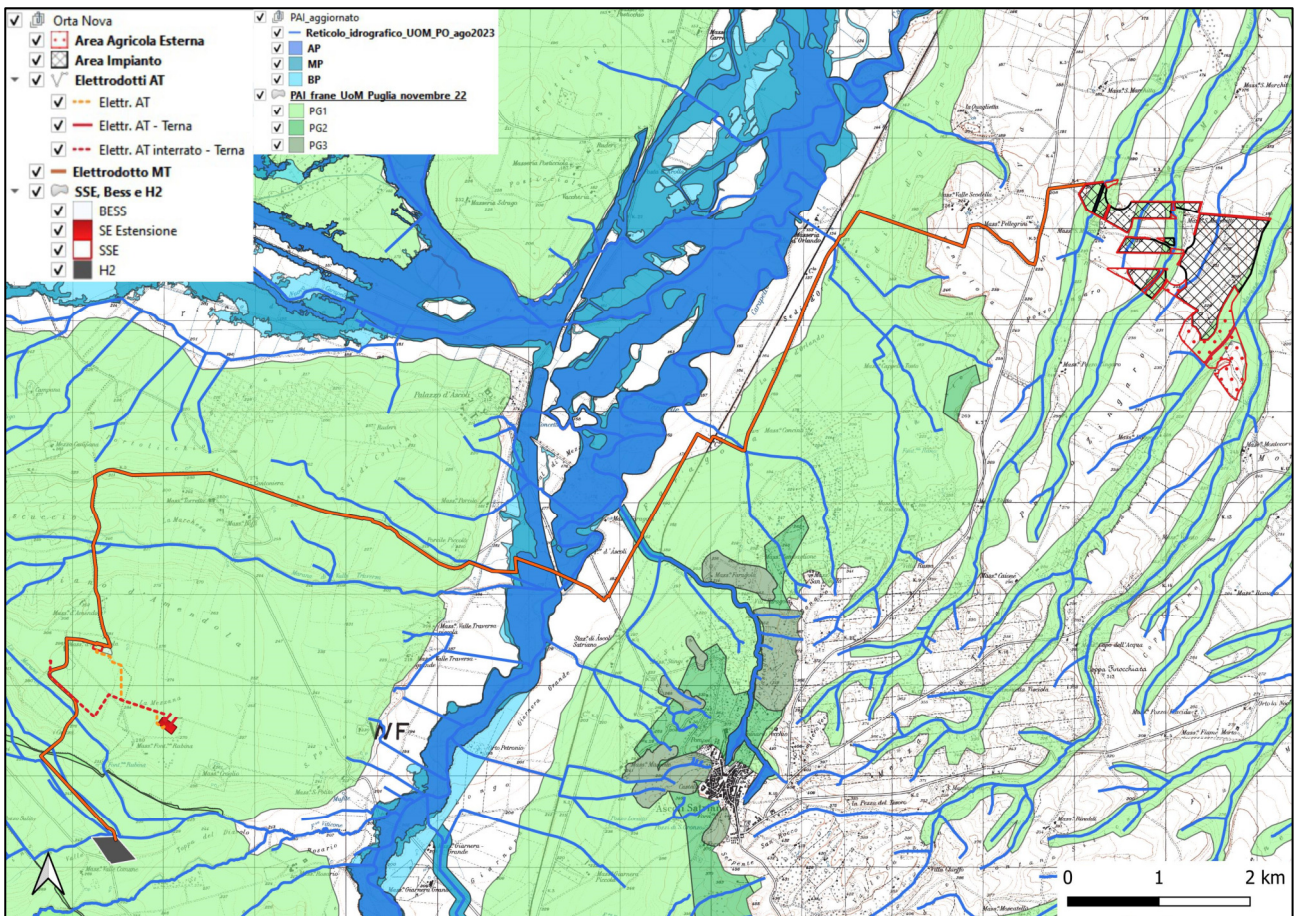


Fig. 5 – Stralcio della Cartografia del PAI Puglia con indicazioni delle aree di intervento e delle strutture connesse redatte dall'Autorità di Distretto dell'Appennino Meridionale

## 6. Lineamenti idrogeologici

Dal punto di vista idrogeologico, l'area di studio è interessata dalla presenza dell'acquifero poroso superficiale del Tavoliere, la cui falda è ospitata nei depositi quaternari di copertura di questa unità fisiografica.

Detti depositi, il cui spessore aumenta procedendo da SE verso NW, ospitano una estesa falda idrica generalmente frazionata su più livelli. Le stratigrafie dei numerosi pozzi per acqua realizzati in zona, evidenziano infatti l'esistenza di una successione di terreni sabbioso-ghiaioso, permeabili ed acquiferi, intercalati a livelli limo-argillosi a minore permeabilità, con ruolo di acquitardi.

La base della circolazione idrica è rappresentata dalle argille grigio-azzurre (argille subappennine) la cui profondità di rinvenimento risulta progressivamente maggiore procedendo da SE verso NW. I diversi livelli in cui l'acqua fluisce non costituiscono orizzonti separati ma idraulicamente interconnessi, dando luogo ad un unico sistema acquifero.

L'acqua si rinviene in condizioni di falda libera nei livelli idrici più superficiali e in pressione in quelli più profondi. A tale sistema acquifero, nel suo complesso, si dà il nome di falda superficiale del Tavoliere.

Trattandosi di un acquifero eterogeneo, sia in termini di spessore che di granulometria, la potenzialità, come pure la trasmissività idraulica, variano sensibilmente da zona a zona. L'andamento delle isopieze, ricostruite sulla base dei dati raccolti in un recente monitoraggio, mostra una generale corrispondenza con la topografia: le quote piezometriche, infatti, tendono a diminuire procedendo da SO verso NE consentendo di definire una direttrice di deflusso preferenziale in tal senso. Per le considerazioni su menzionate e per le caratteristiche dei litotipi che insistono nell'area oggetto di studio, questi ultimi rientrano nell'”**Acquifero poroso superficiale**”.

In corrispondenza del sito di progetto, sulla base delle informazioni desunte da alcuni pozzi per il prelievo idrico presenti nel database dell'ISPRA, è posizionata a circa 50 metri di profondità dal piano campagna, e pertanto non dovrebbe interessare le strutture di fondazione dei locali e i sostegni dei tracker fotovoltaici.

Tuttavia è possibile il rinvenimento di acquiferi sospesi sostenuti alla base da orizzonti a permeabilità bassa, a profondità inferiori dal piano campagna, a cui si dovrà prestare attenzione in fase di installazione dei moduli fotovoltaici.

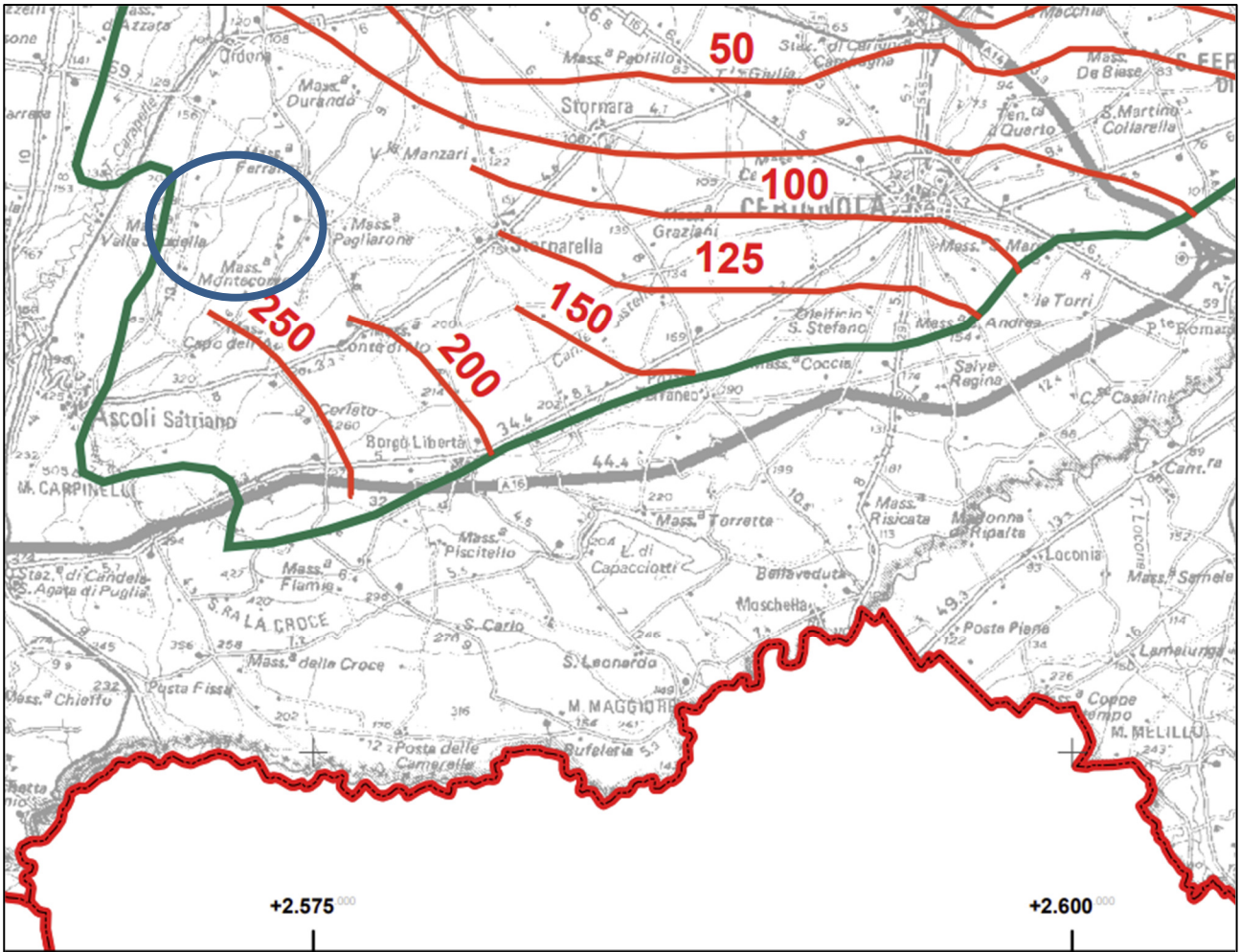


Figura 6 – Stralcio della carta dei carichi piezometri dell’acquifero poroso superficiale del Tavoliere delle Puglia.  
 (Fonte: Piano di Tutela delle Acque della Regione Puglia)

## 7. Campagna di indagini geognostiche: ubicazione degli stendimenti geofisici e delle prove penetrometriche

Per la definizione del Modello Geologico del Sottosuolo e la determinazione della risposta sismica del sito, come previsto dall'attuale normativa (Norme Tecniche per le Costruzioni di cui al D.M.17/1/2018), l'indagine geognostica è consistita nella ricostruzione dei caratteri litostratigrafici e geostrutturali dell'ammasso roccioso nel suo volume significativo.

Per raggiungere tali obiettivi sono stati interpretati e correlati come detto i dati derivanti dalle indagini geofisiche indirette (sismica a rifrazione onde P e M.A.S.W.) eseguite nell'area in cui saranno installati i pannelli fotovoltaici e dove sarà realizzata la sottostazione di servizio (fig. 7), integrati dalle risultanze superficiali (osservazioni di scavi, fronti stradali, ecc.) rilevate durante sopralluoghi mirati, nonché da quanto emerso da studi pregressi e dalle prove penetrometriche realizzate in sito.

Il piano di indagini per la caratterizzazione dei terreni quindi, nel suo complesso, è consistito nella realizzazione di n. 6 prove penetrometriche e n. 5 indagini sismiche.

Per le indagini sismiche in particolare, sono state realizzate le prove in modalità tomografica e sono state eseguite le MASW sulla stessa traccia.

Nella seguente tabella sono sintetizzate le informazioni relative alla localizzazione delle indagini, illustrate inoltre in fig. 7. Gli stendimenti sismici con sigla AA', BB', CC' e DD' sono stati realizzati in corrispondenza del campo fotovoltaico, mentre lo stendimento EE' in corrispondenza della sottostazione di servizio.

Per quanto concerne le prove penetrometriche invece, le indagini S1, S2, S3, S4 e S5 sono state realizzate in corrispondenza del campo fotovoltaico, mentre la S6 in corrispondenza della sottostazione di servizio.

SIGLA PROVA PENETROMETRICA	LAT.	LONG.	SIGLA INDAGINE SISMICA	LAT.	LONG.
SV664 S1 (4.20 m)	4568037.2	551323.5	TOMO AA' (24 m)	A – 4568046.9	A – 551371.0
				À – 4568022.6	À – 551361.2
SV664 S2 (3.80 m)	4567912.3	552289.8	TOMO BB' (24 m)	B – 4567522.8	B – 552130.5
				B' – 4567500.8	B' – 552117.9
SV664 S3 (4.40 m)	4567511.7	552120.7	TOMO CC' (24 m)	C – 4567307.7	C – 551625.6
				C' – 4567290.4	C' – 551644.1
SV664 S4 (4.10 m)	4567254.5	551603.4	TOMO AA' (24 m)	D – 4567899.4	D – 552942.7
				D' – 4567900.7	D' – 552916.4
SV664 S5 (4.00 m)	4567893.4	552985.6			
SV664 S6 (4.20 m)	4563208.6	540241.5	TOMO EE' (24 m)	E – 4563196.1	E – 540227.2
				E' – 4563222.1	E' – 540234.7

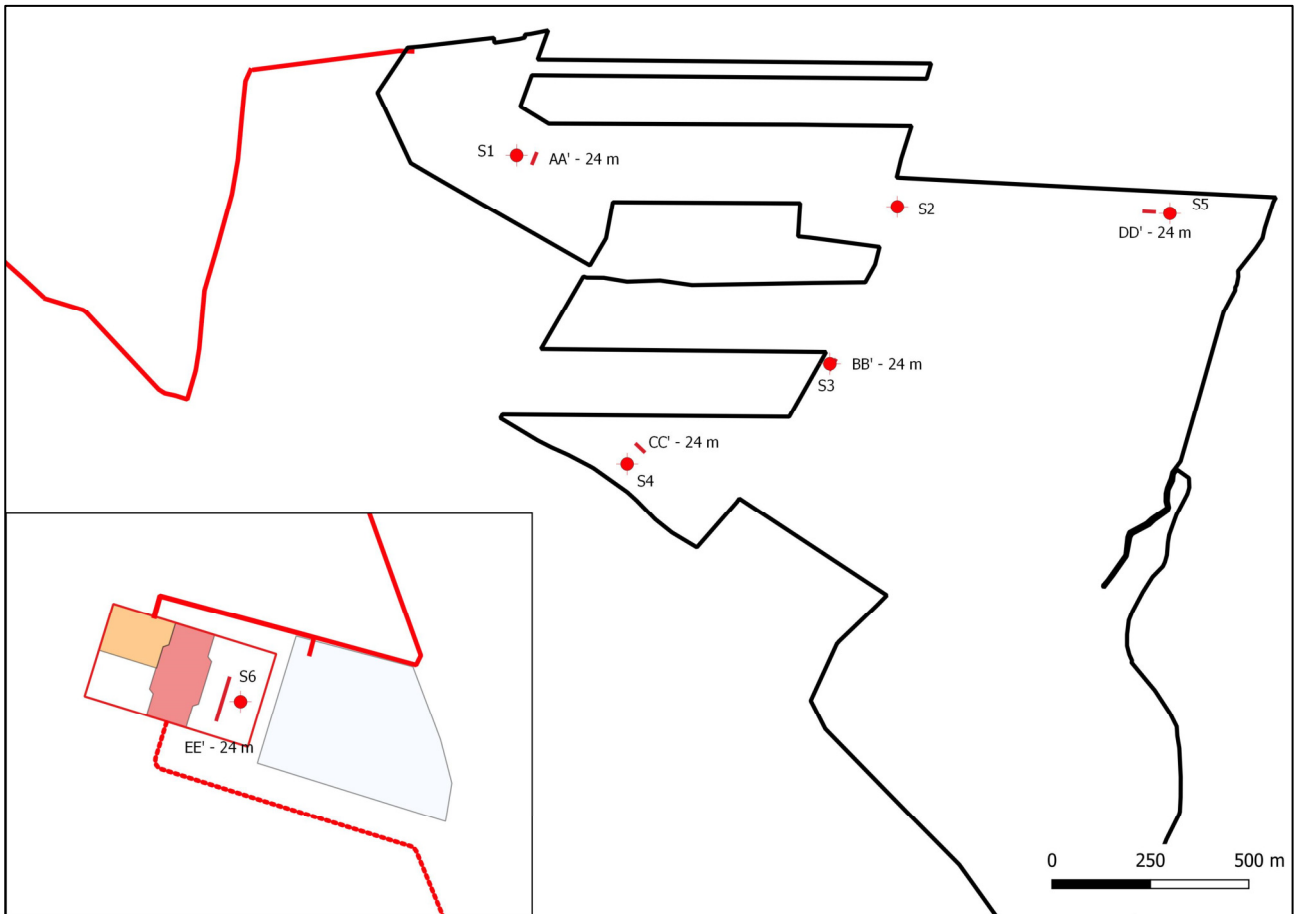


Figura 7 – Ubicazione indagini geognostiche

## 8. Caratterizzazione geofisica del sottosuolo: metodologia di analisi e strumentazione utilizzata

Per la ricostruzione del modello geofisico del sito, come detto in premessa, è stata eseguita un'indagine di sismica superficiale caratterizzata dalla combinazione tra la tecnica di sismica a rifrazione con onde di volume longitudinali (o onde P) e il metodo di analisi spettrale delle onde di superficie (Rayleigh) con tecnica MASW che permette di determinare l'andamento della velocità delle onde sismiche di taglio (o onde S) in funzione della profondità attraverso lo studio della propagazione delle onde superficiali.

### 8.1 Il metodo della sismica a rifrazione

La prospezione sismica è un'indagine indiretta, che si occupa dell'esplorazione del sottosuolo attraverso lo studio della propagazione di onde elastiche generate in superficie. Tali perturbazioni sono generalmente provocate da vibrazioni impresse al terreno con mezzi meccanici o da esplosioni. Le discontinuità ricercate mediante la prospezione sono di natura fisico-elastica e pertanto la ricostruzione della geometria e natura del sottosuolo possono essere legate sia a reali variazioni litologiche sia a variazioni rinvenibili nell'ambito di uno stesso litotipo. Il metodo della sismica a rifrazione si basa sul concetto di bi-rifrazione delle onde elastiche a seguito di un fronte d'onda conico. Data quindi una sorgente di onde elastiche (massa battente, martello a percussione, piccola esplosione) e dato uno stendimento di trasduttori velocimetrici (geofoni) posizionati lungo un determinato allineamento, giungeranno ai geofoni onde dirette, onde riflesse ed onde birifratte (head wave). Le onde birifratte sono quelle analizzate attraverso il metodo della sismica a rifrazione. Tali perturbazioni giungono sulla superficie di separazione tra due mezzi elastici (2 litologie differenti) con un angolo di incidenza critico (legge di Snell), si propagano parallelamente alla superficie di discontinuità (prima rifrazione con angolo di  $90^\circ$ ), e si rifrangono nuovamente verso la superficie con lo stesso angolo di incidenza.

Successivamente alla registrazione dei dati, la prima operazione svolta è consistita nell'individuazione dei primi arrivi sui singoli sismogrammi (picking). Dall'acquisizione dei tempi di primo arrivo, conoscendo le distanze relative alla configurazione geometrica adottata (interspazio geofonico), è stato ottenuto un diagramma tempi-distanze (dromocrona), attraverso il quale, applicando diverse metodologie, è stato possibile determinare le velocità di propagazione delle onde nel mezzo sottostante e i relativi spessori dei sismostrati attraversati dalla radiazione elastica. Per le analisi interpretative, è stato utilizzato il software Rayfract (versione 3.21) che ha permesso di ottenere l'andamento delle velocità delle onde P con la profondità.

### 8.2 Metodo MASW

Il metodo MASW (Multichannel Analysis of SurfaceWaves) è una tecnica di indagine non invasiva, utile a definire l'azione sismica di progetto, che individua il profilo delle velocità delle onde di taglio verticali  $V_s$  nei primi trenta metri di profondità a partire dal piano campagna, sulla base della misura delle onde superficiali in corrispondenza di diversi sensori (geofoni) posti sulla superficie del suolo. Il contributo più importante alle onde superficiali è dato dalle onde di Rayleigh, le uniche onde utilizzate nell'indagine MASW, che viaggiano con una velocità correlata alla rigidità della porzione di terreno interessata dalla propagazione delle onde. L'impiego di tali onde è giustificato dalle proprietà che possiedono, infatti, trasportano circa i due terzi dell'energia generata dalla sorgente (scoppio) e allontanandosi da essa (scoppio) subiscono un'attenuazione geometrica inferiore rispetto a quella che eventualmente avrebbero le onde P ed SV, propagandosi, conseguentemente, a profondità più grandi.

Il metodo MASW può essere suddiviso in quattro fasi fondamentali (Roma, 2002):

- calcolo della curva di dispersione sperimentale;

- calcolo della curva di dispersione apparente numerica;
- calcolo della curva di dispersione effettiva numerica;
- individuazione del profilo di velocità delle onde di taglio verticali Vs.

Il calcolo della curva di dispersione sperimentale, si ottiene dalle misure effettuate in situ. Essa si estrae dallo spettro del dominio frequenza – numero d'onda applicando una doppia trasformata di Fourier al campo del moto nel dominio spazio-tempo.

Il calcolo delle curve di dispersione numeriche, apparente ed effettiva invece, si ricava applicando un'unica trasformata di Fourier alla funzione di Green. Per il calcolo della prima è stato utilizzato il metodo Roma (2001), mentre per il calcolo della seconda (curva di dispersione effettiva numerica) è stato utilizzato il metodo Lai-Rix (1998).

L'individuazione del profilo Vs, infine, è stato desunto individuando la differenza (errore massimo) tra la curva di dispersione sperimentale e la curva di dispersione numerica corrispondente al modello di suolo assegnato. Minore appare tale imprecisione, maggiore risulta la probabilità che il profilo delle onde di taglio individuato sia quello giusto.

Per quanto riguarda, infine, la strumentazione necessaria all'esecuzione di tale indagine MASW, ci si è avvalsi delle seguenti componenti tecniche: registratore multicanale; geofoni o accelerometri da 4.5 Hz (almeno 12 canali); cavi per stendimenti sismici; sorgente energizzante composta da piastra metallica (per battuta) ed una massa battente di 5 - 10 Kg; bindella metrica per la disposizione geometricamente corretta dei geofoni con interasse compreso tra 0.5 e 5 metri.

### 8.3 Strumentazione utilizzata

La strumentazione utilizzata per la registrazione dei segnali è del tipo a 24 canali, modello DBS280b (anno 2020) della DOLANG interfacciato con un computer portatile.

L'attrezzatura è composta da:

- **un sistema di energizzazione:** la sorgente è costituita da una mazza del peso di 10 Kg battente verticalmente su piastra rettangolare in acciaio posta direttamente sul p.c. per la generazione prevalentemente di onde P e secondariamente di onde SV;
- **un sistema di trigger:** consiste in un circuito elettrico che viene chiuso nell'istante in cui il grave colpisce la base di battuta; in questo modo è possibile individuare e visualizzare l'esatto istante in cui la sorgente viene attivata e fissare l'inizio della registrazione.
- **un sistema di ricezione:** costituito da 24 geofoni verticali del tipo elettromagnetico a bobina mobile a massa sospesa, con frequenza di acquisizione 4,5 Hz.
- **un sistema di acquisizione dati:** con memoria dinamica a 16 bit composto da 12 dataloggers a 2 canali per un totale di 24 canali, 2 cavi sismici a 12 take-outs ciascuno spaziato a 5 metri, notebook PC Windows XP con software DBS280b Versione 5.1 della DOLANG

## 9. Analisi di sismica a rifrazione

### 9.1 Stendimento sismico AA': interpretazione dei dati

Il profilo di sismica a rifrazione AA' ha una lunghezza di 24 metri lineari con interspazio geofonico di 1.0 m e direttrice orientata NE/SW.

La configurazione adottata è a 7 shots così distribuiti: 2 end – shots, posti a 0.5 metri dai geofoni esterni (S1 e S7); 4 intermedi, posti rispettivamente tra il 4° e 5° (S2), tra 8° e 9° (S3), tra 16° e 17° (S5), tra 20° e 21° (S6); 1 centrale tra il 12° e il 13° geofono (S4) (Fig.8).

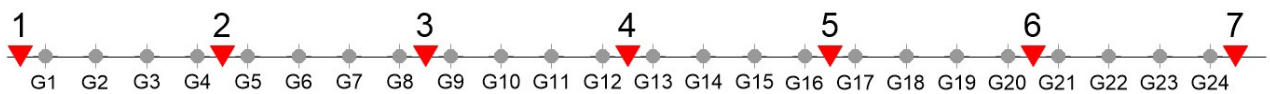


Fig.8 - Configurazione geometrica degli stendimenti sismici a rifrazione

L'analisi interpretativa ha permesso di ricostruire l'andamento delle velocità delle onde P con la profondità, così come mostrato nelle Figure 9 e 10 (sezione sismostratigrafica).

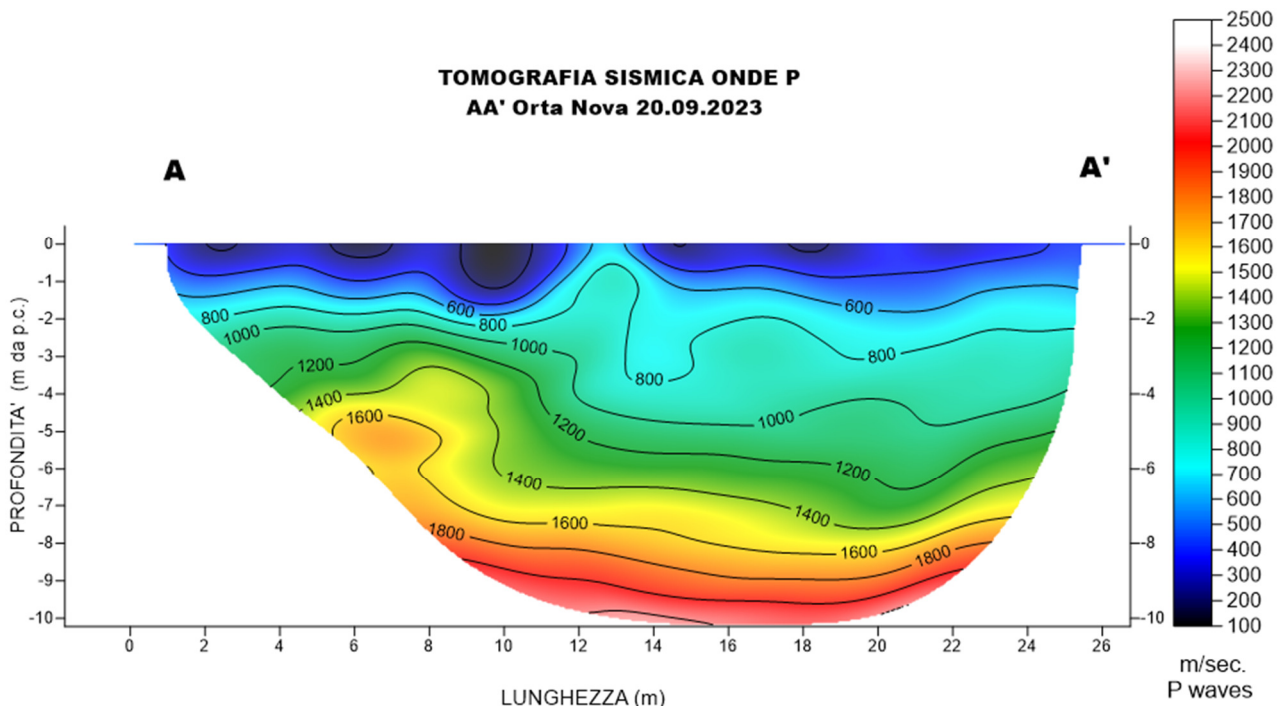


Fig. 9 – Sezione tomografica del profilo AA'

Dal risultato dell'analisi sismica eseguita è possibile rilevare la presenza di **3 sismostrati** con differenti valori di velocità delle onde sismiche longitudinali P.

Il primo sismostrato (Sismostrato A), è caratterizzato da valori di velocità delle onde P compresi tra 250 e 500 m/s. La profondità risulta costante e si spinge fino a circa 1.0/1.5 metro dal piano campagna. Il sismostrato B invece, è caratterizzato da velocità delle onde P comprese tra 500 e 1400 m/s, che crescono in modo uniforme e continuo fino a

raggiungere una profondità di circa 7.00 metri dal piano campagna. Il sismostrato C, è caratterizzato da valori di velocità delle onde P comprese tra 1400 e 2500 m/s, che aumentano gradualmente con la profondità fino a raggiungere la profondità investigata di circa 10 m da p.c.

Assimilando i valori delle velocità di propagazione delle onde P alle litologie presenti nell'area come da indagini pregresse, in prima analisi si può affermare che il sismostrato superficiale è riferibile a depositi sabbioso e siltosi poco o debolmente coesi molto alterati (sismostrato A), il secondo sismostrato a depositi conglomeratici immersi in matrice sabbioso-argillosa (sismostrato B) e il sismostrato C, è riferibile all'unità argilloso-sabbiosa.

In corrispondenza dei Sismostrati A, B e C, l'andamento ondulato delle velocità sismiche permette di ipotizzare la presenza di variazioni granulometriche e di coesione che implicano la presenza di anisotropie laterali di facies litologiche.

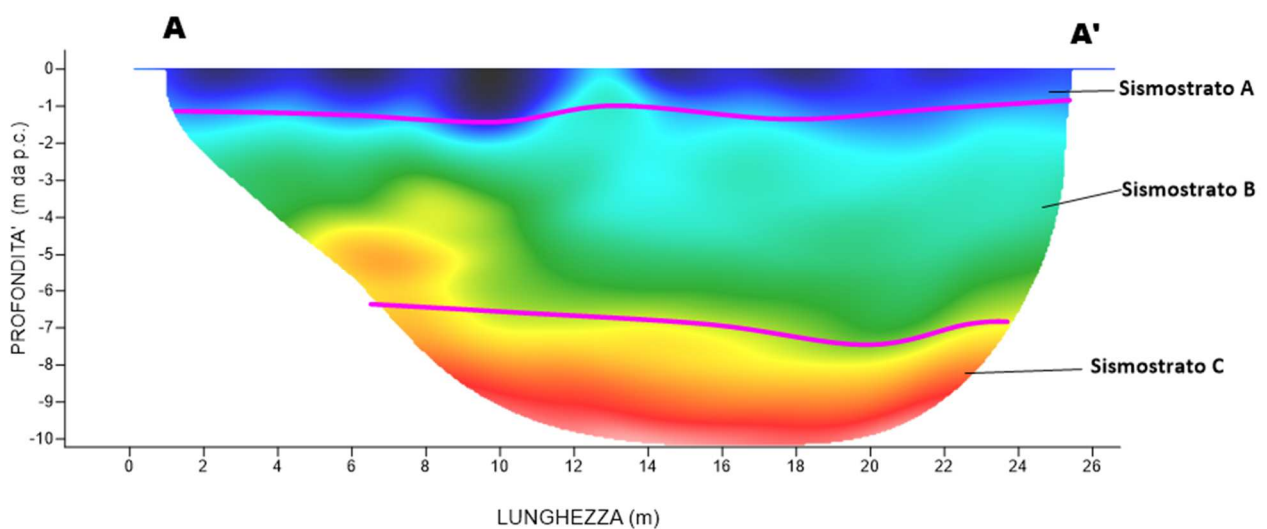


Fig. 10 – Interpretazione sezione tomografica del profilo AA'

## 9.2 Stendimento sismico BB': interpretazione dei dati

Il profilo di sismica a rifrazione BB' ha una lunghezza di 24 metri lineari con interspazio geofonico di 1.0 m e direttrice orientata NE/SW.

La configurazione adottata è a 7 shots così distribuiti: 2 end – shots, posti a 0.5 metri dai geofoni esterni (S1 e S7); 4 intermedi, posti rispettivamente tra il 4° e 5° (S2), tra 8° e 9° (S3), tra 16° e 17° (S5), tra 20° e 21° (S6); 1 centrale tra il 12° e il 13° geofono (S4) (Fig.11).

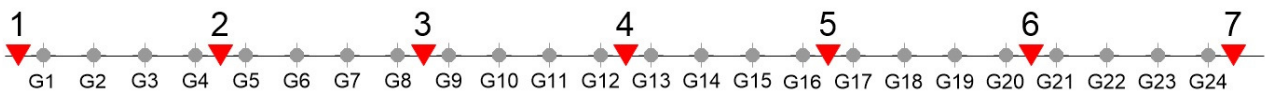


Fig.11 - Configurazione geometrica degli stendimenti sismici a rifrazione

L'analisi interpretativa ha permesso di ricostruire l'andamento delle velocità delle onde P con la profondità, così come mostrato nelle Figure 12 e 13 (sezione sismostratigrafica).

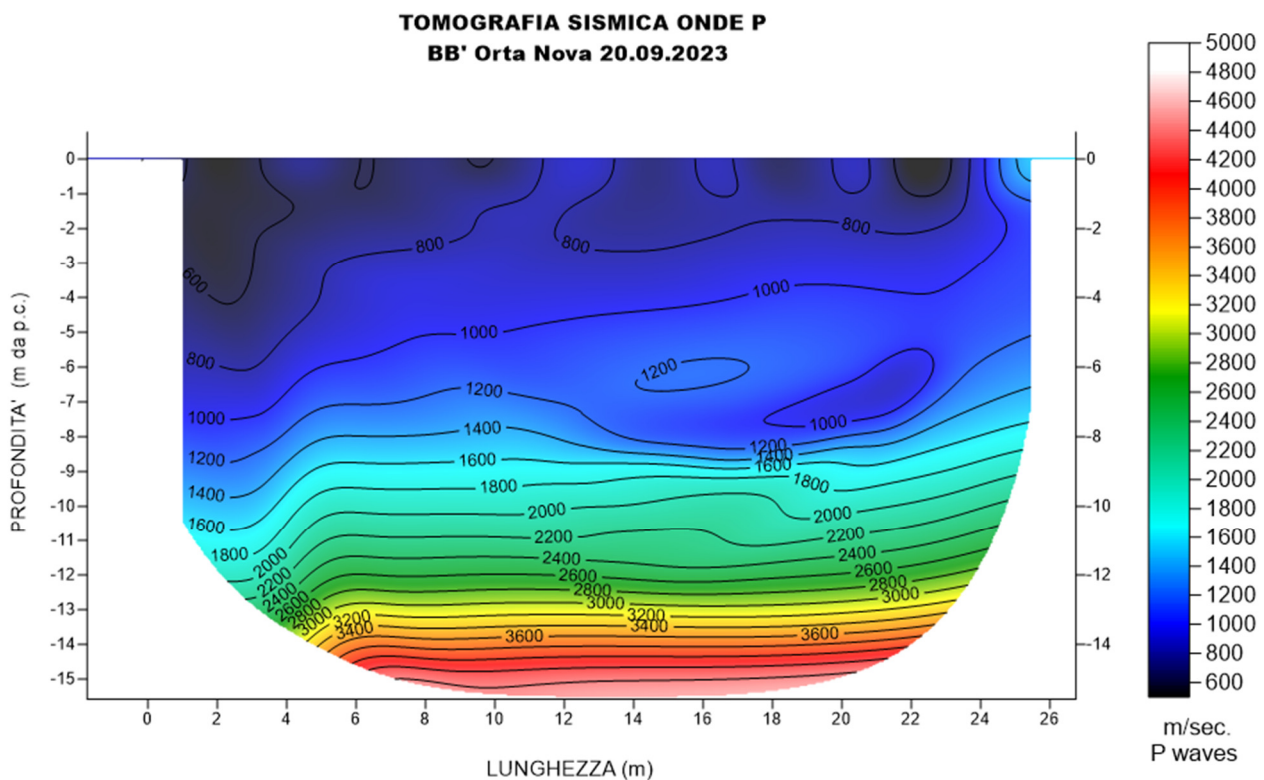


Fig. 12 – Sezione tomografica del profilo BB'

Dal risultato dell'analisi sismica eseguita è possibile rilevare la presenza di **3 sismostrati** con differenti valori di velocità delle onde sismiche longitudinali P.

Il primo sismostrato (Sismostrato A), è caratterizzato da valori di velocità delle onde P compresi tra 250 e 500 m/s. La profondità risulta costante e si spinge fino a circa 1.0/2.0 metri dal piano campagna. Il sismostrato B invece, è

caratterizzato da velocità delle onde P comprese tra 500 e 1400 m/s, che crescono in modo uniforme e continuo fino a raggiungere una profondità di circa 8/10 metri dal piano campagna. Il sismostrato C, è caratterizzato da valori di velocità delle onde P comprese tra 1400 e 3500 m/s, che aumentano gradualmente con la profondità fino a raggiungere la profondità investigata di circa 16 m da p.c.

Assimilando i valori delle velocità di propagazione delle onde P alle litologie presenti nell'area come da indagini pregresse, in prima analisi si può affermare che il sismostrato superficiale è riferibile a depositi sabbioso e siltosi poco o debolmente coesi molto alterati (sismostrato A), il secondo sismostrato a depositi conglomeratici immersi in matrice sabbioso-argillosa (sismostrato B) e il sismostrato C, è riferibile all'unità argilloso-sabbiosa.

In corrispondenza dei Sismostrati A, B e C, l'andamento ondulato delle velocità sismiche permette di ipotizzare la presenza di variazioni granulometriche e di coesione che implicano la presenza di anisotropie laterali di facies litologiche.

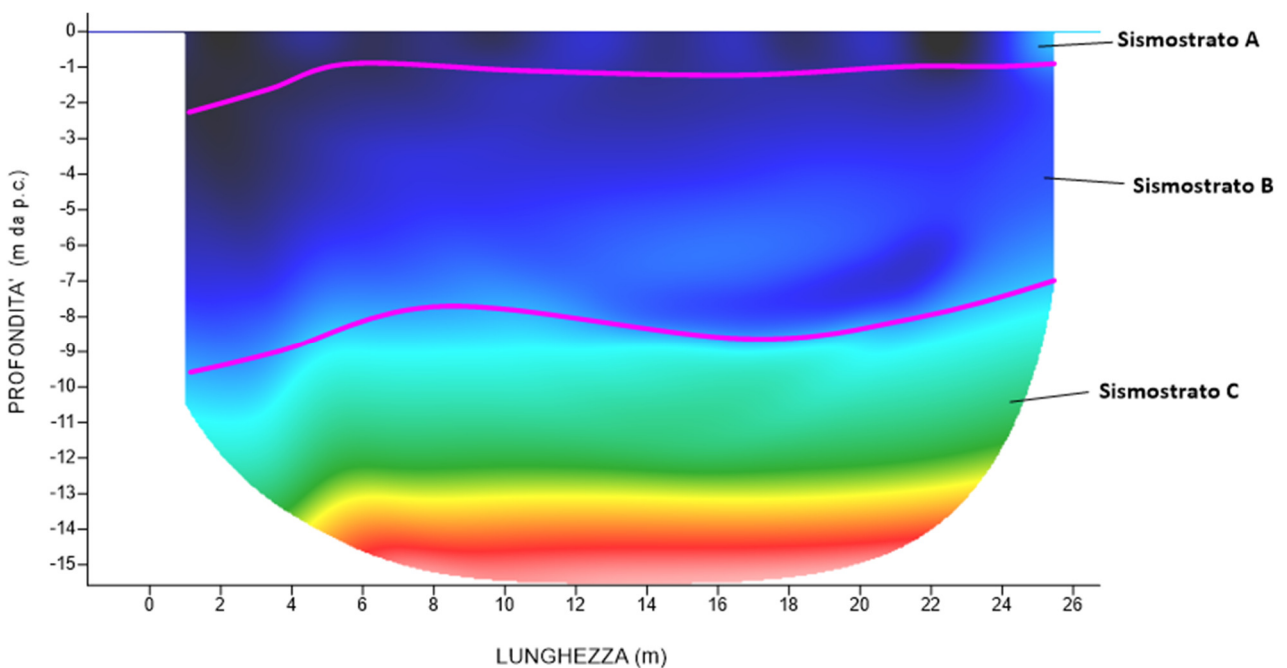


Fig. 13 – Interpretazione sezione tomografica del profilo BB'

### 9.3 Stendimento sismico CC': interpretazione dei dati

Il profilo di sismica a rifrazione CC' ha una lunghezza di 24 metri lineari con interspazio geofonico di 1.0 m e direttrice orientata NW/SE.

La configurazione adottata è a 7 shots così distribuiti: 2 end – shots, posti a 0.5 metri dai geofoni esterni (S1 e S7); 4 intermedi, posti rispettivamente tra il 4° e 5° (S2), tra 8° e 9° (S3), tra 16° e 17° (S5), tra 20° e 21° (S6); 1 centrale tra il 12° e il 13° geofono (S4) (Fig.14).

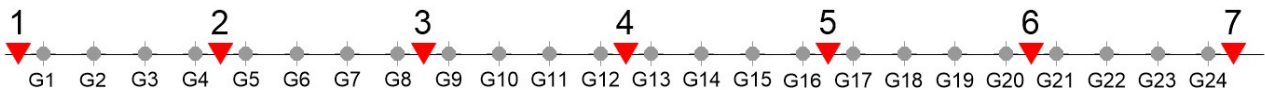


Fig.14 - Configurazione geometrica degli stendimenti sismici a rifrazione

L'analisi interpretativa ha permesso di ricostruire l'andamento delle velocità delle onde P con la profondità, così come mostrato nelle Figure 15 e 16 (sezione sismostratigrafica).

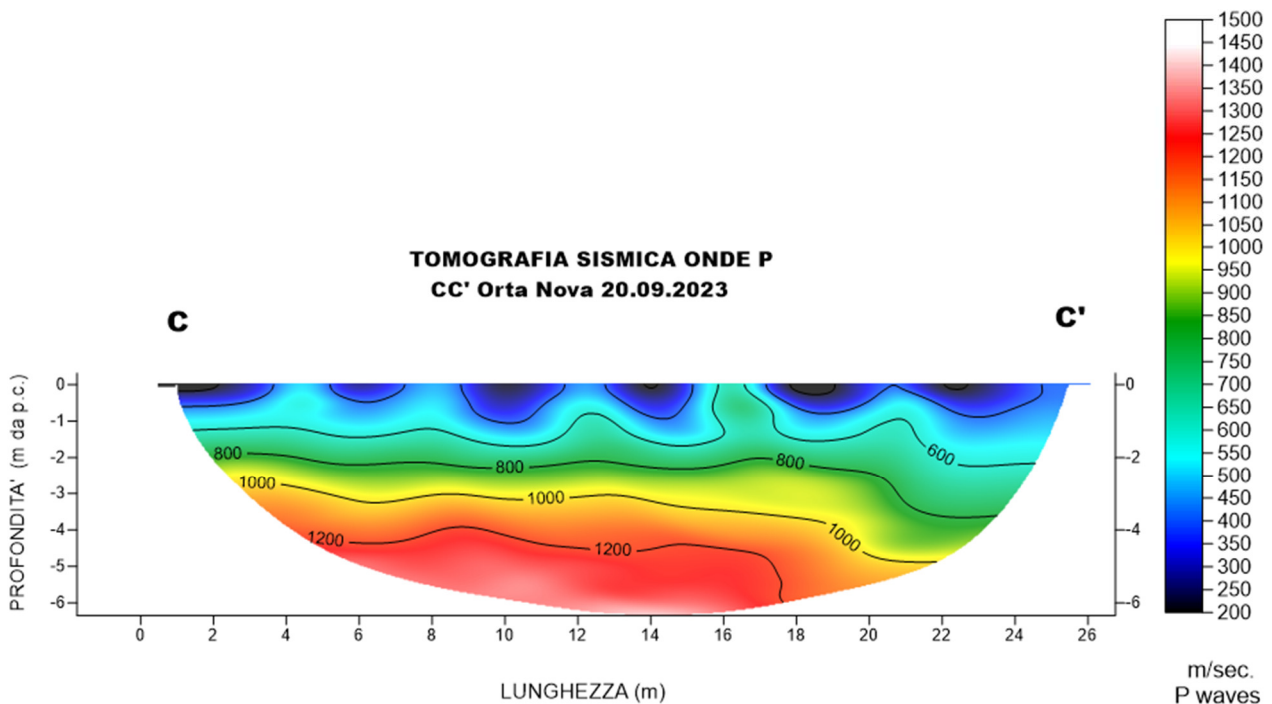


Fig. 15 – Sezione tomografica del profilo CC'

Dal risultato dell'analisi sismica eseguita è possibile rilevare la presenza di **3 sismostrati** con differenti valori di velocità delle onde sismiche longitudinali P.

Il primo sismostrato (Sismostrato A), è caratterizzato da valori di velocità delle onde P compresi tra 250 e 500 m/s. La profondità risulta costante e si spinge fino a circa 1.0 metro dal piano campagna. Il sismostrato B invece, è caratterizzato da velocità delle onde P comprese tra 500 e 1400 m/s, che crescono in modo uniforme e continuo fino a raggiungere una profondità di circa 5.00 metri dal piano campagna. Il sismostrato C, è caratterizzato da valori di velocità delle onde P

comprese tra 1400 e 2500 m/s, che aumentano gradualmente con la profondità fino a raggiungere la profondità investigata di circa 7 m da p.c.

Assimilando i valori delle velocità di propagazione delle onde P alle litologie presenti nell'area come da indagini pregresse, in prima analisi si può affermare che il sismostrato superficiale è riferibile a depositi sabbioso e siltosi poco o debolmente coesi molto alterati (sismostrato A), il secondo sismostrato a depositi conglomeratici immersi in matrice sabbioso-argillosa (sismostrato B) e il sismostrato C, è riferibile all'unità argilloso-sabbiosa.

In corrispondenza dei Sismostrati A, B e C, l'andamento ondulato delle velocità sismiche permette di ipotizzare la presenza di variazioni granulometriche e di coesione che implicano la presenza di anisotropie laterali di facies litologiche.

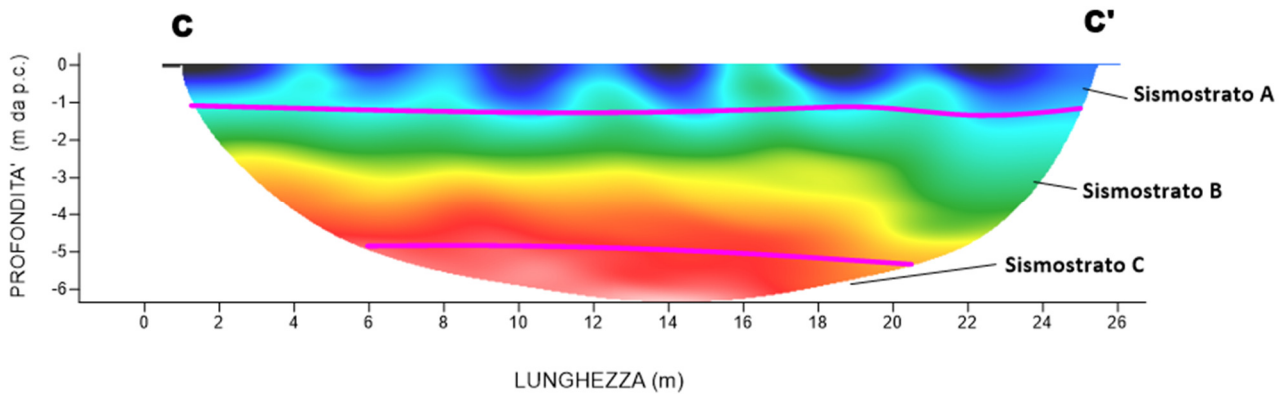


Fig. 16 – Interpretazione sezione tomografica del profilo CC'

#### 9.4 Stendimento sismico DD': interpretazione dei dati

Il profilo di sismica a rifrazione DD' ha una lunghezza di 24 metri lineari con interspazio geofonico di 1.0 m e direttrice orientata NW/SE.

La configurazione adottata è a 7 shots così distribuiti: 2 end – shots, posti a 0.5 metri dai geofoni esterni (S1 e S7); 4 intermedi, posti rispettivamente tra il 4° e 5° (S2), tra 8° e 9° (S3), tra 16° e 17° (S5), tra 20° e 21° (S6); 1 centrale tra il 12° e il 13° geofono (S4) (Fig.17).

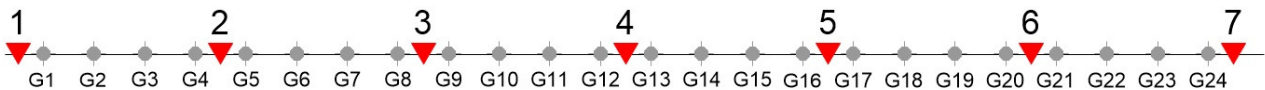


Fig.17 - Configurazione geometrica degli stendimenti sismici a rifrazione

L'analisi interpretativa ha permesso di ricostruire l'andamento delle velocità delle onde P con la profondità, così come mostrato nelle Figure 18 e 19 (sezione sismostratigrafica).

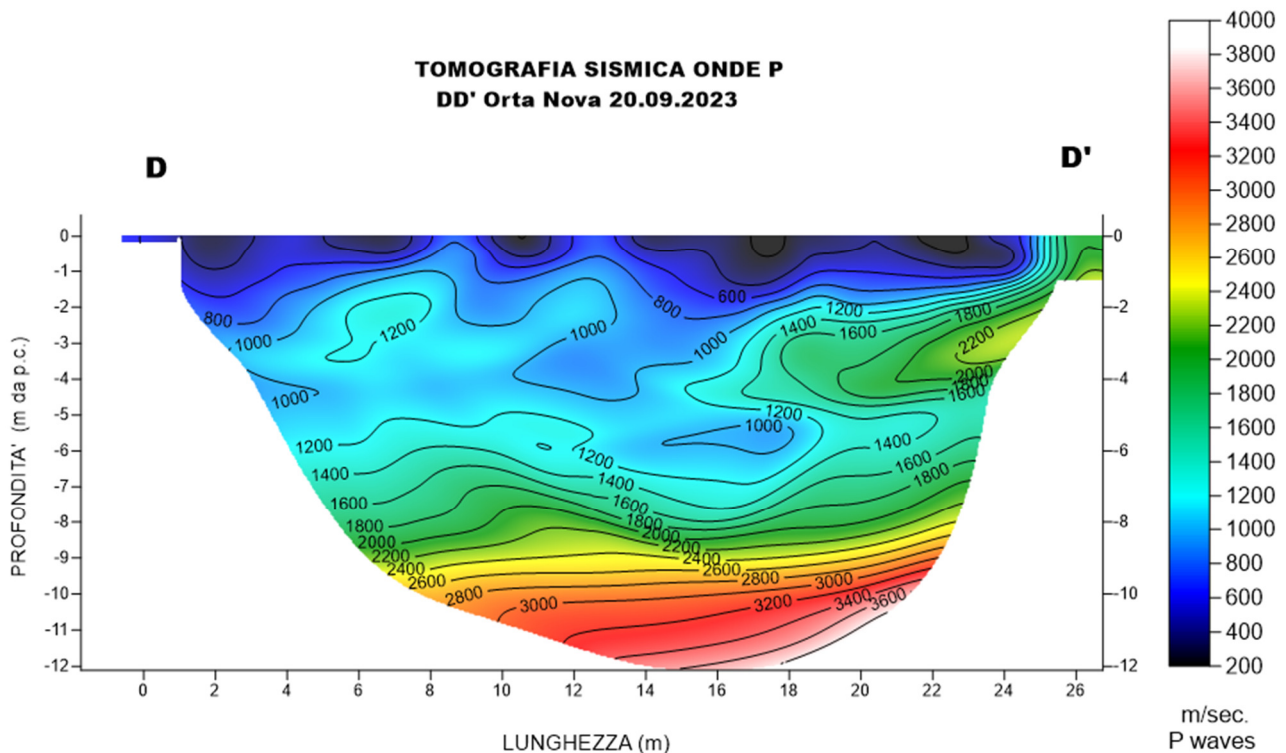


Fig. 18 – Sezione tomografica del profilo DD'

Dal risultato dell'analisi sismica eseguita è possibile rilevare la presenza di **3 sismostrati** con differenti valori di velocità delle onde sismiche longitudinali P.

Il primo sismostrato (Sismostrato A), è caratterizzato da valori di velocità delle onde P compresi tra 250 e 500 m/s. La profondità risulta costante e si spinge fino a circa 1.0/1.5 metro dal piano campagna. Il sismostrato B invece, è caratterizzato da velocità delle onde P comprese tra 500 e 1400 m/s, che crescono in modo uniforme e continuo fino a

raggiungere una profondità di circa 6/7 metri dal piano campagna. Il sismostrato C, è caratterizzato da valori di velocità delle onde P comprese tra 1400 e 3500 m/s, che aumentano gradualmente con la profondità fino a raggiungere la profondità investigata di circa 12 m da p.c.

Assimilando i valori delle velocità di propagazione delle onde P alle litologie presenti nell'area come da indagini pregresse, in prima analisi si può affermare che il sismostrato superficiale è riferibile a depositi sabbioso e siltosi poco o debolmente coesi molto alterati (sismostrato A), il secondo sismostrato a depositi conglomeratici immersi in matrice sabbioso-argillosa (sismostrato B) e il sismostrato C, è riferibile all'unità argilloso-sabbiosa.

In corrispondenza dei Sismostrati A, B e C, l'andamento ondulato delle velocità sismiche permette di ipotizzare la presenza di variazioni granulometriche e di coesione che implicano la presenza di anisotropie laterali di facies litologiche.

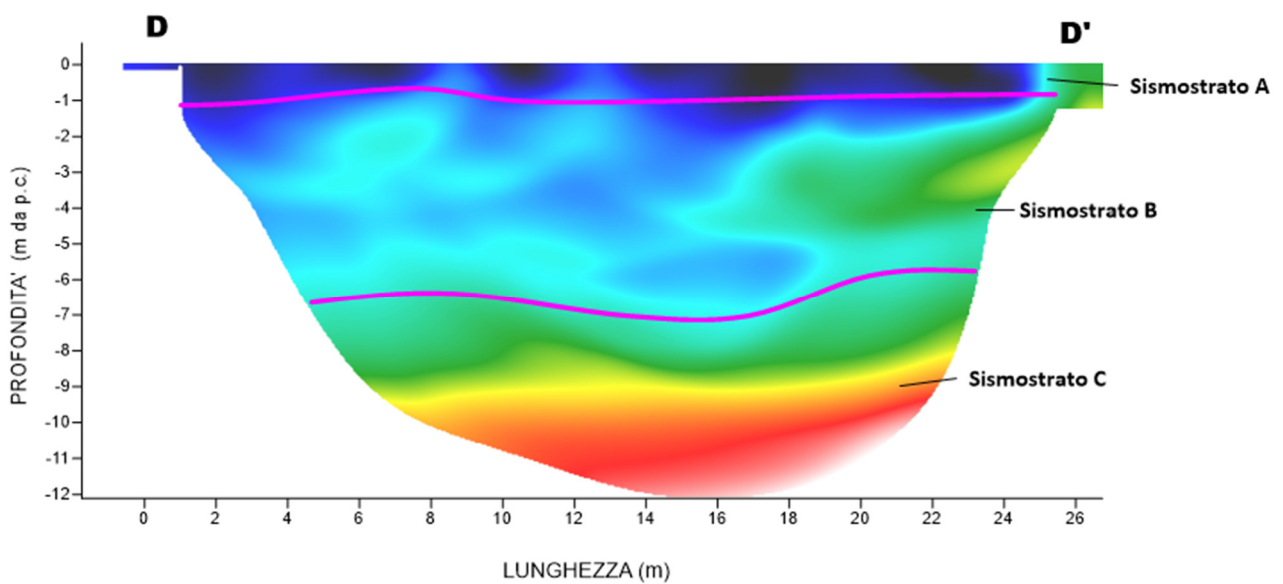


Fig. 19 – Interpretazione sezione tomografica del profilo DD'

## 9.5 Stendimento sismico EE': interpretazione dei dati

Il profilo di sismica a rifrazione EE' ha una lunghezza di 24 metri lineari con interspazio geofonico di 1.0 m e direttrice orientata NW/SE.

La configurazione adottata è a 7 shots così distribuiti: 2 end – shots, posti a 0.5 metri dai geofoni esterni (S1 e S7); 4 intermedi, posti rispettivamente tra il 4° e 5° (S2), tra 8° e 9° (S3), tra 16° e 17° (S5), tra 20° e 21° (S6); 1 centrale tra il 12° e il 13° geofono (S4) (Fig.20).

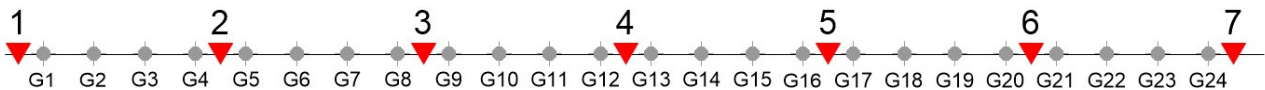


Fig.20 - Configurazione geometrica degli stendimenti sismici a rifrazione

L'analisi interpretativa ha permesso di ricostruire l'andamento delle velocità delle onde P con la profondità, così come mostrato nelle Figure 21 e 22 (sezione sismostratigrafica).

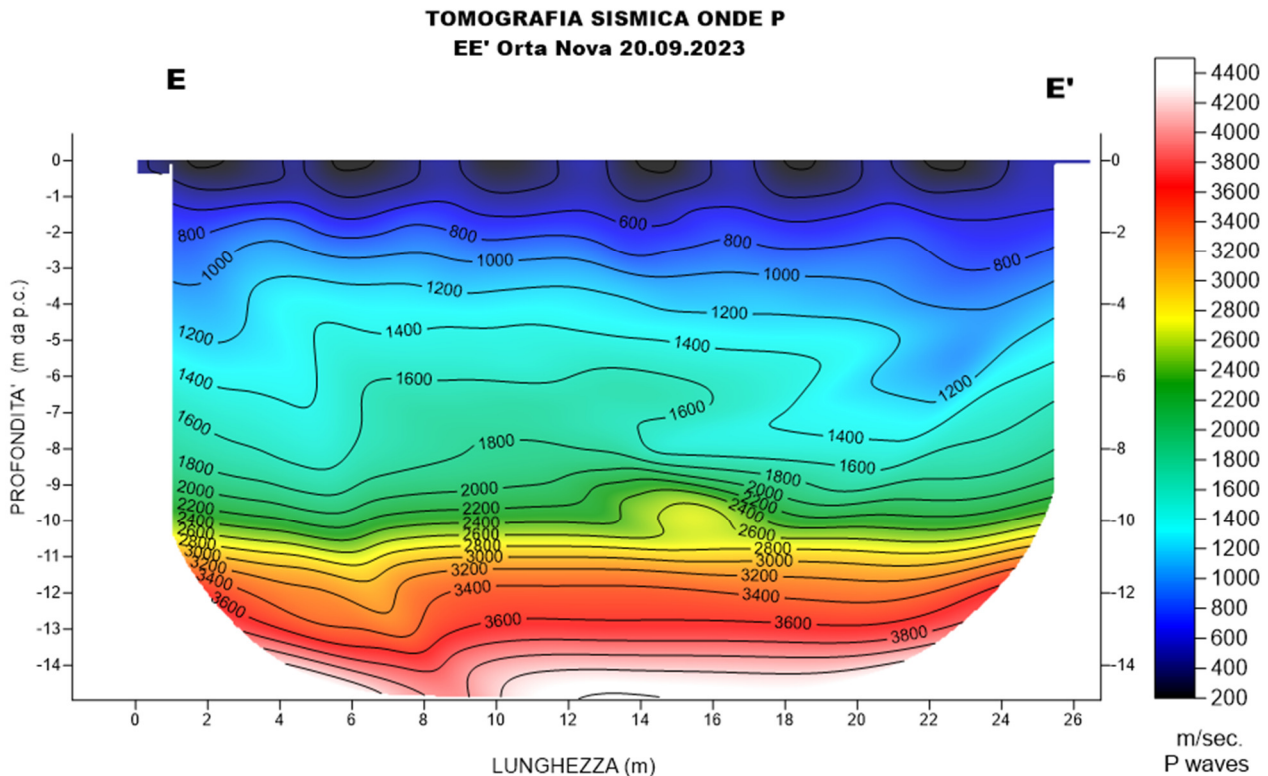


Fig. 21 – Sezione tomografica del profilo EE'

Dal risultato dell'analisi sismica eseguita è possibile rilevare la presenza di **3 sismostrati** con differenti valori di velocità delle onde sismiche longitudinali P.

Il primo sismostrato (Sismostrato A), è caratterizzato da valori di velocità delle onde P compresi tra 250 e 500 m/s. La profondità risulta costante e si spinge fino a circa 1.0 metro dal piano campagna. Il sismostrato B invece, è caratterizzato da velocità delle onde P comprese tra 500 e 1400 m/s, che crescono in modo uniforme e continuo fino a raggiungere una

profondità di circa 6/7 metri dal piano campagna. Il sismostrato C, è caratterizzato da valori di velocità delle onde P comprese tra 1400 e 3500 m/s, che aumentano gradualmente con la profondità fino a raggiungere la profondità investigata di circa 15 m da p.c.

Assimilando i valori delle velocità di propagazione delle onde P alle litologie presenti nell'area come da indagini pregresse, in prima analisi si può affermare che il sismostrato superficiale è riferibile a depositi sabbioso e siltosi poco o debolmente coesi molto alterati (sismostrato A), il secondo sismostrato a depositi conglomeratici immersi in matrice sabbioso-argillosa (sismostrato B) e il sismostrato C, è riferibile all'unità argilloso-sabbiosa.

In corrispondenza dei Sismostrati A, B e C, l'andamento ondulato delle velocità sismiche permette di ipotizzare la presenza di variazioni granulometriche e di coesione che implicano la presenza di anisotropie laterali di facies litologiche.

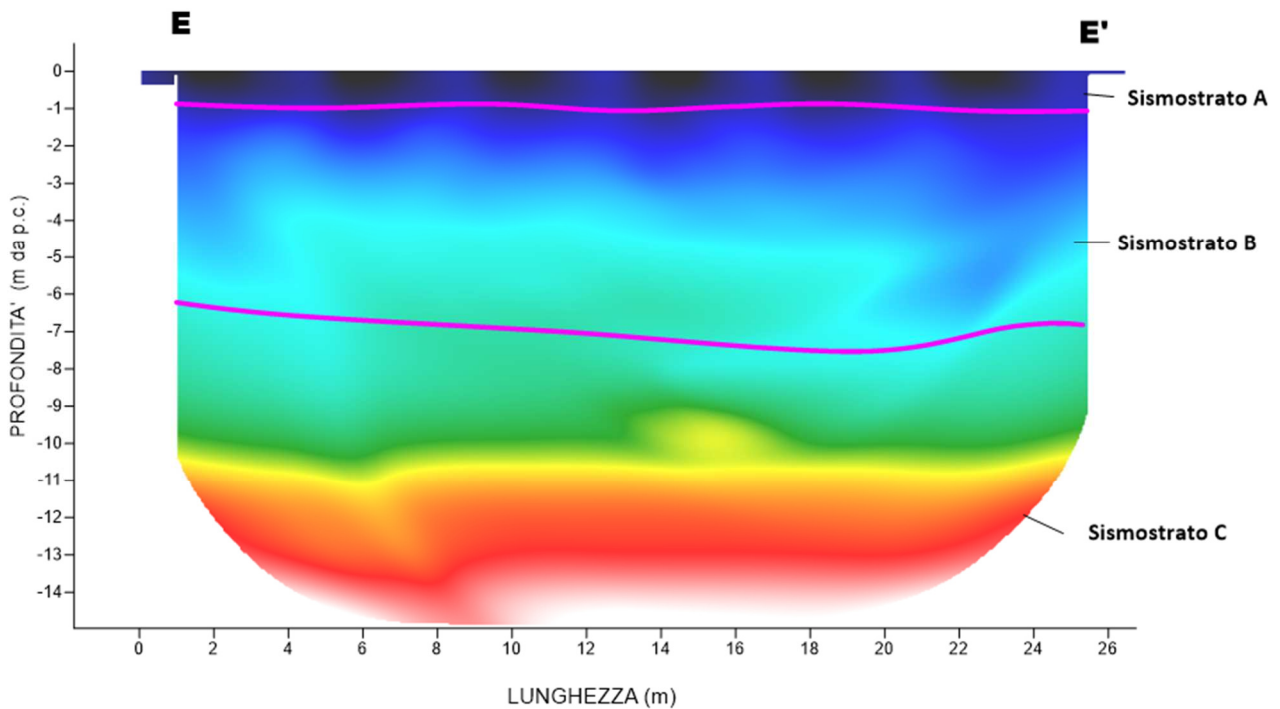


Fig. 22 – Interpretazione sezione tomografica del profilo EE'

## 10. Analisi MASW

L'indagine geofisica è stata completata con l'esecuzione di n.5 indagini MASW per la determinazione della categoria di suolo di fondazione e la stima del fattore di amplificazione sismica dell'area, sulla stessa traccia dei profili AÀ, BB', CC', DD' e EE'.

### 10.1 Stendimento sismico AÀ: interpretazione dei dati

Per il profilo in questione sono stati eseguiti 2 scoppi effettuati a 1.0 m di distanza dal primo geofono. Il treno di onde generato da ciascun colpo di massa battente è stato campionato con intervallo temporale di 1.22 secondi. Per la qualità del segnale si è scelto lo scoppio n.1 (Fig.23).

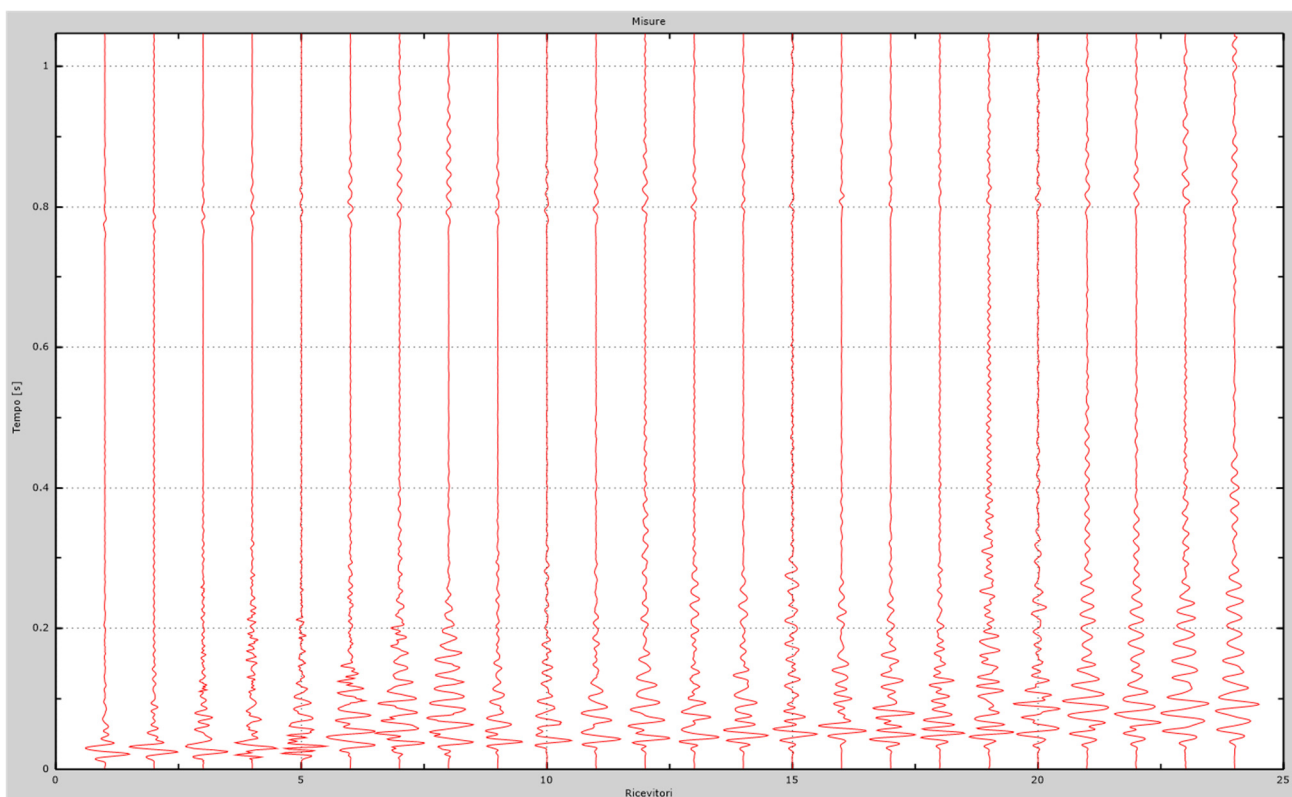


Fig.23 – Sismogrammi dello scoppio considerato per l'analisi MASW del profilo AÀ

L'individuazione del profilo  $V_s$  in funzione della profondità è stato desunto individuando la differenza (errore massimo) tra la curva di dispersione sperimentale (Fig.24) e la curva di dispersione numerica corrispondente al modello di suolo assegnato (Fig.25). Minore appare tale imprecisione, maggiore risulta la probabilità che il profilo delle onde di taglio individuato sia quello giusto.

L'analisi dello spettro "velocità di fase -frequenza" ha consentito di ricostruire un modello sismico monodimensionale del sottosuolo, il quale risulta costituito dall'andamento della velocità delle onde di taglio  $V_s$  in funzione della profondità (Fig.26). Si precisa infine che, come esposto sinteticamente nel paragrafo inerente la metodologia M.A.S.W., il modello del sottosuolo e di conseguenza anche l'inversione di velocità rilevata, sono stati ottenuti in corrispondenza del punto medio del profilo di acquisizione.

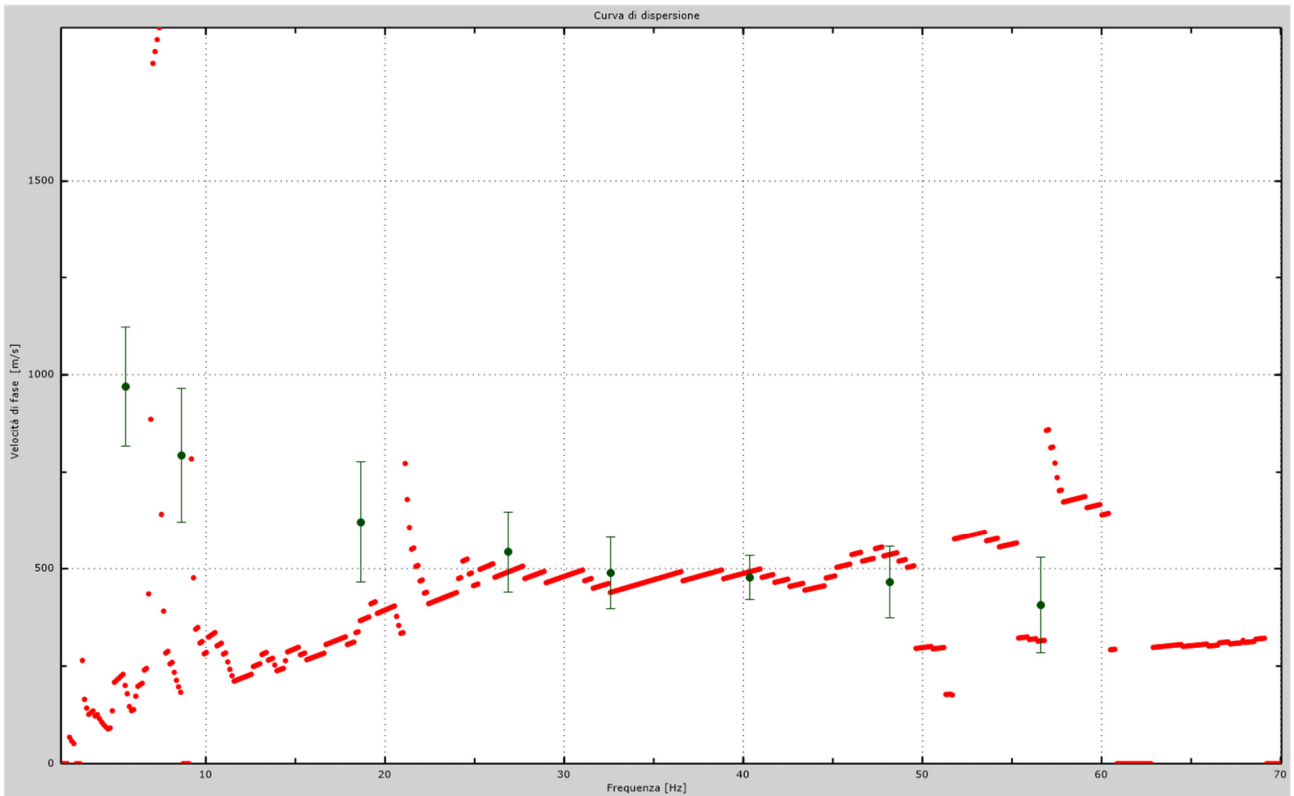


Fig.24 - Curva di dispersione sperimentale.

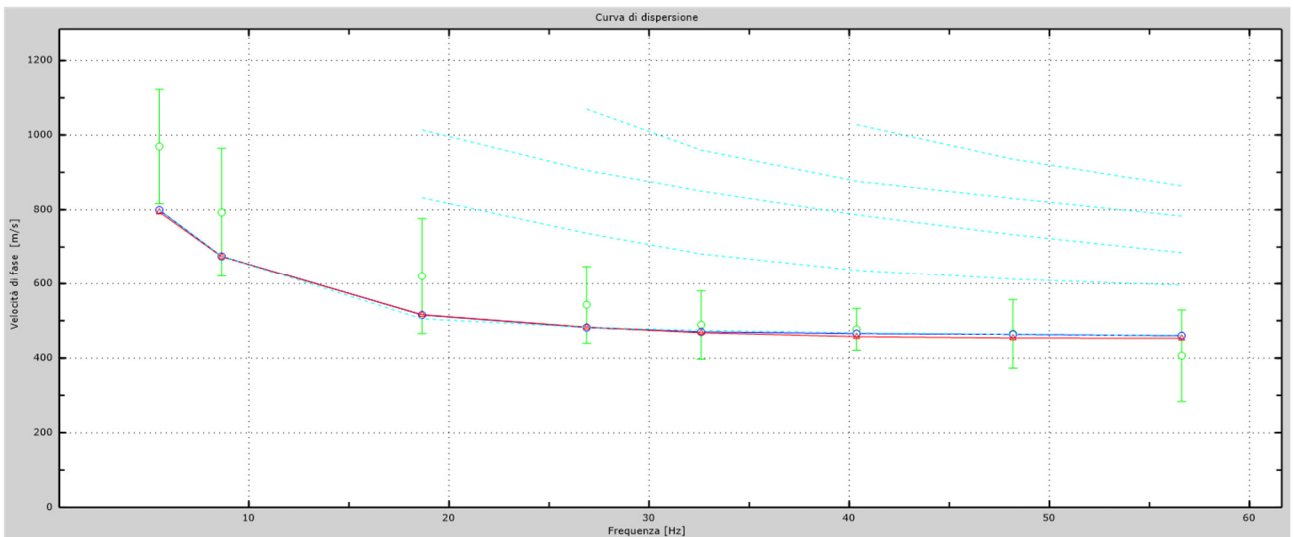


Fig.25 - Velocità numeriche – punti sperimentali (verde), modi di Rayleigh (ciano), curva apparente (blu), curva numerica (rosso).  
 La percentuale di differenza è: 14%.

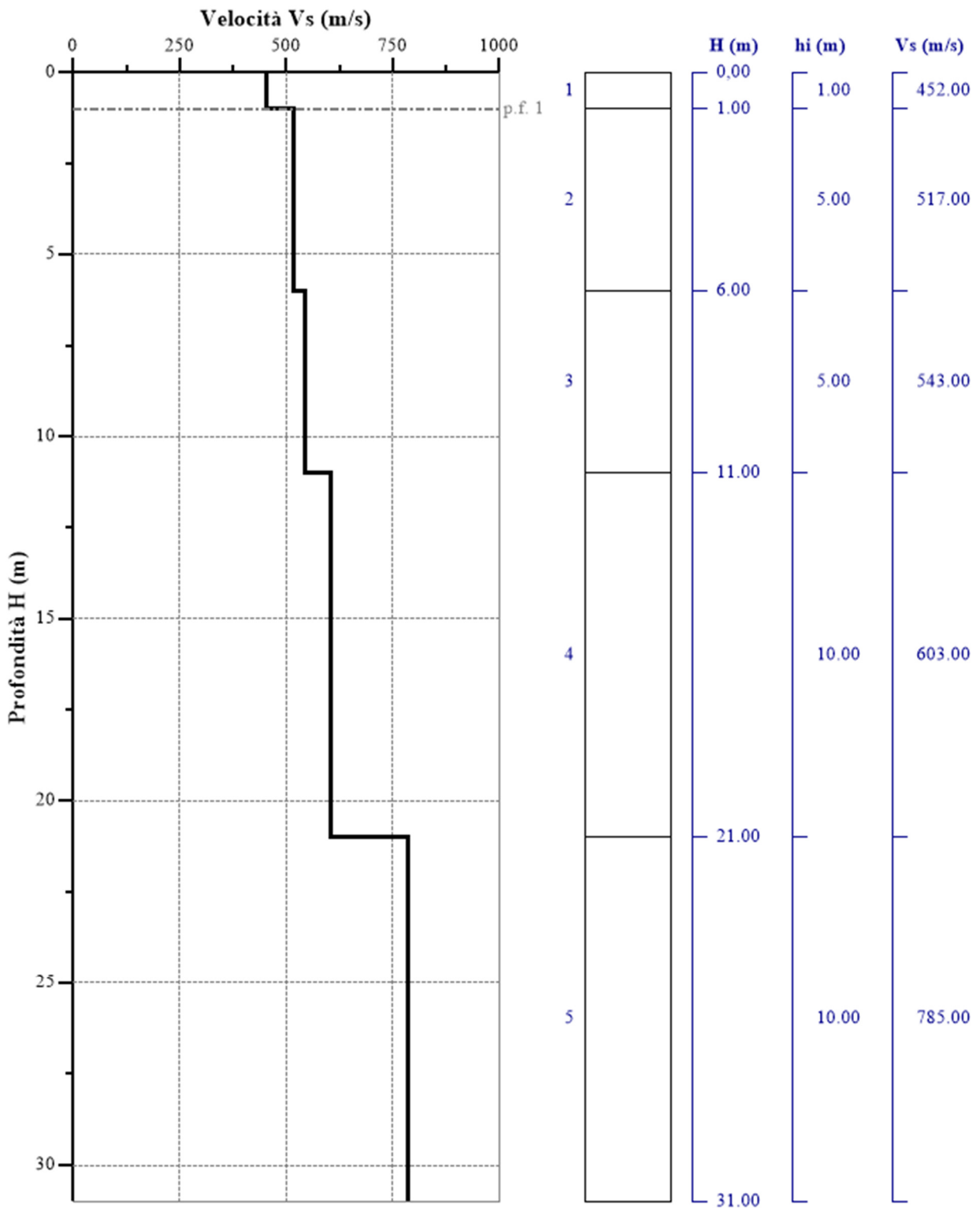


Fig.26 - Profilo verticale delle velocità delle Onde registrate

## 10.2 Stendimento sismico BB': interpretazione dei dati

Per il profilo in questione sono stati eseguiti 2 scoppi effettuati a 1.0 m di distanza dal primo geofono. Il treno di onde generato da ciascun colpo di massa battente è stato campionato con intervallo temporale di 1.22 secondi. Per la qualità del segnale si è scelto lo scoppio n.2 (Fig.27).

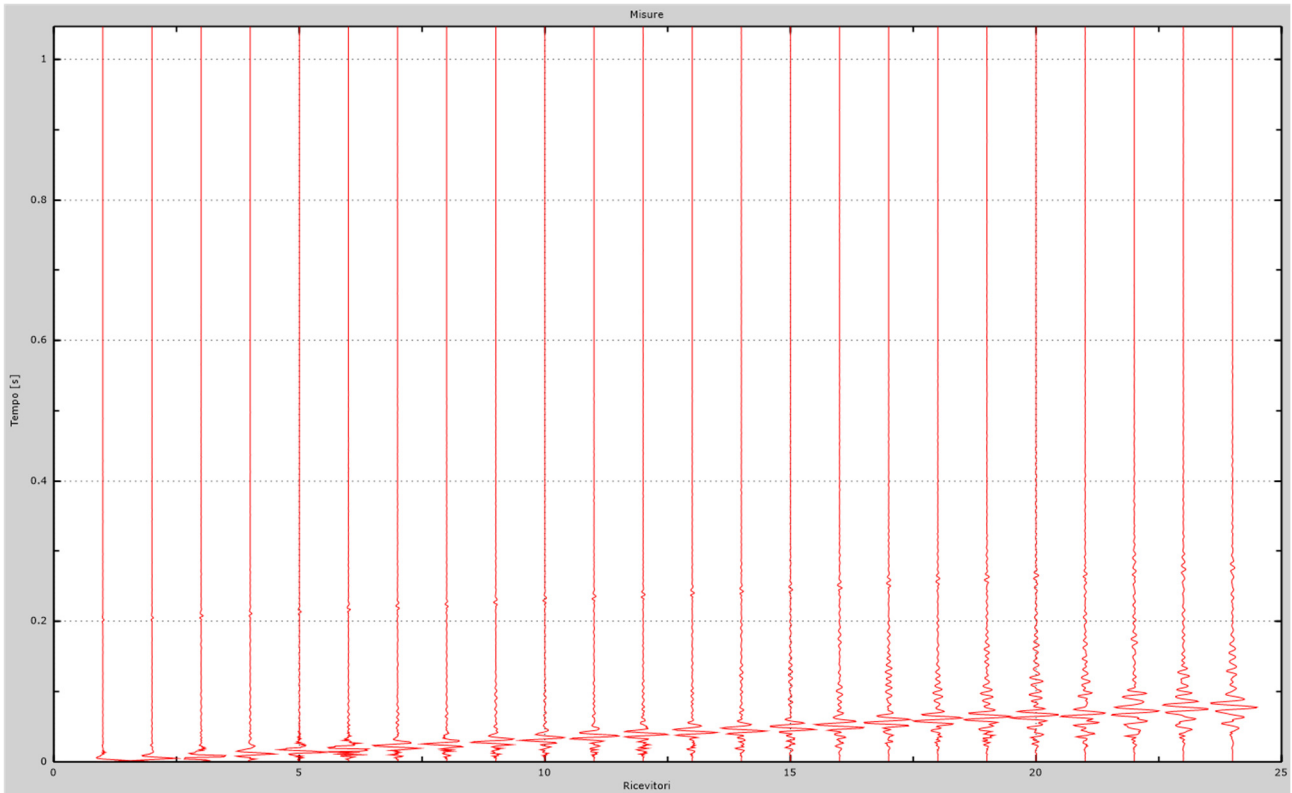


Fig.27 – Sismogrammi dello scoppio considerato per l'analisi MASW del profilo BB'

L'individuazione del profilo  $V_s$  in funzione della profondità è stato desunto individuando la differenza (errore massimo) tra la curva di dispersione sperimentale (Fig.28) e la curva di dispersione numerica corrispondente al modello di suolo assegnato (Fig.29). Minore appare tale imprecisione, maggiore risulta la probabilità che il profilo delle onde di taglio individuato sia quello giusto.

L'analisi dello spettro "velocità di fase -frequenza" ha consentito di ricostruire un modello sismico monodimensionale del sottosuolo, il quale risulta costituito dall'andamento della velocità delle onde di taglio  $V_s$  in funzione della profondità (Fig.30). Si precisa infine che, come esposto sinteticamente nel paragrafo inerente la metodologia M.A.S.W., il modello del sottosuolo e di conseguenza anche l'inversione di velocità rilevata, sono stati ottenuti in corrispondenza del punto medio del profilo di acquisizione.

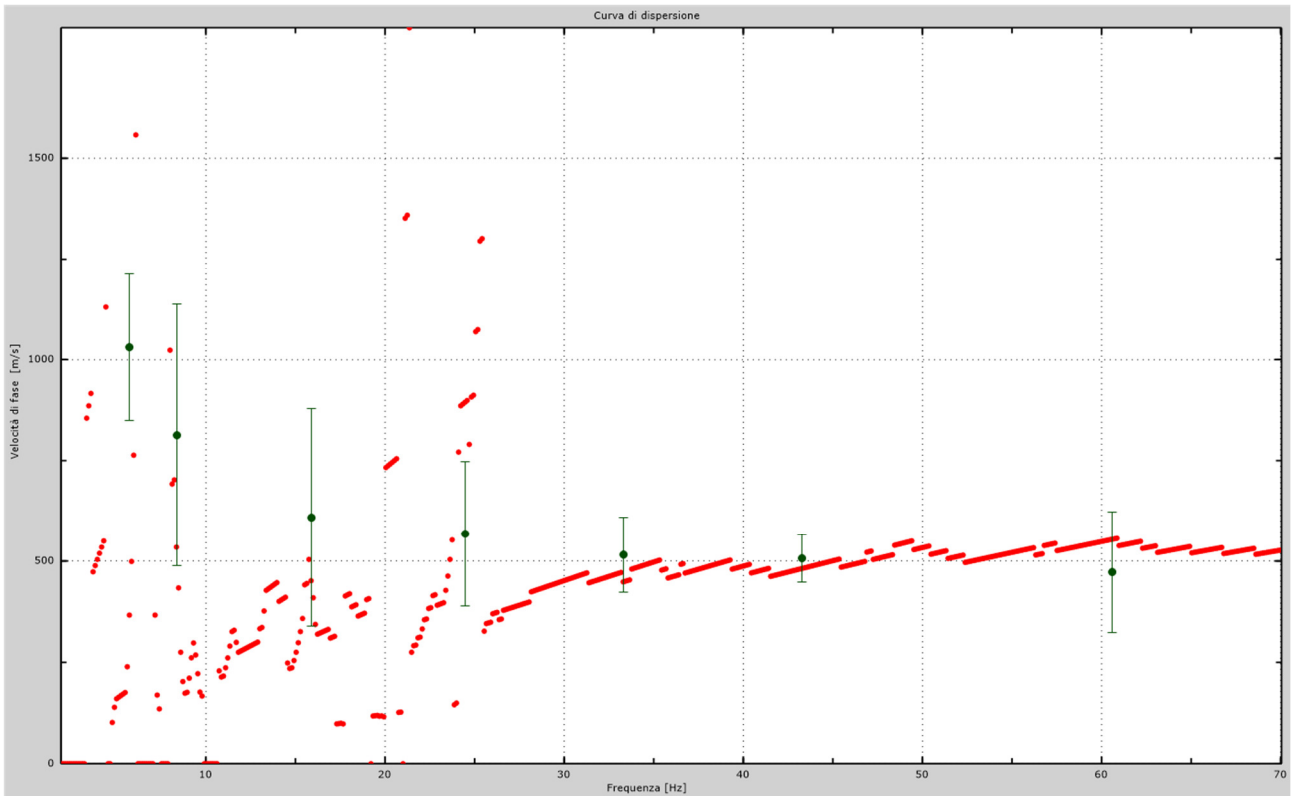


Fig.28 - Curva di dispersione sperimentale

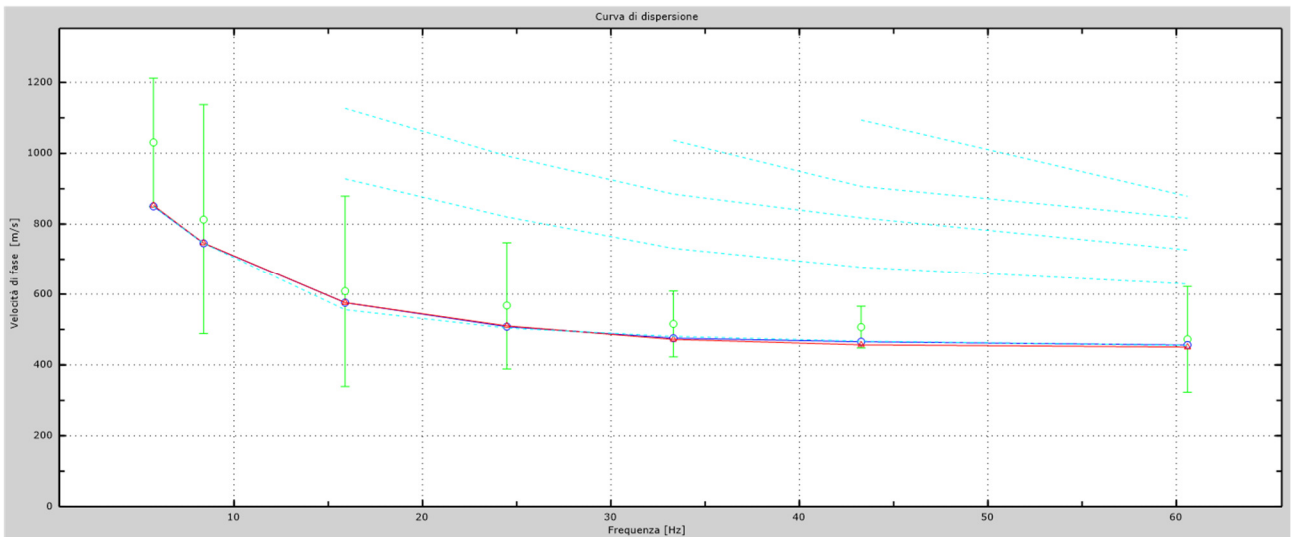


Fig.29 - Velocità numeriche – punti sperimentali (verde), modi di Rayleigh (ciano), curva apparente (blu), curva numerica (rosso).  
 La percentuale di differenza è: 12%.

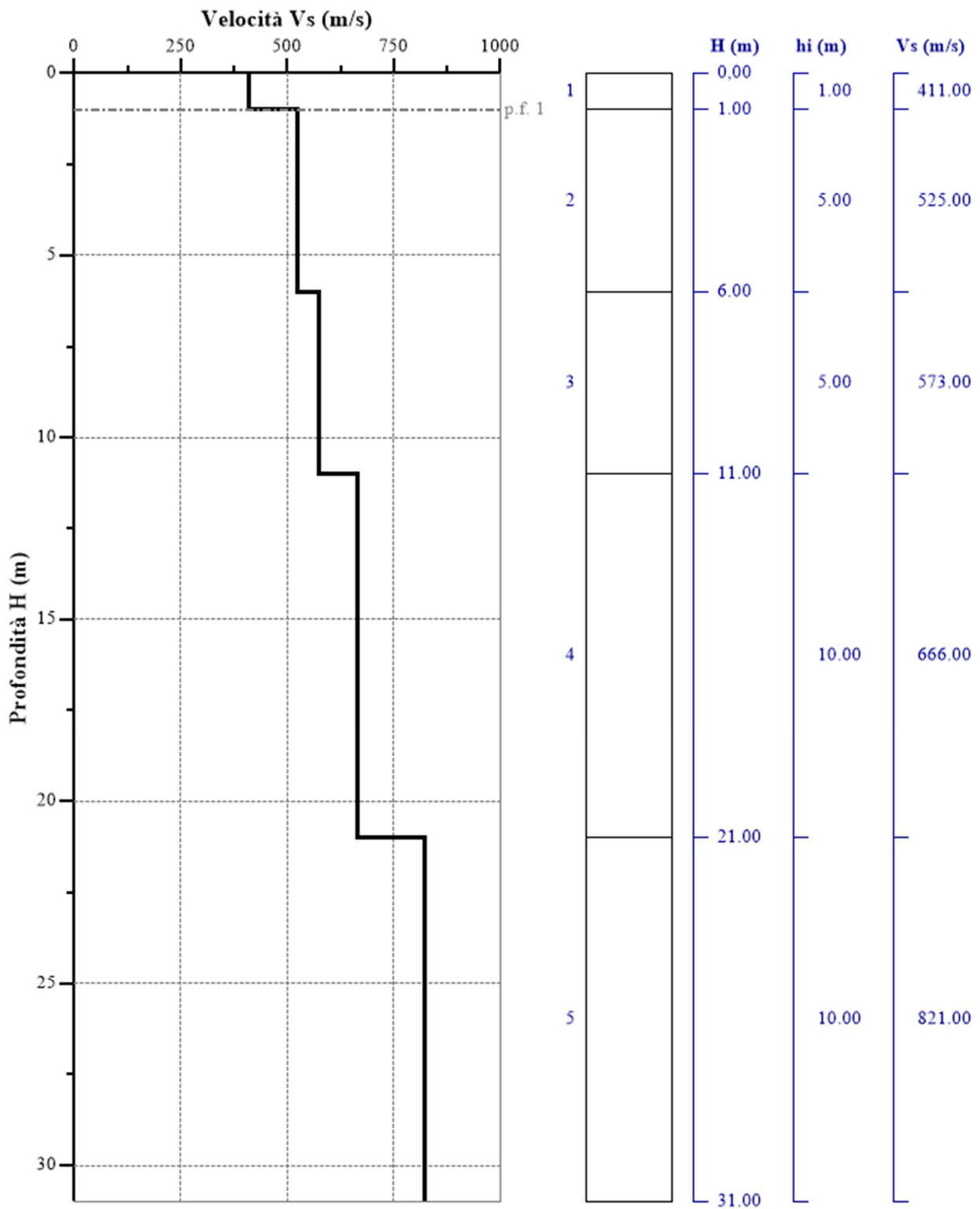


Fig.30 - Profilo verticale delle velocità delle Onde registrate

### 10.3 Stendimento sismico CC': interpretazione dei dati

Per il profilo in questione sono stati eseguiti 2 scoppi effettuati a 1.0 m di distanza dal primo geofono. Il treno di onde generato da ciascun colpo di massa battente è stato campionato con intervallo temporale di 1.22 secondi. Per la qualità del segnale si è scelto lo scoppio n.2 (Fig.31).

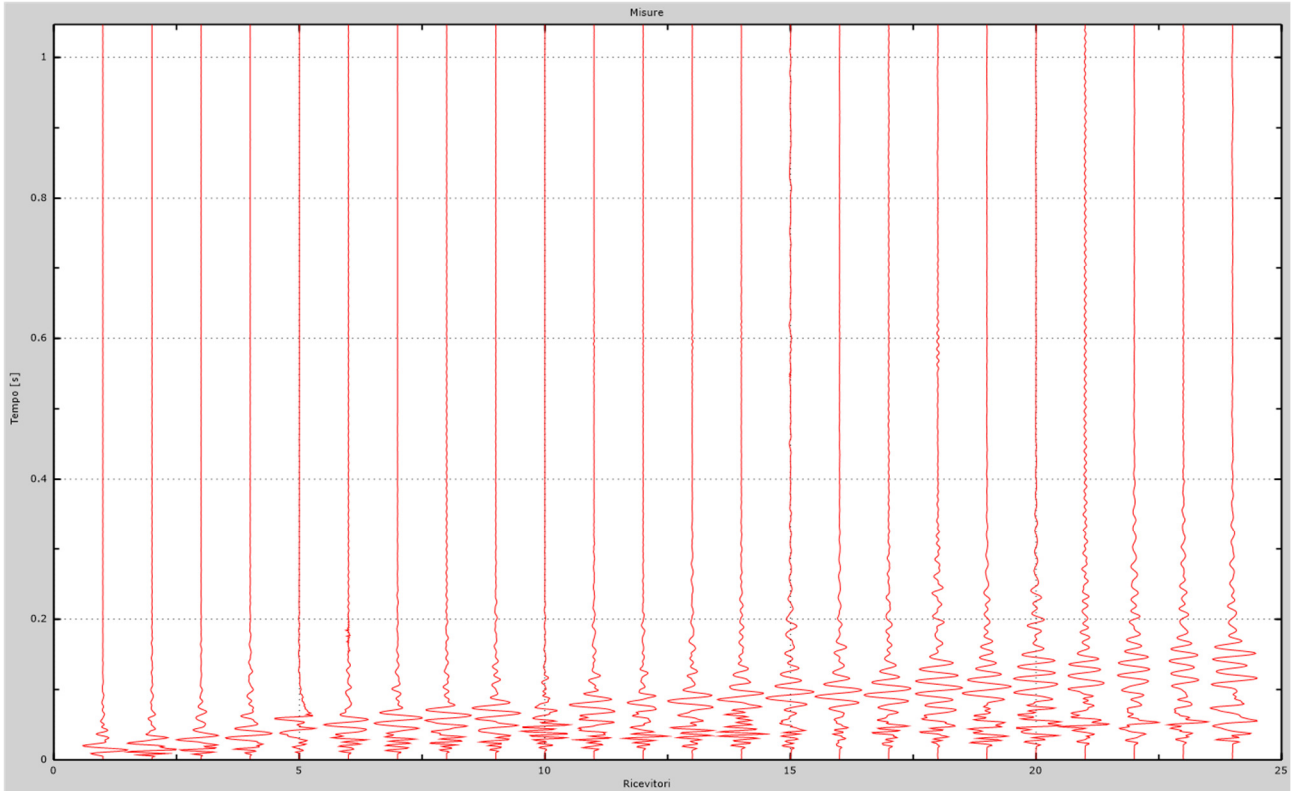


Fig.31 – Sismogrammi dello scoppio considerato per l'analisi MASW del profilo CC'

L'individuazione del profilo  $V_s$  in funzione della profondità è stato desunto individuando la differenza (errore massimo) tra la curva di dispersione sperimentale (Fig.32) e la curva di dispersione numerica corrispondente al modello di suolo assegnato (Fig.33). Minore appare tale imprecisione, maggiore risulta la probabilità che il profilo delle onde di taglio individuato sia quello giusto.

L'analisi dello spettro "velocità di fase -frequenza" ha consentito di ricostruire un modello sismico monodimensionale del sottosuolo, il quale risulta costituito dall'andamento della velocità delle onde di taglio  $V_s$  in funzione della profondità (Fig.34). Si precisa infine che, come esposto sinteticamente nel paragrafo inerente la metodologia M.A.S.W., il modello del sottosuolo e di conseguenza anche l'inversione di velocità rilevata, sono stati ottenuti in corrispondenza del punto medio del profilo di acquisizione.

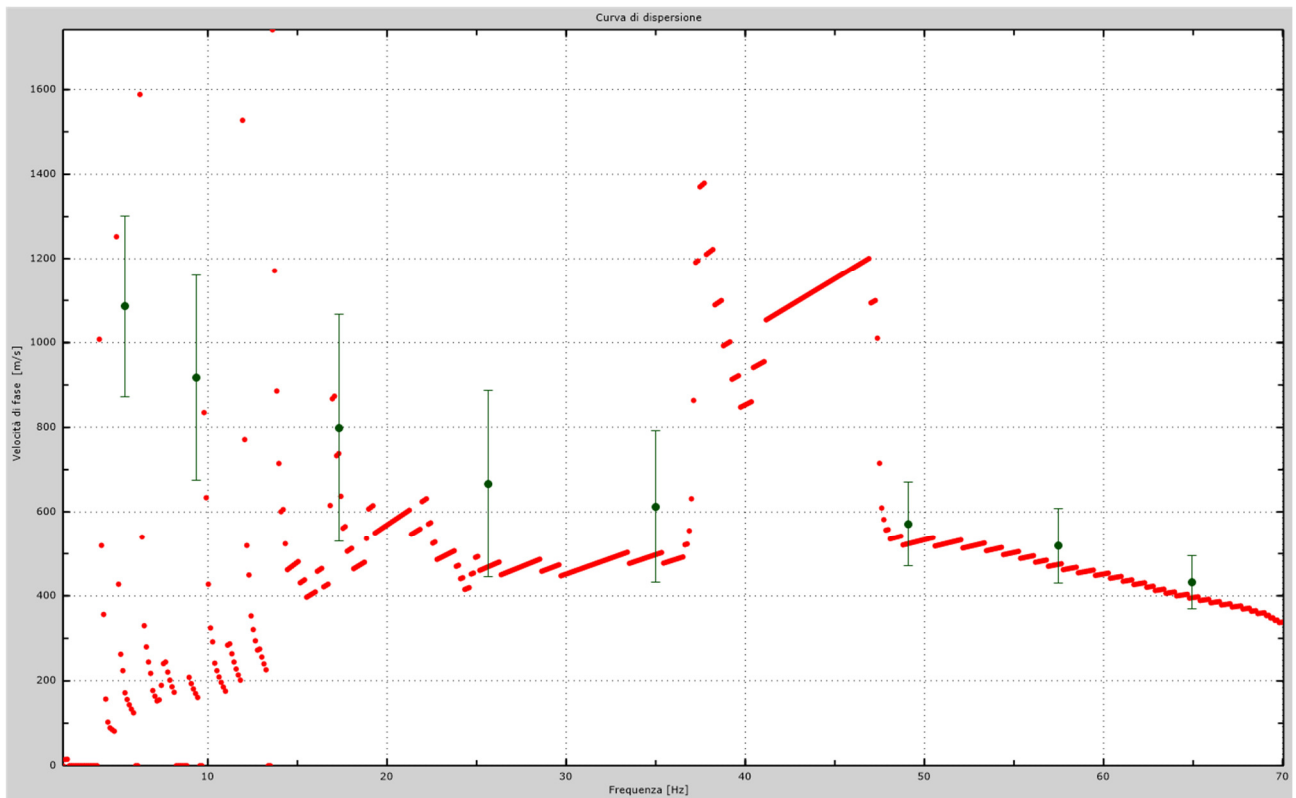


Fig.32 - Curva di dispersione sperimentale.

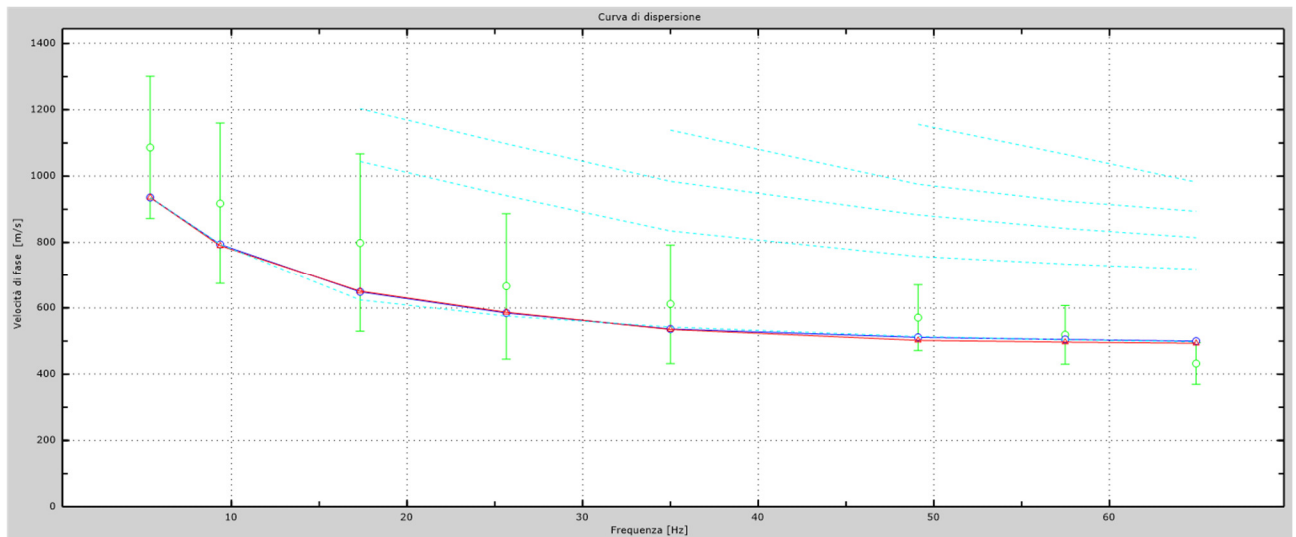


Fig.33 - Velocità numeriche – punti sperimentali (verde), modi di Rayleigh (ciano), curva apparente (blu), curva numerica (rosso).  
La percentuale di differenza è: 14%.

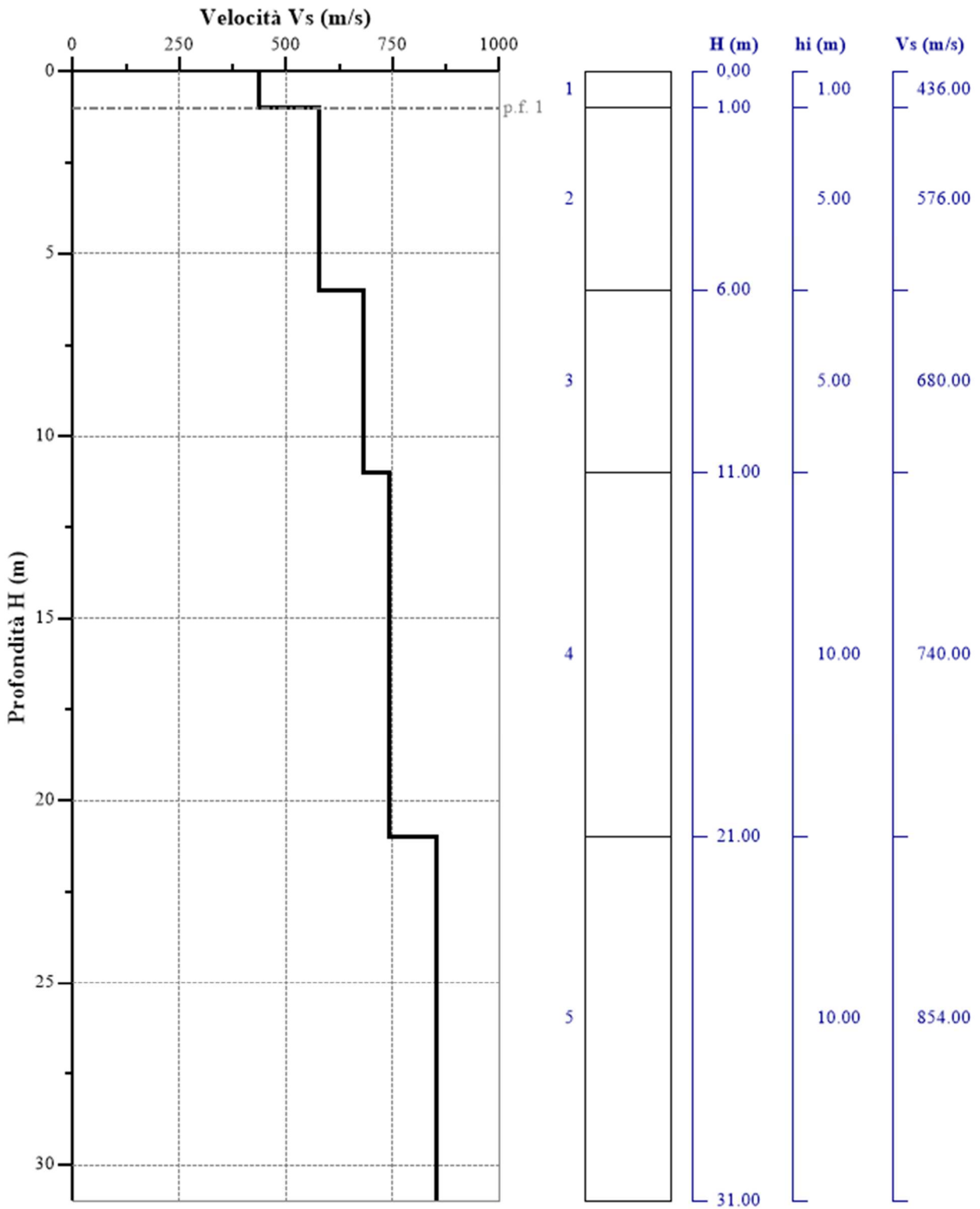


Fig.34 – Profilo verticale delle velocità delle Onde registrate

#### 10.4 Stendimento sismico DD': interpretazione dei dati

Per il profilo in questione sono stati eseguiti 2 scoppi effettuati a 1.0 m di distanza dal primo geofono. Il treno di onde generato da ciascun colpo di massa battente è stato campionato con intervallo temporale di 1.22 secondi. Per la qualità del segnale si è scelto lo scoppio n.2 (Fig.35).

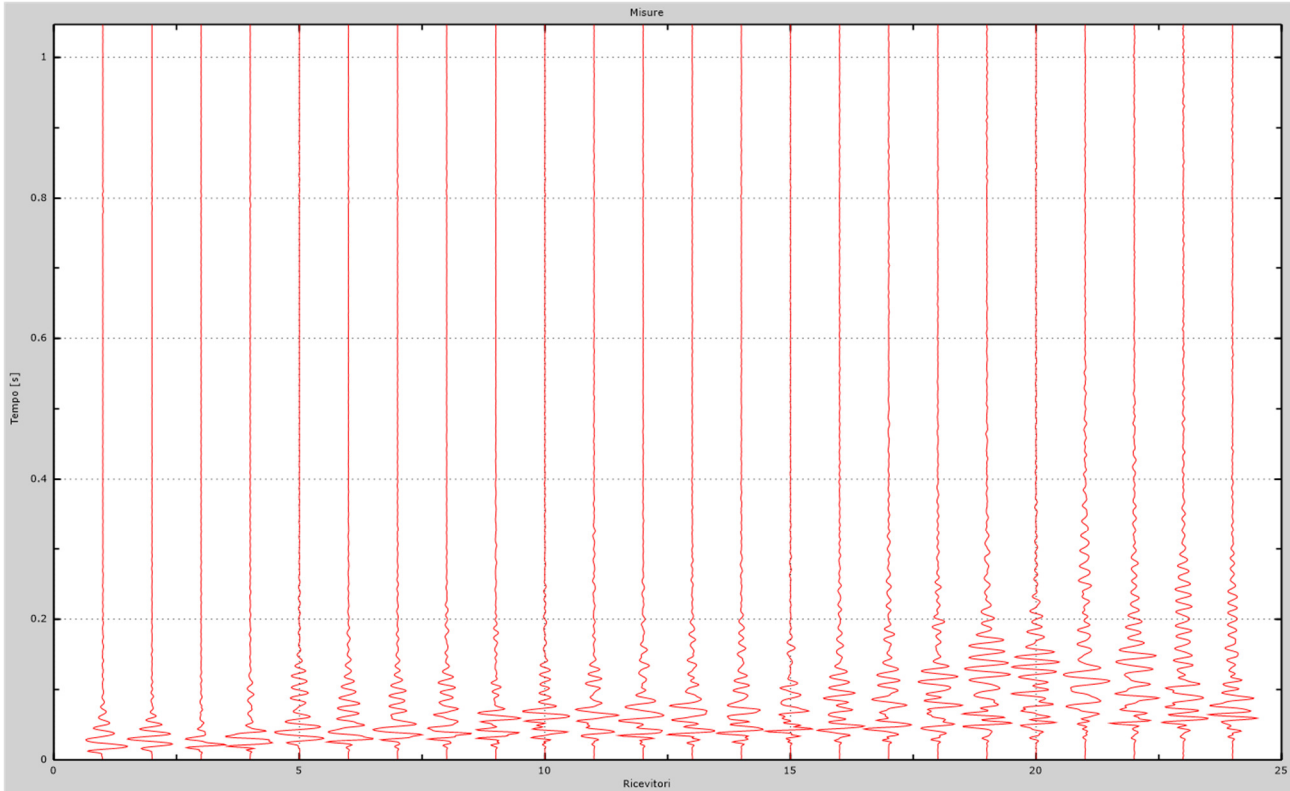


Fig.35 – Sismogrammi dello scoppio considerato per l'analisi MASW del profilo DD'

L'individuazione del profilo  $V_s$  in funzione della profondità è stato desunto individuando la differenza (errore massimo) tra la curva di dispersione sperimentale (Fig.36) e la curva di dispersione numerica corrispondente al modello di suolo assegnato (Fig.37). Minore appare tale imprecisione, maggiore risulta la probabilità che il profilo delle onde di taglio individuato sia quello giusto.

L'analisi dello spettro "velocità di fase -frequenza" ha consentito di ricostruire un modello sismico monodimensionale del sottosuolo, il quale risulta costituito dall'andamento della velocità delle onde di taglio  $V_s$  in funzione della profondità (Fig.38). Si precisa infine che, come esposto sinteticamente nel paragrafo inerente la metodologia M.A.S.W., il modello del sottosuolo e di conseguenza anche l'inversione di velocità rilevata, sono stati ottenuti in corrispondenza del punto medio del profilo di acquisizione.

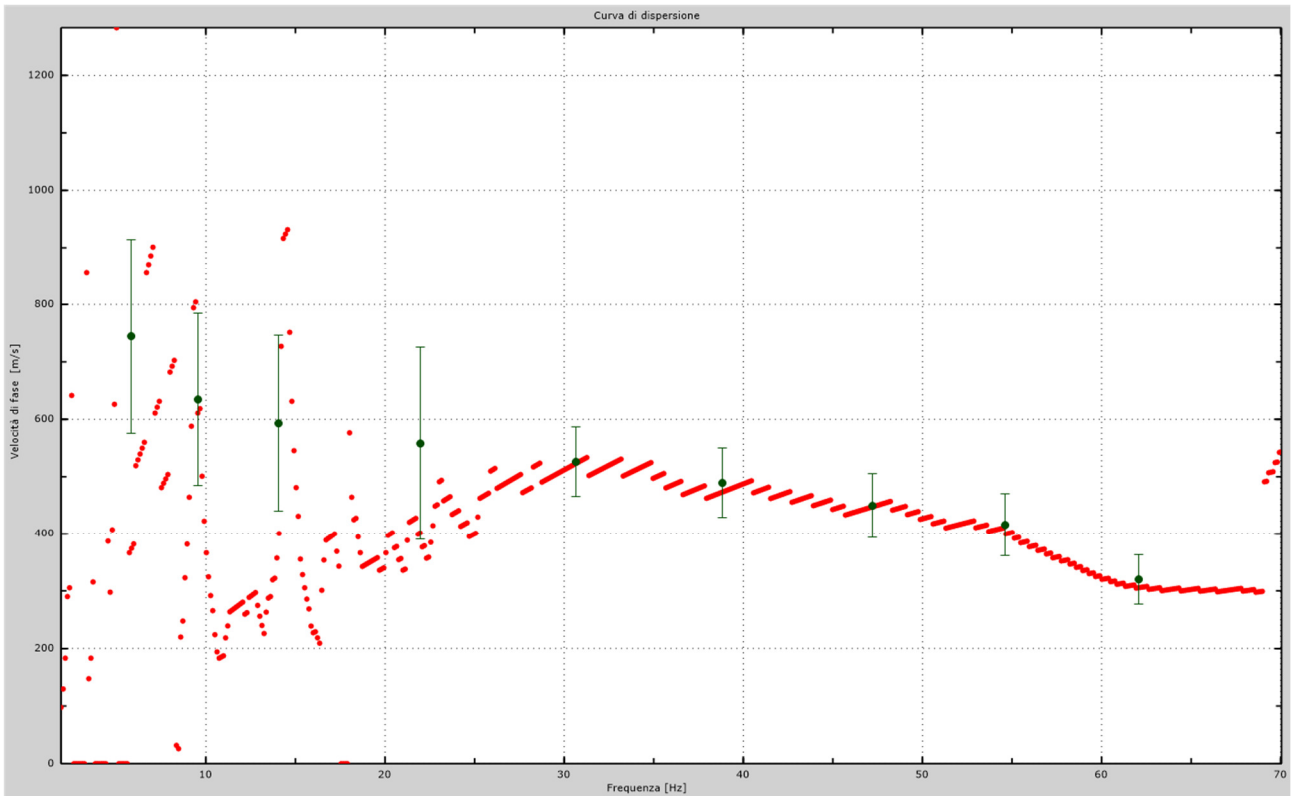


Fig.36 - Curva di dispersione sperimentale.

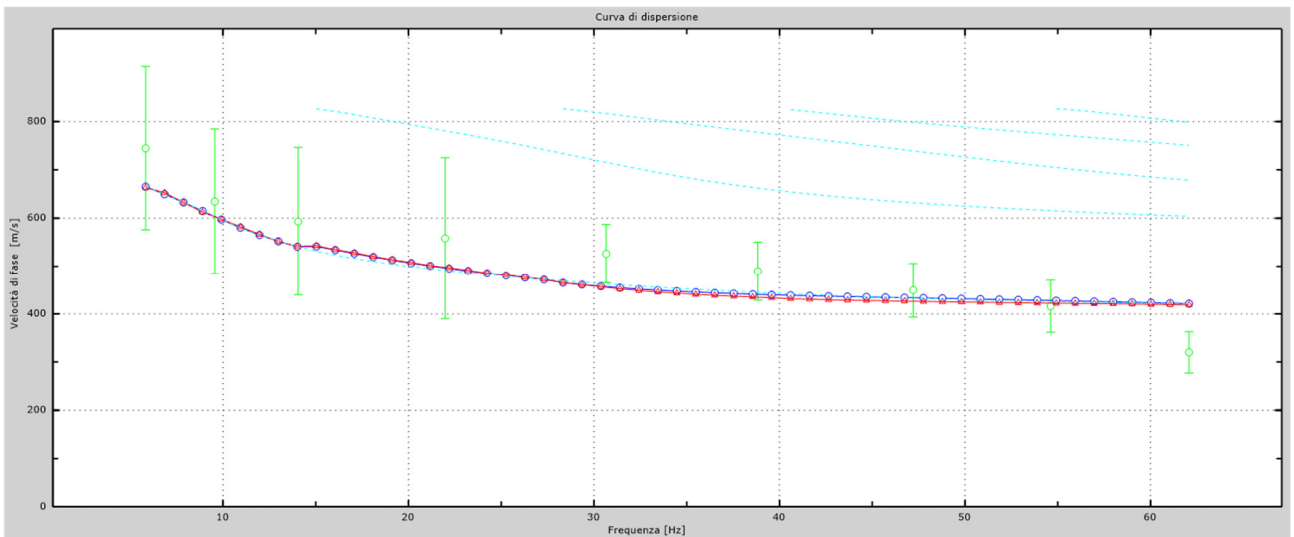


Fig.37 - Velocità numeriche – punti sperimentali (verde), modi di Rayleigh (ciano), curva apparente (blu), curva numerica (rosso).  
 La percentuale di differenza è: 11%.

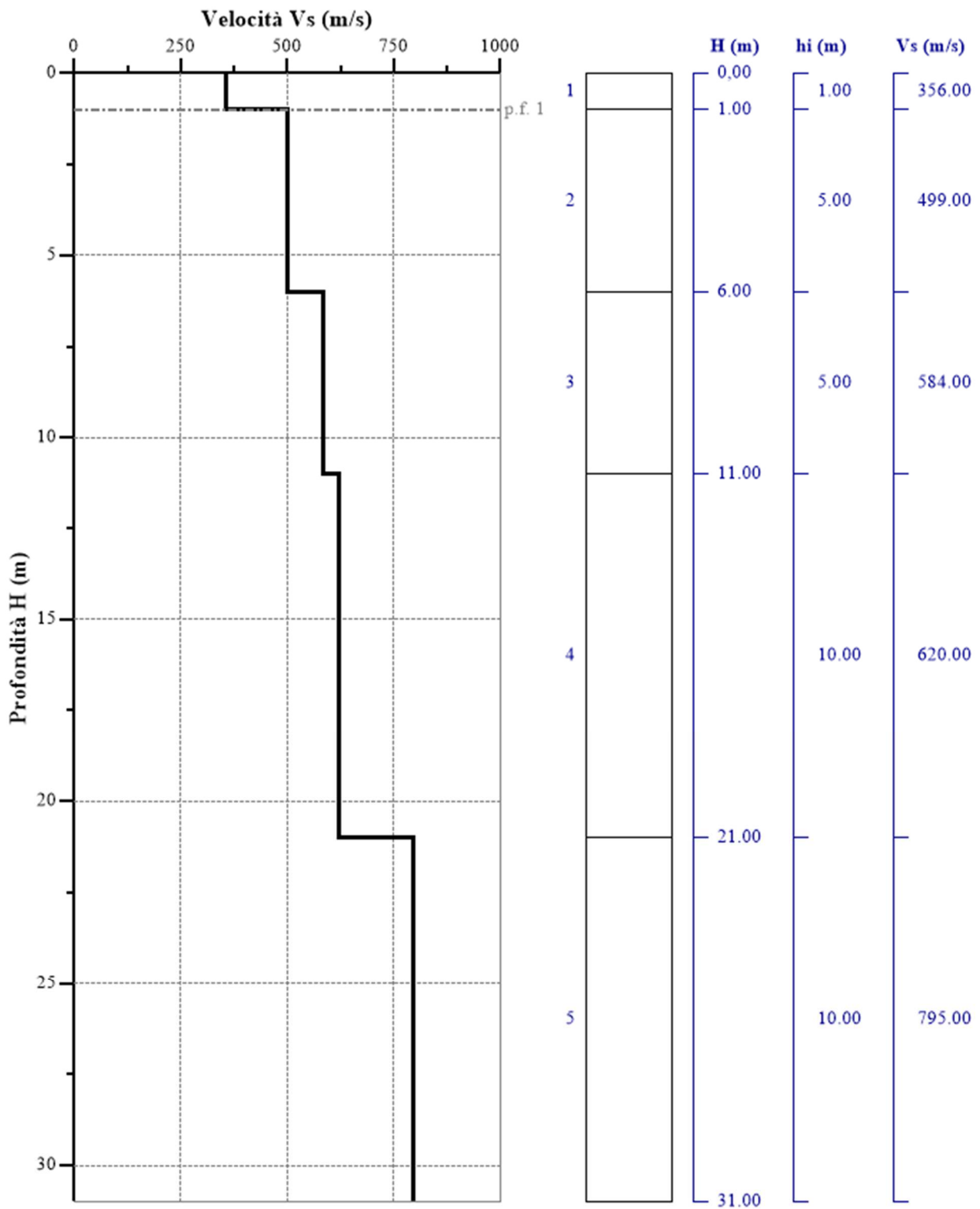


Fig.38 - Profilo verticale delle velocità delle Onde registrate

### 10.5 Stendimento sismico EE': interpretazione dei dati

Per il profilo in questione sono stati eseguiti 2 scoppi effettuati a 1.0 m di distanza dal primo geofono. Il treno di onde generato da ciascun colpo di massa battente è stato campionato con intervallo temporale di 1.22 secondi. Per la qualità del segnale si è scelto lo scoppio n.2 (Fig.39).

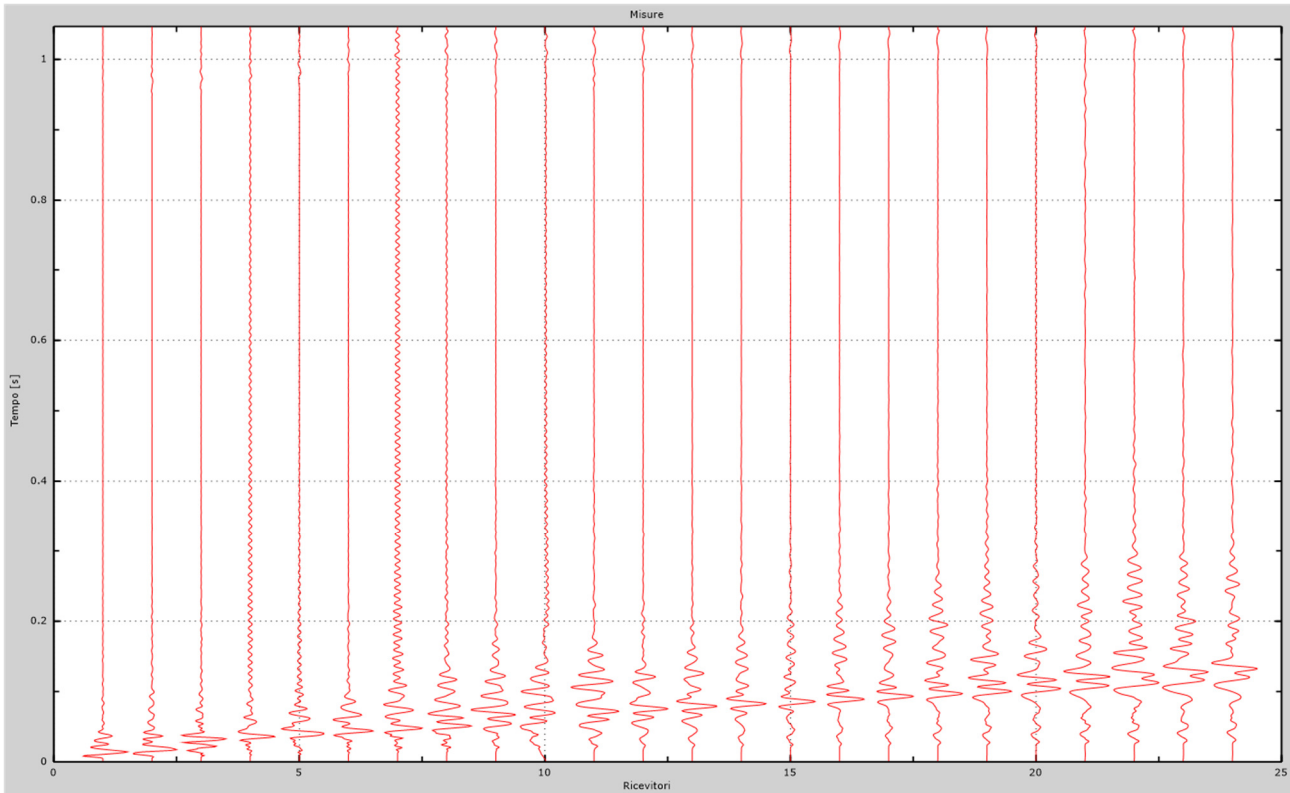


Fig.39 – Sismogrammi dello scoppio considerato per l'analisi MASW del profilo DD'

L'individuazione del profilo  $V_s$  in funzione della profondità è stato desunto individuando la differenza (errore massimo) tra la curva di dispersione sperimentale (Fig.40) e la curva di dispersione numerica corrispondente al modello di suolo assegnato (Fig.41). Minore appare tale imprecisione, maggiore risulta la probabilità che il profilo delle onde di taglio individuato sia quello giusto.

L'analisi dello spettro "velocità di fase -frequenza" ha consentito di ricostruire un modello sismico monodimensionale del sottosuolo, il quale risulta costituito dall'andamento della velocità delle onde di taglio  $V_s$  in funzione della profondità (Fig.42). Si precisa infine che, come esposto sinteticamente nel paragrafo inerente la metodologia M.A.S.W., il modello del sottosuolo e di conseguenza anche l'inversione di velocità rilevata, sono stati ottenuti in corrispondenza del punto medio del profilo di acquisizione.

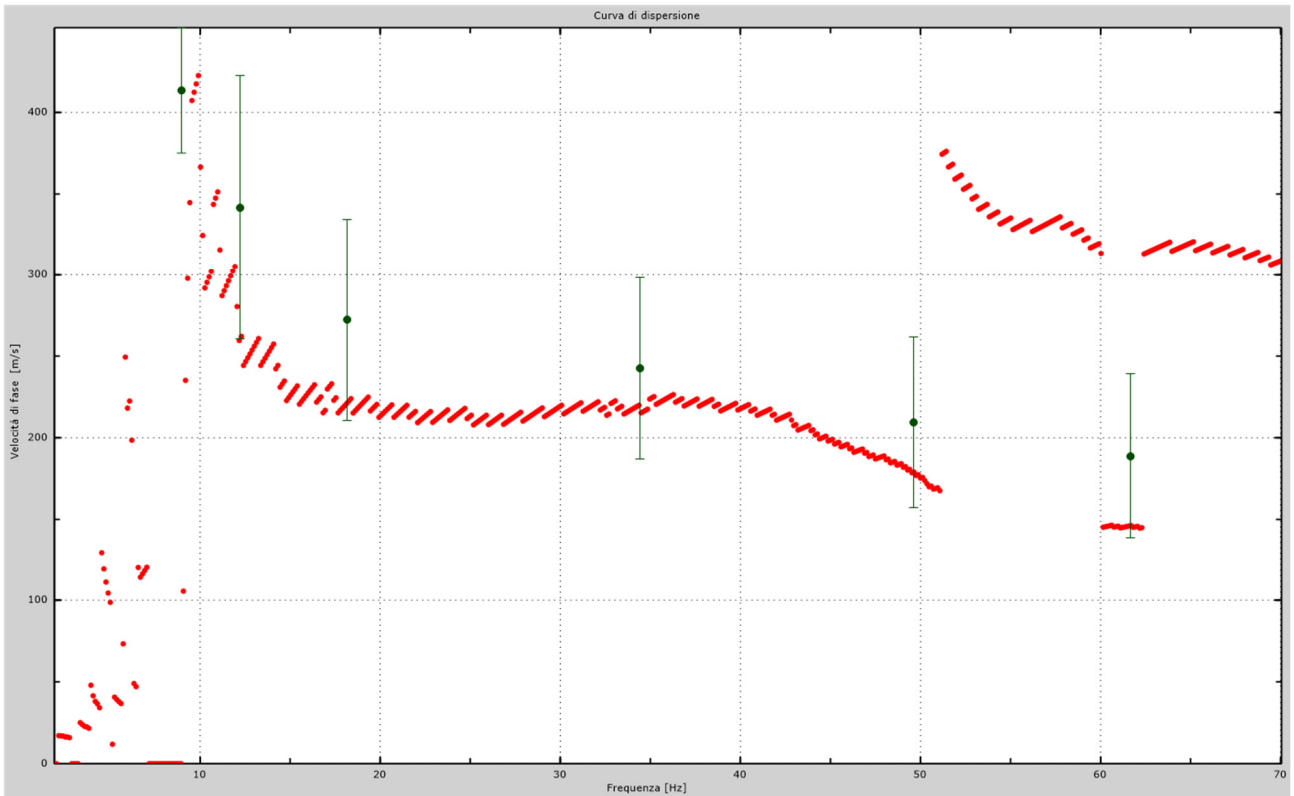


Fig.40 - Curva di dispersione sperimentale.

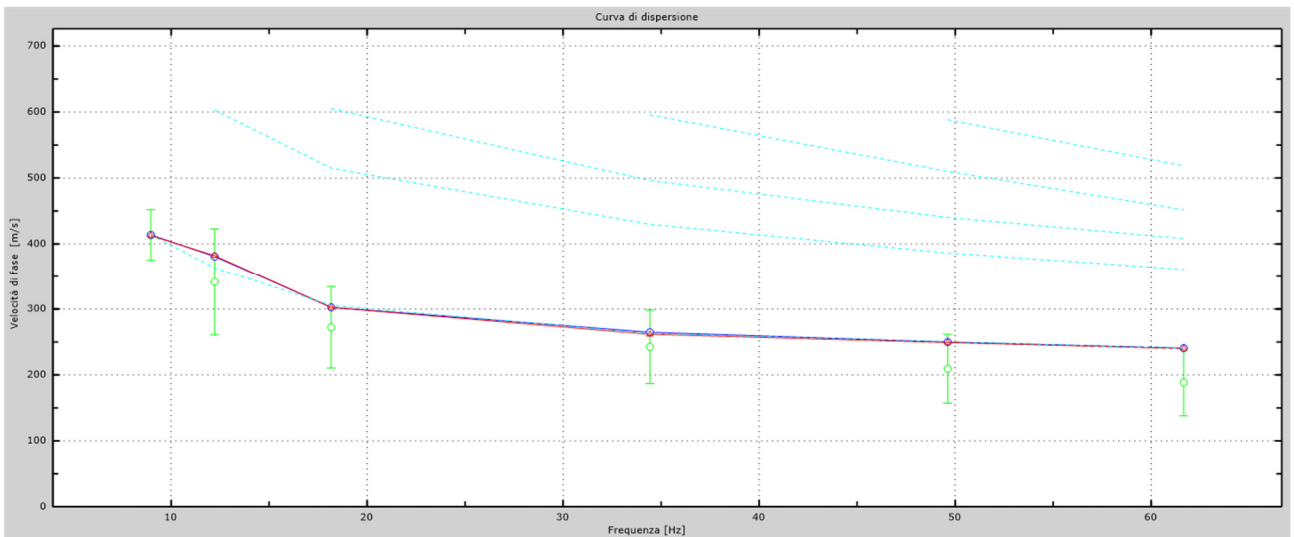


Fig.41 - Velocità numeriche – punti sperimentali (verde), modi di Rayleigh (ciano), curva apparente(blu), curva numerica (rosso).  
 La percentuale di differenza è: 15%.

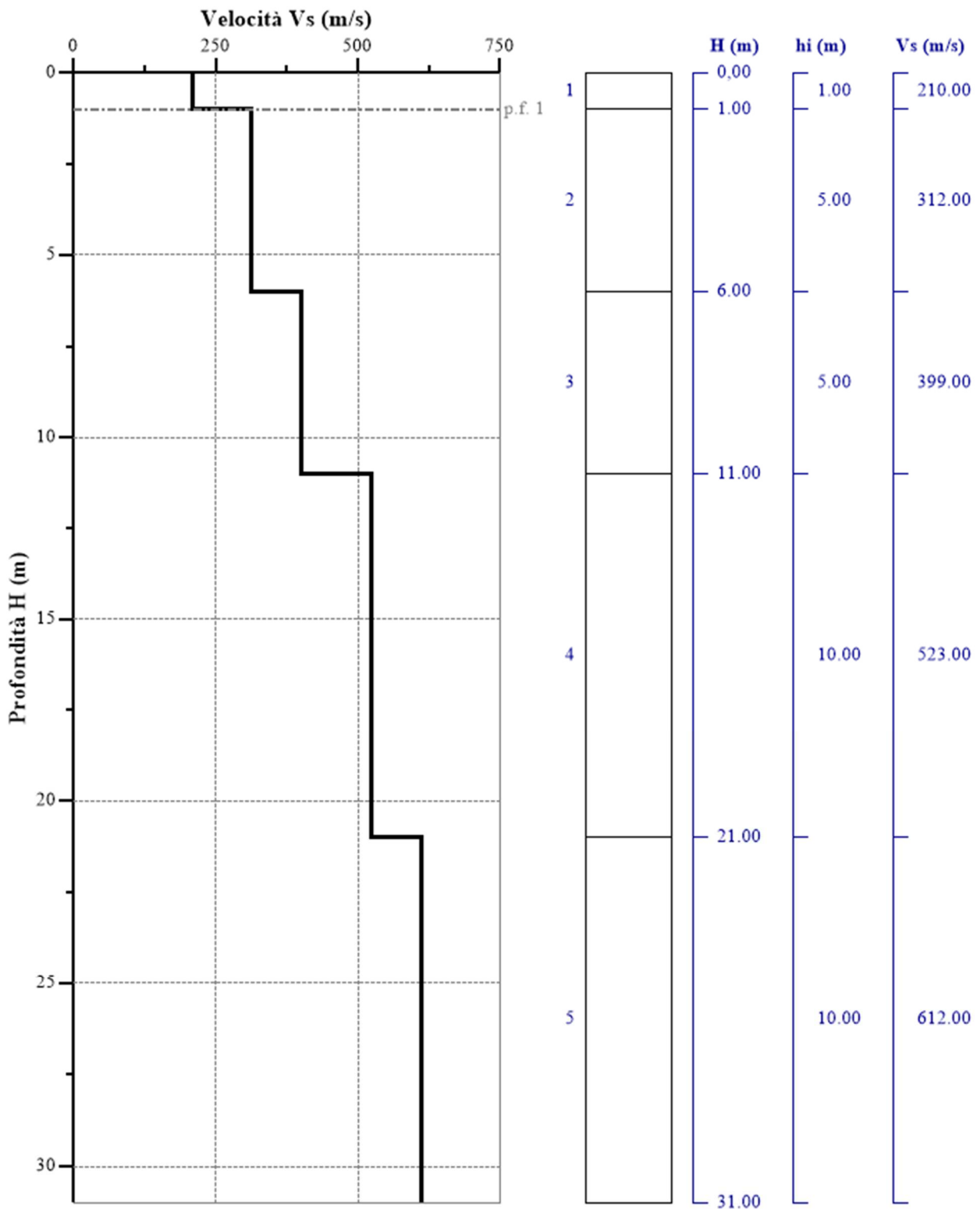


Fig.42 - Profilo verticale delle velocità delle Onde registrate

## 11. Classificazione del sottosuolo di fondazione dei siti di progetto

Lo studio sugli effetti di sito è un aspetto fondamentale nella valutazione e mitigazione del rischio sismico. Tale studio si effettua in termini di risposta sismica locale, partendo dal concetto di amplificazione del moto sismico che si origina dal basamento roccioso (definito *bedrock* sismico) e che si propaga all'interno di un deposito sino a raggiungere la superficie. Valutare questi effetti non è sempre del tutto facile anche perché, in molti casi, l'amplificazione è dovuta ai cosiddetti fenomeni di risonanza nei terreni stratificati posti al di sopra del *bedrock*, di riflessione e rifrazione delle onde sismiche nelle interfacce di discontinuità e tra mezzi a diversa densità, dove le onde vengono per così dire "intrappolate" e successivamente trasmesse allo strato più superficiale generando così onde di tipo Love e di Rayleigh. A questi, poi, si aggiunge l'effetto di focalizzazione del raggio sismico nelle zone morfologicamente più acclive. Sul territorio italiano la valutazione degli effetti della risposta sismica locale viene fatta sulla base delle vigenti norme tecniche per le costruzioni pubblicate in *GU n.42 del 20/02/2018 - Suppl. Ordinario n. 8*. In particolare per situazioni riconducibili alle categorie definite in Tab. 3.2.II di cui al § 3.2.2 si può fare riferimento ad un approccio semplificato basato sui valori di velocità di propagazione delle onde di taglio,  $V_s$ , che costituiscono parte integrante della caratterizzazione geotecnica dei terreni compresi nel volume significativo di cui al § 6.2.2. In tal caso si calcola la velocità equivalente con la seguente espressione:

$$V_{s\ eq} = \frac{H}{\sum_{i=1}^N \frac{h_i}{V_{s,i}}}$$

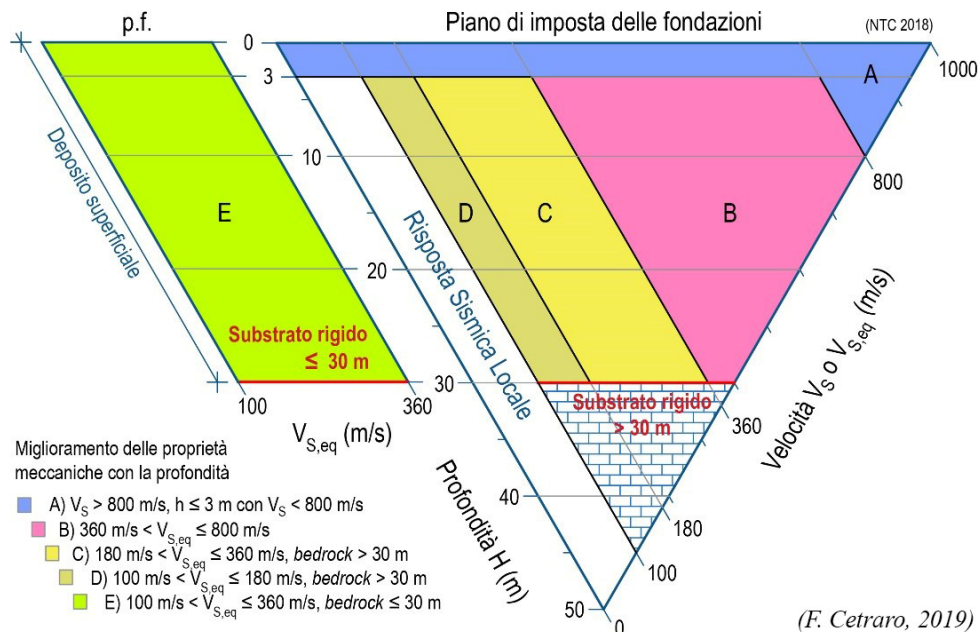
con  $h_i$  lo spessore in metri dell' $i$ esimo strato di terreno;

$V_{s,i}$  la velocità dell'onda di taglio media corrispondente;

$N$  il numero di strati;

$H$  la profondità del substrato, definito come quella formazione costituita da roccia o terreno molto rigido, caratterizzata da  $V_s$  non inferiore a 800 m/s. Per depositi con profondità  $H$  del substrato superiore a 30 m, la velocità equivalente delle onde di taglio è definita dal parametro dove  $H = 30$  m considerando le proprietà degli strati di terreno fino a tale profondità.

Mentre per tutti quei casi non rientranti è richiesta una specifica analisi della risposta sismica locale, così come previsto al § 7.11.3.



**Diagramma per le categorie di sottosuolo secondo i riferimenti del § 3.2.2 delle NTC 2018.**

Categorie di sottosuolo per l'approccio semplificato (Tab. 3.2.II delle NTC 2018).

Categoria	Caratteristiche della superficie topografica
<b>A</b>	<b>Ammassi rocciosi affioranti o terreni molto rigidi</b> caratterizzati da valori di velocità delle onde di taglio superiori a 800 m/s, eventualmente comprendenti in superficie terreni di caratteristiche meccaniche più scadenti con spessore massimo pari a 3 m.
<b>B</b>	<b>Rocce tenere e depositi di terreni a grana grossa molto addensati o terreni a grana fine molto consistenti</b> , caratterizzati da un miglioramento delle proprietà meccaniche con la profondità e da valori di velocità equivalente compresi tra 360 m/s e 800 m/s.
<b>C</b>	<b>Depositì di terreni a grana grossa mediamente addensati o terreni a grana fine mediamente consistenti</b> con profondità del substrato superiori a 30 m, caratterizzati da un miglioramento delle proprietà meccaniche con la profondità e da valori di velocità equivalente compresi tra 180 m/s e 360 m/s.
<b>D</b>	<b>Depositì di terreni a grana grossa scarsamente addensati o di terreni a grana fine scarsamente consistenti</b> , con profondità del substrato superiori a 30 m, caratterizzati da un miglioramento delle proprietà meccaniche con la profondità e da valori di velocità equivalente compresi tra 100 e 180 m/s.
<b>E</b>	<b>Terreni con caratteristiche e valori di velocità equivalente riconducibili a quelle definite per le categorie C o D</b> , con profondità del substrato non superiore a 30 m.

## 11.1 Determinazione della categoria di sottosuolo dello stendimento AÀ

Per l'acquisizione AÀ, sono stati ottenuti i seguenti risultati:

**Tabella 1 - Valori utilizzati di riferimento.**

Nr.	H (m)	hi (m)	Vs (m/s)
1	1.00	1.00	452.00
2	6.00	5.00	517.00
3	11.00	5.00	543.00
4	21.00	10.00	603.00
5	31.00	10.00	785.00

*Nr = numero progressivo per ciascun sismostrato,  
H = profondità, hi = spessori, Vs = velocità onde di taglio.*

**Tabella 2- Risultati finali.**

Ni.	Zpf (m)	Vs,eq (m/s)	Categoria
1	1.00	622.38	B

*Ni = livello, Zpf = profondità del livello di fondazione.*

**Vs,eq: 622.38 m/s**

**Categoria del suolo: B**

Sulla base della Vs,eq calcolata, è possibile assegnare il sottosuolo di fondazione alla **Categoria B - Rocce tenere e depositi di terreni a grana grossa molto addensati o terreni a grana fina molto consistenti, caratterizzati da un miglioramento delle proprietà meccaniche con la profondità e da valori di velocità equivalente compresi tra 360 m/s e 800 m/s.**

## 11.2 Determinazione della categoria di sottosuolo dello stendimento BB'

Per l'acquisizione BB', sono stati ottenuti i seguenti risultati:

**Tabella 3-** Valori utilizzati di riferimento.

Nr.	H (m)	hi (m)	Vs (m/s)
1	1.00	1.00	411.00
2	6.00	5.00	525.00
3	11.00	5.00	573.00
4	21.00	10.00	666.00
5	31.00	10.00	821.00

*Nr = numero progressivo per ciascun sismostrato,  
H = profondità, hi = spessori, Vs = velocità onde di taglio.*

**Tabella 4-** Risultati finali.

Ni.	Zpf (m)	Vs,eq (m/s)	Categoria
1	1.00	601.24	B

*Ni = livello, Zpf = profondità del livello di fondazione.*

**Vs,eq: 601.24 m/s**

**Categoria del suolo: B**

Sulla base della Vs,eq calcolata, è possibile assegnare il sottosuolo di fondazione alla **Categoria B - Rocce tenere e depositi di terreni a grana grossa molto addensati o terreni a grana fina molto consistenti, caratterizzati da un miglioramento delle proprietà meccaniche con la profondità e da valori di velocità equivalente compresi tra 360 m/s e 800 m/s.**

### 11.3 Determinazione della categoria di sottosuolo dello stendimento CC'

Per l'acquisizione CC', sono stati ottenuti i seguenti risultati:

**Tabella 5 - Valori utilizzati di riferimento.**

Nr.	H (m)	hi (m)	Vs (m/s)
1	1.00	1.00	436.00
2	6.00	5.00	576.00
3	11.00	5.00	680.00
4	21.00	10.00	740.00
5	31.00	10.00	854.00

*Nr = numero progressivo per ciascun sismostrato,  
H = profondità, hi = spessori, Vs = velocità onde di taglio.*

**Tabella 6 - Risultati finali.**

Ni.	Zpf (m)	Vs,eq (m/s)	Categoria
1	1.00	676.89	B

*Ni = livello, Zpf = profondità del livello di fondazione.*

**Vs,eq: 676.89 m/s**

**Categoria del suolo: B**

Sulla base della Vs,eq calcolata, è possibile assegnare il sottosuolo di fondazione alla **Categoria B - Rocce tenere e depositi di terreni a grana grossa molto addensati o terreni a grana fina molto consistenti, caratterizzati da un miglioramento delle proprietà meccaniche con la profondità e da valori di velocità equivalente compresi tra 360 m/s e 800 m/s.**

#### 11.4 Determinazione della categoria di sottosuolo dello stendimento DD'

Per l'acquisizione DD', sono stati ottenuti i seguenti risultati:

**Tabella 7 - Valori utilizzati di riferimento.**

Nr.	H (m)	hi (m)	Vs (m/s)
1	1.00	1.00	356.00
2	6.00	5.00	499.00
3	11.00	5.00	584.00
4	21.00	10.00	620.00
5	31.00	10.00	795.00

*Nr = numero progressivo per ciascun sismostrato,  
H = profondità, hi = spessori, Vs = velocità onde di taglio.*

**Tabella 8 - Risultati finali.**

Ni.	Zpf (m)	Vs,eq (m/s)	Categoria
1	1.00	634.39	B

*Ni = livello, Zpf = profondità del livello di fondazione.*

**Vs,eq: 634.39 m/s**

**Categoria del suolo: B**

Sulla base della Vs,eq calcolata, è possibile assegnare il sottosuolo di fondazione alla **Categoria B - Rocce tenere e depositi di terreni a grana grossa molto addensati o terreni a grana fina molto consistenti, caratterizzati da un miglioramento delle proprietà meccaniche con la profondità e da valori di velocità equivalente compresi tra 360 m/s e 800 m/s.**

## 11.5 Determinazione della categoria di sottosuolo dello stendimento EE'

Per l'acquisizione EE', sono stati ottenuti i seguenti risultati:

**Tabella 9** - Valori utilizzati di riferimento.

Nr.	H (m)	hi (m)	Vs (m/s)
1	1.00	1.00	210.00
2	6.00	5.00	312.00
3	11.00	5.00	399.00
4	21.00	10.00	523.00
5	31.00	10.00	612.00

*Nr* = numero progressivo per ciascun sismostrato,  
*H* = profondità, *hi* = spessori, *V<sub>s</sub>* = velocità onde di taglio.

**Tabella 10** - Risultati finali.

N <sub>i</sub> .	Z <sub>pf</sub> (m)	V <sub>s,eq</sub> (m/s)	Categoria
1	1.00	468.62	B

*N<sub>i</sub>* = livello, *Z<sub>pf</sub>* = profondità del livello di fondazione.

**V<sub>s,eq</sub>: 468.62 m/s**

**Categoria del suolo: B**

Sulla base della V<sub>s,eq</sub> calcolata, è possibile assegnare il sottosuolo di fondazione alla **Categoria B - Rocce tenere e depositi di terreni a grana grossa molto addensati o terreni a grana fina molto consistenti, caratterizzati da un miglioramento delle proprietà meccaniche con la profondità e da valori di velocità equivalente compresi tra 360 m/s e 800 m/s.**

## 12. Caratterizzazione elastica dei terreni di fondazione

Nel seguito sono riportate tabelle riassuntive delle principali caratteristiche elastiche dei sismostrati individuati, riferite alle zone dove sono state eseguite le indagini sismiche.

### Sezione AA - Tabella 1

Prof. (m da p.c.)	Unità	V <sub>Pi</sub> (m/sec)	V <sub>Si</sub> (m/sec)	g (gr/cm <sup>3</sup> )	G <sub>0</sub> (Kg/cm <sup>2</sup> )	K (Kg/cm <sup>2</sup> )	E (kg/cm <sup>2</sup> )	M (kg/cm <sup>2</sup> )	μ	V <sub>p</sub> /V <sub>s</sub>	IS (t*m <sup>-2</sup> *sec <sup>-1</sup> )
0.10	A - TETTO	250.00	132.00	1.46	256.8	578.7	671.1	921.0	0.31	1.89	192.20
1.00	A - LETTO	500.00	253.00	1.66	1076.0	2768.0	2857.8	4202.7	0.33	1.98	420.24
1.00	B - TETTO	500.00	253.00	1.66	1076.0	2768.0	2857.8	4202.7	0.33	1.98	420.24
6.00/7.00	B - LETTO	1400.00	603.00	2.02	7433.4	30157.7	20607.0	40068.9	0.39	2.32	1218.01

### Sezione BB' - Tabella 2

Prof. (m da p.c.)	Unità	V <sub>Pi</sub> (m/sec)	V <sub>Si</sub> (m/sec)	g (gr/cm <sup>3</sup> )	G <sub>0</sub> (Kg/cm <sup>2</sup> )	K (Kg/cm <sup>2</sup> )	E (kg/cm <sup>2</sup> )	M (kg/cm <sup>2</sup> )	μ	V <sub>p</sub> /V <sub>s</sub>	IS (t*m <sup>-2</sup> *sec <sup>-1</sup> )
0.10	A - TETTO	250.00	127.00	1.46	237.7	604.1	630.4	921.0	0.33	1.97	184.92
1.00	A - LETTO	500.00	265.00	1.66	1180.5	2628.7	3080.5	4202.7	0.30	1.89	440.17
1.00	B - TETTO	500.00	265.00	1.66	1180.5	2628.7	3080.5	4202.7	0.30	1.89	440.17
6.00/7.00	B - LETTO	1400.00	666.00	2.02	9067.8	27978.5	24551.0	40068.9	0.35	2.10	1345.27

### Sezione CC' - Tabella 3

Prof. (m da p.c.)	Unità	V <sub>Pi</sub> (m/sec)	V <sub>Si</sub> (m/sec)	g (gr/cm <sup>3</sup> )	G <sub>0</sub> (Kg/cm <sup>2</sup> )	K (Kg/cm <sup>2</sup> )	E (kg/cm <sup>2</sup> )	M (kg/cm <sup>2</sup> )	μ	V <sub>p</sub> /V <sub>s</sub>	IS (t*m <sup>-2</sup> *sec <sup>-1</sup> )
0.10	A - TETTO	250.00	125.00	1.46	230.3	614.0	614.0	921.0	0.33	2.00	182.01
1.00	A - LETTO	500.00	255.00	1.66	1093.1	2745.2	2895.1	4202.7	0.32	1.96	423.56
1.00	B - TETTO	500.00	255.00	1.66	1093.1	2745.2	2895.1	4202.7	0.32	1.96	423.56
6.00/7.00	B - LETTO	1400.00	740.00	2.02	11194.8	25142.5	29244.0	40068.9	0.31	1.89	1494.74

### Sezione DD' - Tabella 4

Prof. (m da p.c.)	Unità	V <sub>Pi</sub> (m/sec)	V <sub>Si</sub> (m/sec)	g (gr/cm <sup>3</sup> )	G <sub>0</sub> (Kg/cm <sup>2</sup> )	K (Kg/cm <sup>2</sup> )	E (kg/cm <sup>2</sup> )	M (kg/cm <sup>2</sup> )	μ	V <sub>p</sub> /V <sub>s</sub>	IS (t*m <sup>-2</sup> *sec <sup>-1</sup> )
0.10	A - TETTO	250.00	125.00	1.46	230.3	614.0	614.0	921.0	0.33	2.00	182.01
1.00	A - LETTO	500.00	250.00	1.66	1050.7	2801.8	2801.8	4202.7	0.33	2.00	415.25
1.00	B - TETTO	500.00	250.00	1.66	1050.7	2801.8	2801.8	4202.7	0.33	2.00	415.25
6.00/7.00	B - LETTO	1400.00	620.00	2.02	7858.4	29591.0	21658.0	40068.9	0.38	2.26	1252.35

### Sezione EE' - Tabella 5

Prof. (m da p.c.)	Unità	V <sub>Pi</sub> (m/sec)	V <sub>Si</sub> (m/sec)	g (gr/cm <sup>3</sup> )	G <sub>0</sub> (Kg/cm <sup>2</sup> )	K (Kg/cm <sup>2</sup> )	E (kg/cm <sup>2</sup> )	M (kg/cm <sup>2</sup> )	μ	V <sub>p</sub> /V <sub>s</sub>	IS (t*m <sup>-2</sup> *sec <sup>-1</sup> )
0.10	A - TETTO	250.00	125.00	1.46	230.3	614.0	614.0	921.0	0.33	2.00	182.01
1.00	A - LETTO	500.00	248.00	1.66	1033.9	2824.1	2764.5	4202.7	0.34	2.02	411.93
1.00	B - TETTO	500.00	248.00	1.66	1033.9	2824.1	2764.5	4202.7	0.34	2.02	411.93
6.00/7.00	B - LETTO	1400.00	612.00	2.02	7656.9	29859.7	21161.9	40068.9	0.38	2.29	1236.19

Dove:

g = densità sismica calcolata mediante la seguente formula: ; G<sub>0</sub> = Modulo di taglio; K = Modulo di volume;

E = Modulo di Young; μ = Modulo di Poisson; IS = Impedenza sismica

### 13. Prove Penetrometriche dinamiche

Per la definizione delle caratteristiche geotecniche dei depositi interessati dalla realizzazione dell'impianto fotovoltaico e delle opere ad esso connesse, è stata eseguita una campagna di indagine di prospezione geologica dei terreni a mezzo di N° 6 Prove Penetrometriche Dinamiche realizzate come indicato in figura 7.

Le prime 5 Prove penetrometriche sono state realizzate in corrispondenza del campo fotovoltaico (S1, S2, S3, S4, S5) mentre la sesta (S6) è stata realizzata in corrispondenza della sottostazione elettrica.

La prova penetrometrica dinamica consiste nel misurare la resistenza alla penetrazione di una punta conica, infissa per battitura nel terreno, per mezzo di un idoneo dispositivo di percussione, secondo una procedura standardizzata.

Le prove in sito sono state effettuate utilizzando un penetrometro dinamico modello DM30 della GEO DEEP DRILL, eseguite secondo lo standard DIN 4094 (la prova consiste nell'infiggere la punta conica nel terreno, per tratti consecutivi di 10 cm, misurando il numero di colpi necessari).

<b>Caratteristiche Tecniche-Strumentali Sonda: GEO DEEP DRILL DM30</b>	
Rif. Norme	DIN 4094
Peso Massa battente	30 Kg
Altezza di caduta libera	0,20 m
Peso sistema di battuta	3,5 Kg
Diametro punta conica	50,46 mm
Area di base punta	10 cm <sup>2</sup>
Lunghezza delle aste	1 m
Peso aste a metro	3 Kg/m
Profondità giunzione prima asta	0,80 m
Avanzamento punta	0,10 m
Numero colpi per punta	N(20)
Rivestimento/fanghi	No
Angolo di apertura punta	60°



La resistenza opposta dal terreno alla punta conica viene correlata alle caratteristiche fisico-meccaniche e portanti del terreno, consentendo inoltre di riconoscere, con buona approssimazione, la stratigrafia del sottosuolo; il tutto fino alla profondità a cui la resistenza del terreno è tale da non permetterne più l'infissione (rigetto della punta).

Per il riconoscimento ed il calcolo delle più significative caratteristiche fisico-meccaniche del terreno di fondazione, sono state elaborate le norme relative al penetrometro utilizzato per la prova eseguita.

### Correlazione con N<sub>spt</sub>

Poiché la prova penetrometrica standard (SPT) rappresenta, ad oggi, uno dei mezzi più diffusi ed economici per ricavare informazioni dal sottosuolo, la maggior parte delle correlazioni esistenti riguardano i valori del numero di colpi N<sub>spt</sub> ottenuto con la suddetta prova, pertanto si presenta la necessità di rapportare il numero di colpi di una prova dinamica con N<sub>spt</sub>. Il passaggio viene dato da:

$$N_{SPT} = \beta_t \cdot N$$

Dove:

$$\beta_t = \frac{Q}{Q_{SPT}}$$

in cui Q è l'energia specifica per colpo e Q<sub>spt</sub> è quella riferita alla prova SPT.

L'energia specifica per colpo viene calcolata come segue:

$$Q = \frac{M^2 \cdot H}{A \cdot \delta \cdot (M + M')}$$

Dove:

M = peso massa battente.

M' = peso aste.

H = altezza di caduta.

A = area base punta conica.

D = passo di avanzamento.

Attraverso la nota "Formula degli Olandesi", di seguito riportata, ci si ricava la resistenza dinamica alla punta (altrimenti detta resistenza di rottura dinamica alla punta) (R<sub>pd</sub>), parametro caratteristico dello stato di addensamento di un terreno incoerente e della consistenza di un terreno coesivo.

$$R_{pd} = \frac{M^2 \cdot H}{[A \cdot e \cdot (M + P)]} = \frac{M^2 \cdot H \cdot N}{[A \cdot \delta \cdot (M + P)]}$$

Nei successivi paragrafi saranno illustrate nello specifico le 6 prove realizzate, con l'indicazione della stratigrafia desunta e dei relativi parametri geotecnici delle litologie incontrate.

### 13.1 Prova SV664\_S1

La prova penetrometrica SV664\_S1 è stata spinta fino ad una profondità di 4.2 m dal p.c.

Qui di seguito si riportano i risultati sintetici.

Profondità (m)	Nr. Colpi	Calcolo coeff. riduzione sonda Chi	Res. dinamica ridotta (Mpa)	Res. dinamica (Mpa)	Pres. ammissibile con riduzione Herminier - Olandesi (KPa)	Pres. ammissibile Herminier - Olandesi (KPa)
0.10	1	0.857	0.33	0.38	16.44	19.19
0.20	1	0.855	0.33	0.38	16.40	19.19
0.30	1	0.853	0.33	0.38	16.36	19.19
0.40	7	0.851	2.29	2.69	114.27	134.31
0.50	9	0.849	2.93	3.45	146.59	172.68
0.60	15	0.797	4.59	5.76	229.38	287.80
0.70	46	0.645	11.39	17.65	569.42	882.60
0.80	110	0.643	27.16	42.21	1357.80	2110.56
0.90	98	0.642	22.65	35.30	1132.43	1765.20
1.00	89	0.640	20.51	32.06	1025.58	1603.09
1.10	85	0.638	19.54	30.62	976.80	1531.04
1.20	91	0.636	20.86	32.78	1042.91	1639.11
1.30	95	0.635	21.72	34.22	1085.83	1711.16
1.40	99	0.633	22.57	35.66	1128.53	1783.21
1.50	109	0.631	24.79	39.27	1239.25	1963.33
1.60	110	0.630	24.95	39.63	1247.36	1981.34
1.70	98	0.628	22.17	35.30	1108.42	1765.20
1.80	99	0.626	22.34	35.66	1116.87	1783.21
1.90	101	0.625	21.42	34.29	1070.99	1714.28
2.00	102	0.623	21.58	34.63	1078.89	1731.25
2.10	98	0.622	20.68	33.27	1034.02	1663.36
2.20	98	0.620	20.63	33.27	1031.49	1663.36
2.30	95	0.619	19.95	32.25	997.49	1612.44
2.40	95	0.617	19.90	32.25	995.11	1612.44
2.50	96	0.616	20.06	32.59	1003.20	1629.41
2.60	97	0.614	20.23	32.93	1011.28	1646.39
2.70	94	0.613	19.55	31.91	977.74	1595.47
2.80	94	0.611	19.51	31.91	975.50	1595.47
2.90	92	0.610	18.01	29.53	900.63	1476.35
3.00	96	0.609	18.75	30.81	937.68	1540.54
3.10	97	0.607	18.91	31.13	945.36	1556.58
3.20	98	0.606	19.06	31.45	953.02	1572.63
3.30	94	0.605	18.24	30.17	912.14	1508.44
3.40	93	0.603	18.01	29.85	900.51	1492.39
3.50	96	0.602	18.55	30.81	927.60	1540.54
3.60	98	0.601	18.90	31.45	944.95	1572.63
3.70	102	0.600	19.63	32.74	981.49	1636.82
3.80	104	0.598	19.97	33.38	998.70	1668.91
3.90	98	0.597	17.81	29.83	890.61	1491.29
4.00	95	0.596	17.23	28.91	861.63	1445.64
4.10	98	0.595	17.74	29.83	887.09	1491.29
4.20	99	0.594	17.89	30.13	894.41	1506.50

Prof. Strato (m)	NPDM	Rd (Mpa)	Tipo	Peso unità di volume (KN/m <sup>3</sup> )	Peso unità di volume saturo (KN/m <sup>3</sup> )	Tensione efficace (KPa)	Coeff. di correlaz. con Nspt	NSPT	Descrizione
0.6	5.67	2.17	Incoerente	14.81	18.44	4.44	0.75	4.26	sabbia e limo
4.2	96.08	32.49	Incoerente	23.93	21.57	51.96	0.75	72.16	ghiaia con sabbia

### Stima dei parametri geotecnici

Terreni incoerenti

Litologia	Prof. Strato [m]	Densità Relativa	Angolo di attrito $\phi$ [°]	Modulo di Young $E_y$ [Mpa]	Modulo Edometrico $E_d$ [Mpa]	Class. A.G.I.	Poisson	Modulo di taglio $G$ [Mpa]
		Skempton	Meyerhof (1965)	Schultze-Menzenbach	Begemann (1974)	A.G.I. 1977	A.G.I.	Robertson e Campanella (1983) e Imai & Tonouchi (1982)
sabbia e limo	0 – 0.6	18.83	21.22	3.34	3.55	Poco addensato	0.35	29.72
ghiaia con sabbia	0.6 – 4.2	100	40.62	56.61	17.23	Molto addensato	0.21	167.44

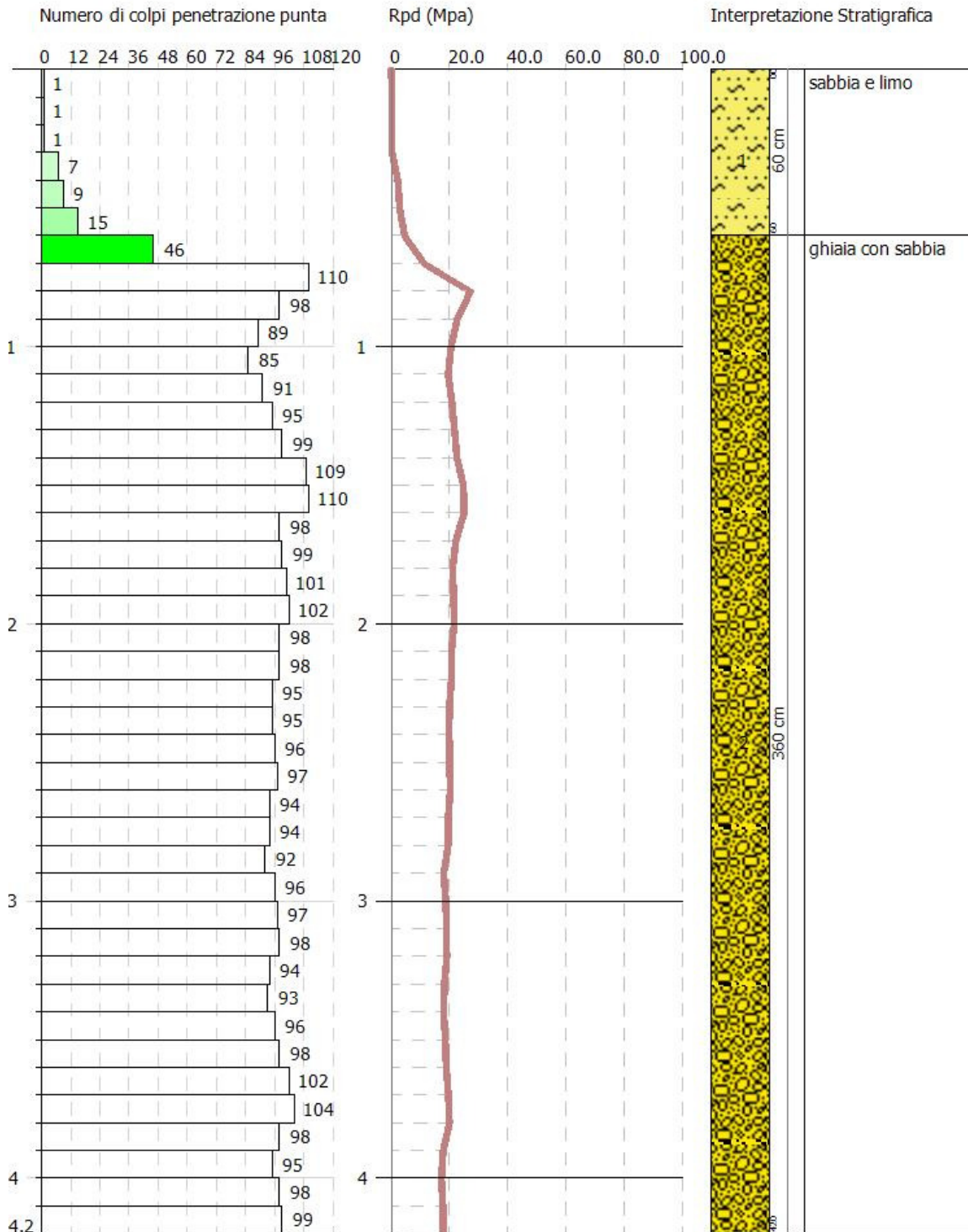
GeoMoniTek s.r.l.  
Via Trieste e Trento, 112 - Alberobello (BA)  
www.geomonitek.com - info@geomonitek.com

PROVA PENETROMETRICA DINAMICA S1  
Strumento utilizzato... GeoDeepDrill DM30

Committente: Ing. Balzano  
Descrizione: Penetrometrica  
Localita': Ortanova (FG)

09/20/2023

Scala 1:21



### 13.2 Prova SV664\_S2

La prova penetrometrica SV664\_S2 è stata spinta fino ad una profondità di 3.8 m dal p.c.

Qui di seguito si riportano i risultati sintetici.

Profondità (m)	Nr. Colpi	Calcolo coeff. riduzione sonda Chi	Res. dinamica ridotta (Mpa)	Res. dinamica (Mpa)	Pres. ammissibile con riduzione Herminier - Olandesi (KPa)	Pres. ammissibile Herminier - Olandesi (KPa)
0.10	3	0.857	0.99	1.15	49.31	57.56
0.20	14	0.805	4.32	5.37	216.14	268.62
0.30	18	0.803	5.54	6.91	277.22	345.36
0.40	17	0.801	5.22	6.52	261.19	326.18
0.50	17	0.799	5.21	6.52	260.58	326.18
0.60	13	0.797	3.98	4.99	198.80	249.43
0.70	14	0.795	4.27	5.37	213.59	268.62
0.80	11	0.843	3.56	4.22	177.99	211.06
0.90	20	0.792	5.70	7.20	285.15	360.24
1.00	31	0.690	7.70	11.17	385.14	558.38
1.10	21	0.738	5.58	7.57	279.15	378.26
1.20	17	0.786	4.82	6.12	240.76	306.21
1.30	18	0.785	5.09	6.48	254.37	324.22
1.40	23	0.733	6.07	8.29	303.61	414.28
1.50	28	0.731	7.38	10.09	368.77	504.34
1.60	27	0.730	7.10	9.73	354.80	486.33
1.70	46	0.628	10.41	16.57	520.28	828.56
1.80	52	0.626	11.73	18.73	586.64	936.64
1.90	70	0.625	14.85	23.76	742.27	1188.11
2.00	67	0.623	14.17	22.74	708.68	1137.19
2.10	68	0.622	14.35	23.08	717.48	1154.17
2.20	71	0.620	14.95	24.10	747.30	1205.09
2.30	73	0.619	15.33	24.78	766.50	1239.03
2.40	70	0.617	14.66	23.76	733.24	1188.11
2.50	62	0.616	12.96	21.05	647.90	1052.33
2.60	65	0.614	13.55	22.06	677.66	1103.25
2.70	66	0.613	13.73	22.40	686.50	1120.22
2.80	70	0.611	14.53	23.76	726.44	1188.11
2.90	71	0.610	13.90	22.79	695.05	1139.35
3.00	75	0.609	14.65	24.07	732.57	1203.54
3.10	77	0.607	15.01	24.71	750.44	1235.64
3.20	72	0.606	14.00	23.11	700.18	1155.40
3.30	73	0.605	14.17	23.43	708.37	1171.45
3.40	82	0.603	15.88	26.32	794.00	1315.87
3.50	81	0.602	15.65	26.00	782.66	1299.83
3.60	74	0.601	14.27	23.75	713.53	1187.50
3.70	77	0.600	14.82	24.71	740.93	1235.64
3.80	78	0.598	14.98	25.03	749.03	1251.69

Prof. Strato (m)	NPDM	Rd (Mpa)	Tipo	Peso unità di volume (KN/m <sup>3</sup> )	Peso unità di volume saturo (KN/m <sup>3</sup> )	Tensione efficace (KPa)	Coeff. di correlaz. con Nspt	NSPT	Descrizione
1.6	18.25	6.73	Incoerente	18.04	19.02	14.43	0.75	13.71	sabbia e limo
3.8	70	23.22	Incoerente	22.06	21.08	53.13	0.75	52.57	ghiaia con sabbia

### Stima dei parametri geotecnici

#### Terreni incoerenti

Litologia	Prof. Strato [m]	Densità Relativa	Angolo di attrito $\phi$ [°]	Modulo di Young $E_y$ [Mpa]	Modulo Edometrico $E_d$ [Mpa]	Class. A.G.I.	Poisson	Modulo di taglio $G$ [Mpa]
		Skempton	Meyerhof (1965)	Schultze-Menzenbach	Begemann (1974)	A.G.I. 1977	A.G.I.	Robertson e Campanella (1983) e Imai & Tonouchi (1982)
sabbia e limo	0 – 1.6	40.62	23.92	15.93	5.46	Moderatamente addensato	0.33	60.70
ghiaia con sabbia	1.6 – 3.8	82.59	35.02	60.90	13.28	Molto addensato	0.25	137.98

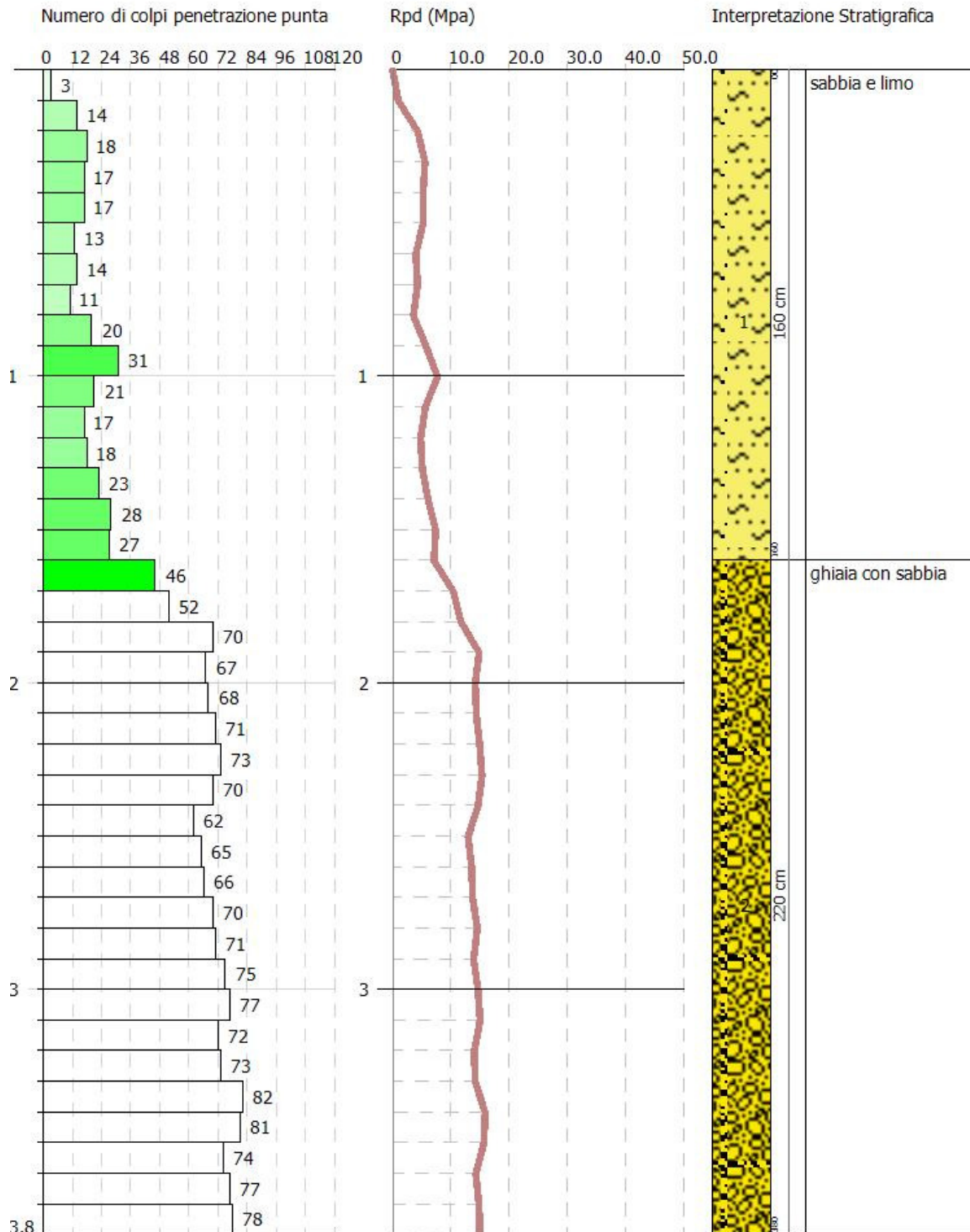
GeoMoniTek s.r.l.  
Via Trieste e Trento, 112 - Alberobello (BA)  
www.geomonitek.com - info@geomonitek.com

PROVA PENETROMETRICA DINAMICA S2  
Strumento utilizzato... GeoDeepDrill DM30

Committente: Ing. Balzano  
Descrizione: Penetrometrica  
Localita': Ortanova (FG)

09/20/2023

Scala 1:19



### 13.3 Prova SV664\_S3

La prova penetrometrica SV664\_S3 è stata spinta fino ad una profondità di 4.4 m dal p.c.

Qui di seguito si riportano i risultati sintetici.

Profondità (m)	Nr. Colpi	Calcolo coeff. riduzione sonda Chi	Res. dinamica ridotta (Mpa)	Res. dinamica (Mpa)	Pres. ammissibile con riduzione Herminier - Olandesi (KPa)	Pres. ammissibile Herminier - Olandesi (KPa)
0.10	2	0.857	0.66	0.77	32.87	38.37
0.20	17	0.805	5.25	6.52	262.45	326.18
0.30	25	0.753	7.22	9.59	361.05	479.67
0.40	65	0.651	16.23	24.94	811.61	1247.15
0.50	67	0.649	16.68	25.71	834.15	1285.52
0.60	61	0.647	15.15	23.41	757.26	1170.40
0.70	64	0.645	15.84	24.56	792.23	1227.96
0.80	68	0.643	16.79	26.09	839.36	1304.71
0.90	68	0.642	15.72	24.50	785.77	1224.83
1.00	70	0.640	16.13	25.22	806.64	1260.86
1.10	59	0.638	13.56	21.25	678.01	1062.72
1.20	61	0.636	13.98	21.97	699.09	1098.75
1.30	61	0.635	13.94	21.97	697.21	1098.75
1.40	62	0.633	14.14	22.34	706.76	1116.76
1.50	62	0.631	14.10	22.34	704.90	1116.76
1.60	65	0.630	14.74	23.42	737.08	1170.79
1.70	66	0.628	14.93	23.78	746.49	1188.81
1.80	70	0.626	15.79	25.22	789.71	1260.86
1.90	71	0.625	15.06	24.10	752.87	1205.09
2.00	75	0.623	15.87	25.46	793.30	1272.98
2.10	67	0.622	14.14	22.74	706.93	1137.19
2.20	68	0.620	14.31	23.08	715.73	1154.17
2.30	71	0.619	14.91	24.10	745.50	1205.09
2.40	73	0.617	15.29	24.78	764.66	1239.03
2.50	70	0.616	14.63	23.76	731.50	1188.11
2.60	62	0.614	12.93	21.05	646.39	1052.33
2.70	65	0.613	13.52	22.06	676.10	1103.25
2.80	66	0.611	13.70	22.40	684.93	1120.22
2.90	65	0.610	12.73	20.86	636.31	1043.07
3.00	62	0.609	12.11	19.90	605.59	994.93
3.10	63	0.607	12.28	20.22	614.00	1010.98
3.20	68	0.606	13.23	21.82	661.28	1091.21
3.30	69	0.605	13.39	22.15	669.55	1107.26
3.40	65	0.603	12.59	20.86	629.39	1043.07
3.50	65	0.602	12.56	20.86	628.06	1043.07
3.60	63	0.601	12.15	20.22	607.47	1010.98
3.70	62	0.600	11.93	19.90	596.59	994.93
3.80	69	0.598	13.25	22.15	662.60	1107.26
3.90	68	0.597	12.36	20.70	617.98	1034.77
4.00	68	0.596	12.33	20.70	616.75	1034.77
4.10	71	0.595	12.85	21.61	642.69	1080.42
4.20	71	0.594	12.83	21.61	641.44	1080.42
4.30	70	0.593	12.62	21.30	631.20	1065.21
4.40	66	0.591	11.88	20.09	594.00	1004.34

Prof. Strato (m)	NPDM	Rd (Mpa)	Tipo	Peso unità di volume (KN/m <sup>3</sup> )	Peso unità di volume saturo (KN/m <sup>3</sup> )	Tensione efficace (KPa)	Coeff. di correlaz. con Nspt	NSPT	Descrizione
0.3	14.67	5.63	Incoerente	17.26	18.83	2.59	0.75	11.02	sabbia e limo
4.4	66.39	22.57	Incoerente	21.97	21.28	50.22	0.75	49.86	ghiaia con sabbia

### Stima dei parametri geotecnici

Terreni incoerenti

Litologia	Prof. Strato [m]	Densità Relativa	Angolo di attrito $\phi$ [°]	Modulo di Young $E_y$ [Mpa]	Modulo Edometrico $E_d$ [Mpa]	Class. A.G.I.	Poisson	Modulo di taglio $G$ [Mpa]
		Skempton	Meyerhof (1965)	Schultze-Menzenbach	Begemann (1974)	A.G.I. 1977	A.G.I.	Robertson e Campanella (1983) e Imai & Tonouchi (1982)
sabbia e limo	0 – 0.3	35.2	23.15	12.82	4.91	Moderatamente addensato	0.33	53.11
ghiaia con sabbia	0.3 – 4.4	80.24	34.25	57.77	12.74	addensato	0.25	133.59

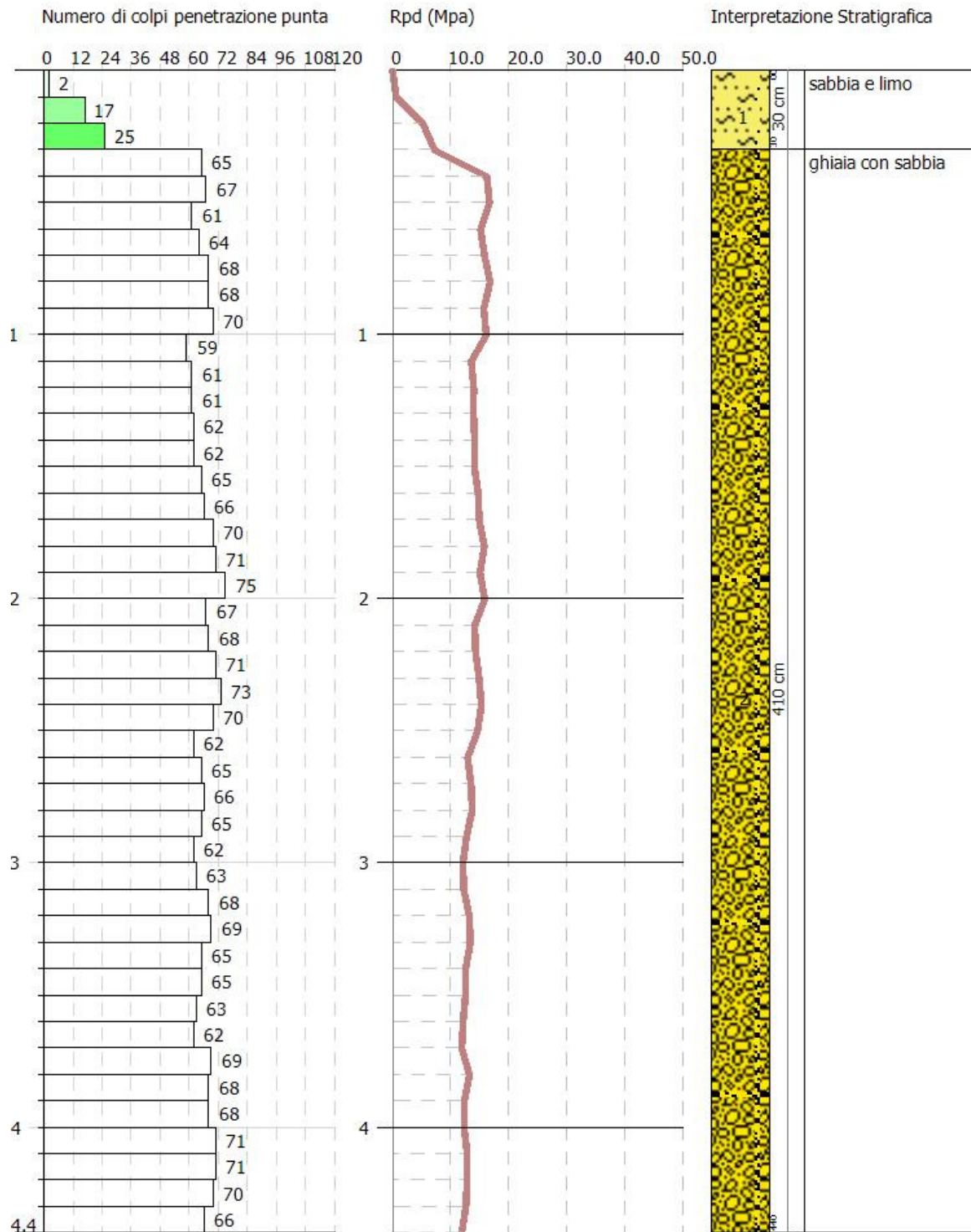
GeoMoniTek s.r.l.  
Via Trieste e Trento, 112 - Alberobello (BA)  
www.geomonitek.com - info@geomonitek.com

PROVA PENETROMETRICA DINAMICA S3  
Strumento utilizzato... GeoDeepDrill DM30

Committente: Ing. Balzano  
Descrizione: Penetrometrica  
Localita': Ortanova (FG)

09/20/2023

Scala 1:22



### 13.4 Prova SV664\_S4

La prova penetrometrica SV664\_S4 è stata spinta fino ad una profondità di 4.1 m dal p.c.

Qui di seguito si riportano i risultati sintetici.

Profondità (m)	Nr. Colpi	Calcolo coeff. riduzione sonda Chi	Res. dinamica ridotta (Mpa)	Res. dinamica (Mpa)	Pres. ammissibile con riduzione Herminier - Olandesi (KPa)	Pres. ammissibile Herminier - Olandesi (KPa)
0.10	16	0.807	4.95	6.14	247.62	306.99
0.20	31	0.705	8.38	11.90	419.11	594.79
0.30	21	0.753	6.07	8.06	303.28	402.93
0.40	18	0.801	5.53	6.91	276.56	345.36
0.50	18	0.799	5.52	6.91	275.90	345.36
0.60	24	0.747	6.88	9.21	343.99	460.49
0.70	23	0.745	6.58	8.83	328.84	441.30
0.80	30	0.743	8.56	11.51	427.87	575.61
0.90	22	0.742	5.88	7.93	293.85	396.27
1.00	41	0.640	9.45	14.77	472.46	738.50
1.10	34	0.688	8.43	12.25	421.34	612.42
1.20	36	0.686	8.90	12.97	445.00	648.44
1.30	44	0.635	10.06	15.85	502.91	792.54
1.40	88	0.633	20.06	31.70	1003.14	1585.08
1.50	53	0.631	12.05	19.09	602.57	954.65
1.60	70	0.630	15.88	25.22	793.78	1260.86
1.70	68	0.628	15.38	24.50	769.11	1224.83
1.80	69	0.626	15.57	24.86	778.43	1242.84
1.90	71	0.625	15.06	24.10	752.87	1205.09
2.00	70	0.623	14.81	23.76	740.41	1188.11
2.10	70	0.622	14.77	23.76	738.58	1188.11
2.20	69	0.620	14.53	23.42	726.25	1171.14
2.30	69	0.619	14.49	23.42	724.50	1171.14
2.40	70	0.617	14.66	23.76	733.24	1188.11
2.50	71	0.616	14.84	24.10	741.95	1205.09
2.60	70	0.614	14.60	23.76	729.79	1188.11
2.70	69	0.613	14.35	23.42	717.70	1171.14
2.80	68	0.611	14.11	23.08	705.68	1154.17
2.90	68	0.610	13.31	21.82	665.68	1091.21
3.00	77	0.609	15.04	24.71	752.10	1235.64
3.10	74	0.607	14.42	23.75	721.20	1187.50
3.20	72	0.606	14.00	23.11	700.18	1155.40
3.30	72	0.605	13.97	23.11	698.66	1155.40
3.40	71	0.603	13.75	22.79	687.49	1139.35
3.50	70	0.602	13.53	22.47	676.38	1123.31
3.60	69	0.601	13.31	22.15	665.32	1107.26
3.70	68	0.600	13.09	21.82	654.33	1091.21
3.80	71	0.598	13.64	22.79	681.81	1139.35
3.90	71	0.597	12.90	21.61	645.24	1080.42
4.00	72	0.596	13.06	21.91	653.03	1095.64
4.10	73	0.595	13.22	22.22	660.79	1110.86

Prof. Strato (m)	NPDM	Rd (Mpa)	Tipo	Peso unità di volume (KN/m <sup>3</sup> )	Peso unità di volume saturo (KN/m <sup>3</sup> )	Tensione efficace (KPa)	Coeff. di correlaz. con Nspt	NSPT	Descrizione
1.3	27.54	10.25	Incoerente	19.71	19.42	12.81	0.75	20.68	sabbia e limo
4.1	70.46	23.44	Incoerente	22.06	21.08	56.51	0.75	52.92	ghiaia con sabbia

### Stima dei parametri geotecnici

Terreni incoerenti

Litologia	Prof. Strato [m]	Densità Relativa	Angolo di attrito $\phi$ [°]	Modulo di Young $E_y$ [Mpa]	Modulo Edometrico $E_d$ [Mpa]	Class. A.G.I.	Poisson	Modulo di taglio $G$ [Mpa]
		Skempton	Meyerhof (1965)	Schultze-Menzenbach	Begemann (1974)	A.G.I. 1977	A.G.I.	Robertson e Campanella (1983) e Imai & Tonouchi (1982)
sabbia e limo	0 – 1.3	52.23	25.91	24.00	6.86	Moderatamente addensato	0.31	78.02
ghiaia con sabbia	1.3 – 4.1	82.9	35.12	61.31	13.35	Molto addensato	0.25	138.54

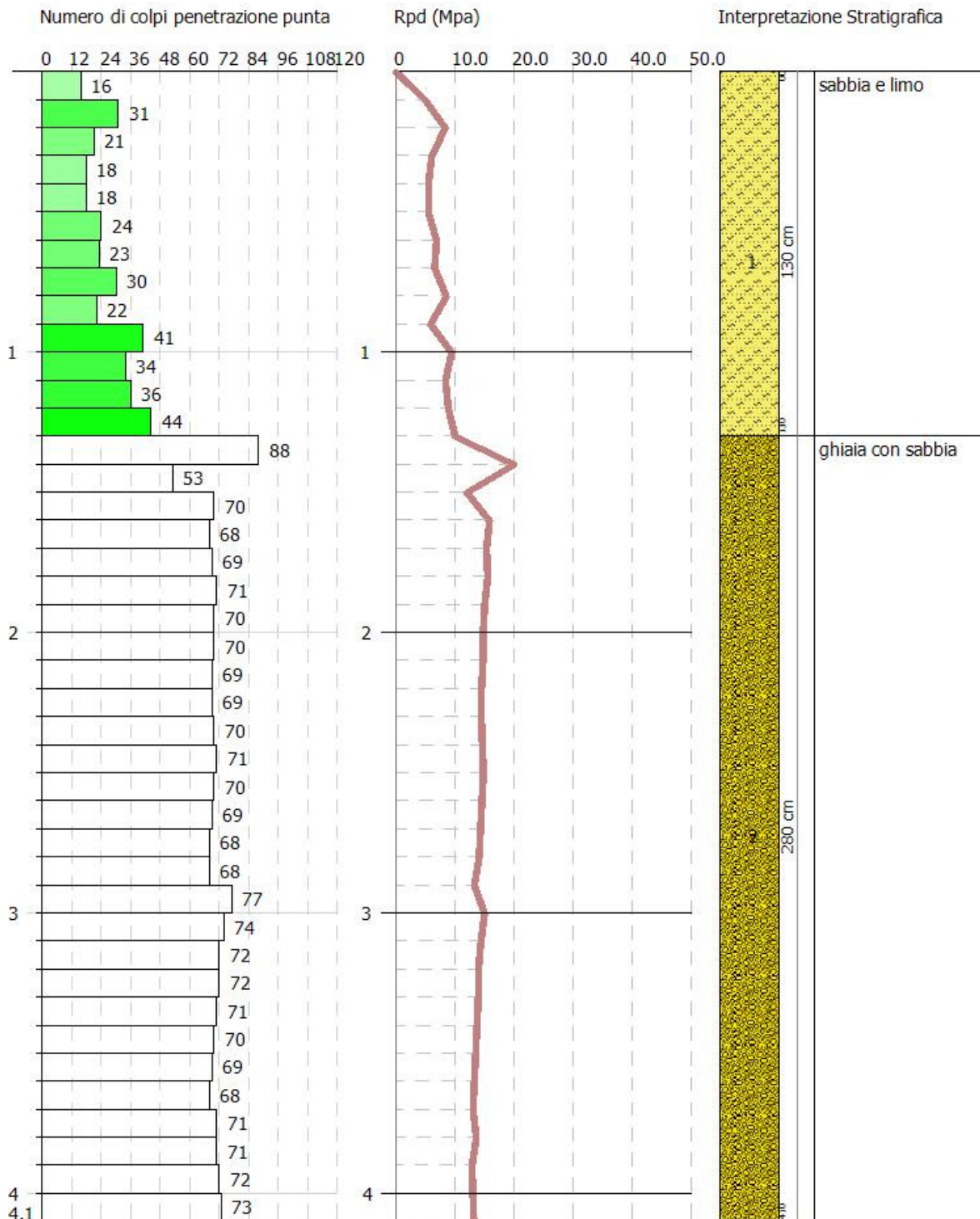
GeoMoniTek s.r.l.  
Via Trieste e Trento, 112 - Alberobello (BA)  
www.geomonitek.com - info@geomonitek.com

PROVA PENETROMETRICA DINAMICA S4  
Strumento utilizzato... GeoDeepDrill DM30

Committente: Ing. Balzano  
Descrizione: Penetrometrica  
Localita': Ortanova (FG)

09/20/2023

Scala 1:21



### 13.5 Prova SV664\_S5

La prova penetrometrica SV664\_S5 è stata spinta fino ad una profondità di 4.0 m dal p.c.

Qui di seguito si riportano i risultati sintetici.

Profondità (m)	Nr. Colpi	Calcolo coeff. riduzione sonda Chi	Res. dinamica ridotta (Mpa)	Res. dinamica (Mpa)	Pres. ammissibile con riduzione Herminier - Olandesi (KPa)	Pres. ammissibile Herminier - Olandesi (KPa)
0.10	1	0.857	0.33	0.38	16.44	19.19
0.20	7	0.855	2.30	2.69	114.78	134.31
0.30	18	0.803	5.54	6.91	277.22	345.36
0.40	19	0.801	5.84	7.29	291.92	364.55
0.50	20	0.799	6.13	7.67	306.56	383.74
0.60	22	0.747	6.31	8.44	315.32	422.11
0.70	24	0.745	6.86	9.21	343.14	460.49
0.80	25	0.743	7.13	9.59	356.56	479.67
0.90	20	0.792	5.70	7.20	285.15	360.24
1.00	19	0.790	5.41	6.84	270.28	342.23
1.10	20	0.788	5.68	7.20	283.87	360.24
1.20	20	0.786	5.66	7.20	283.25	360.24
1.30	19	0.785	5.37	6.84	268.50	342.23
1.40	22	0.733	5.81	7.93	290.41	396.27
1.50	23	0.731	6.06	8.29	302.92	414.28
1.60	22	0.730	5.78	7.93	289.10	396.27
1.70	25	0.728	6.56	9.01	327.79	450.31
1.80	26	0.726	6.80	9.37	340.15	468.32
1.90	28	0.725	6.89	9.50	344.43	475.25
2.00	31	0.673	7.08	10.52	354.21	526.16
2.10	35	0.672	7.98	11.88	398.99	594.06
2.20	42	0.620	8.84	14.26	442.07	712.87
2.30	43	0.619	9.03	14.60	451.50	729.84
2.40	51	0.617	10.68	17.31	534.22	865.63
2.50	52	0.616	10.87	17.65	543.40	882.60
2.60	52	0.614	10.84	17.65	542.13	882.60
2.70	56	0.613	11.65	19.01	582.48	950.49
2.80	59	0.611	12.25	20.03	612.28	1001.41
2.90	59	0.610	11.55	18.94	577.58	946.79
3.00	61	0.609	11.92	19.58	595.82	978.88
3.10	65	0.607	12.67	20.86	633.49	1043.07
3.20	66	0.606	12.84	21.18	641.83	1059.12
3.30	65	0.605	12.61	20.86	630.74	1043.07
3.40	69	0.603	13.36	22.15	668.12	1107.26
3.50	65	0.602	12.56	20.86	628.06	1043.07
3.60	65	0.601	12.54	20.86	626.75	1043.07
3.70	63	0.600	12.12	20.22	606.22	1010.98
3.80	75	0.598	14.40	24.07	720.22	1203.54
3.90	77	0.597	14.00	23.43	699.77	1171.73
4.00	72	0.596	13.06	21.91	653.03	1095.64

Prof. Strato (m)	NPDM	Rd (Mpa)	Tipo	Peso unità di volume (KN/m <sup>3</sup> )	Peso unità di volume saturo (KN/m <sup>3</sup> )	Tensione efficace (KPa)	Coeff. di correlaz. con Nspt	NSPT	Descrizione
2	20.55	7.5	Incoerente	18.53	19.12	18.53	0.75	15.43	sabbia e limo
4	59.6	19.37	Incoerente	21.77	20.89	58.83	0.75	44.76	ghiaia con sabbia

### Stima dei parametri geotecnici

#### Terreni incoerenti

Litologia	Prof. Strato [m]	Densità Relativa	Angolo di attrito $\phi$ [°]	Modulo di Young $E_y$ [Mpa]	Modulo Edometrico $E_d$ [Mpa]	Class. A.G.I.	Poisson	Modulo di taglio $G$ [Mpa]
		Skempton	Meyerhof (1965)	Schultze-Menzenbach	Begemann (1974)	A.G.I. 1977	A.G.I.	Robertson e Campanella (1983) e Imai & Tonouchi (1982)
sabbia e limo	0 – 2.0	43.79	24.41	17.92	5.80	Moderatamente addensato	0.32	65.24
ghiaia con sabbia	2.0 – 4.0	76.12	32.79	51.86	11.71	addensato	0.26	125.06

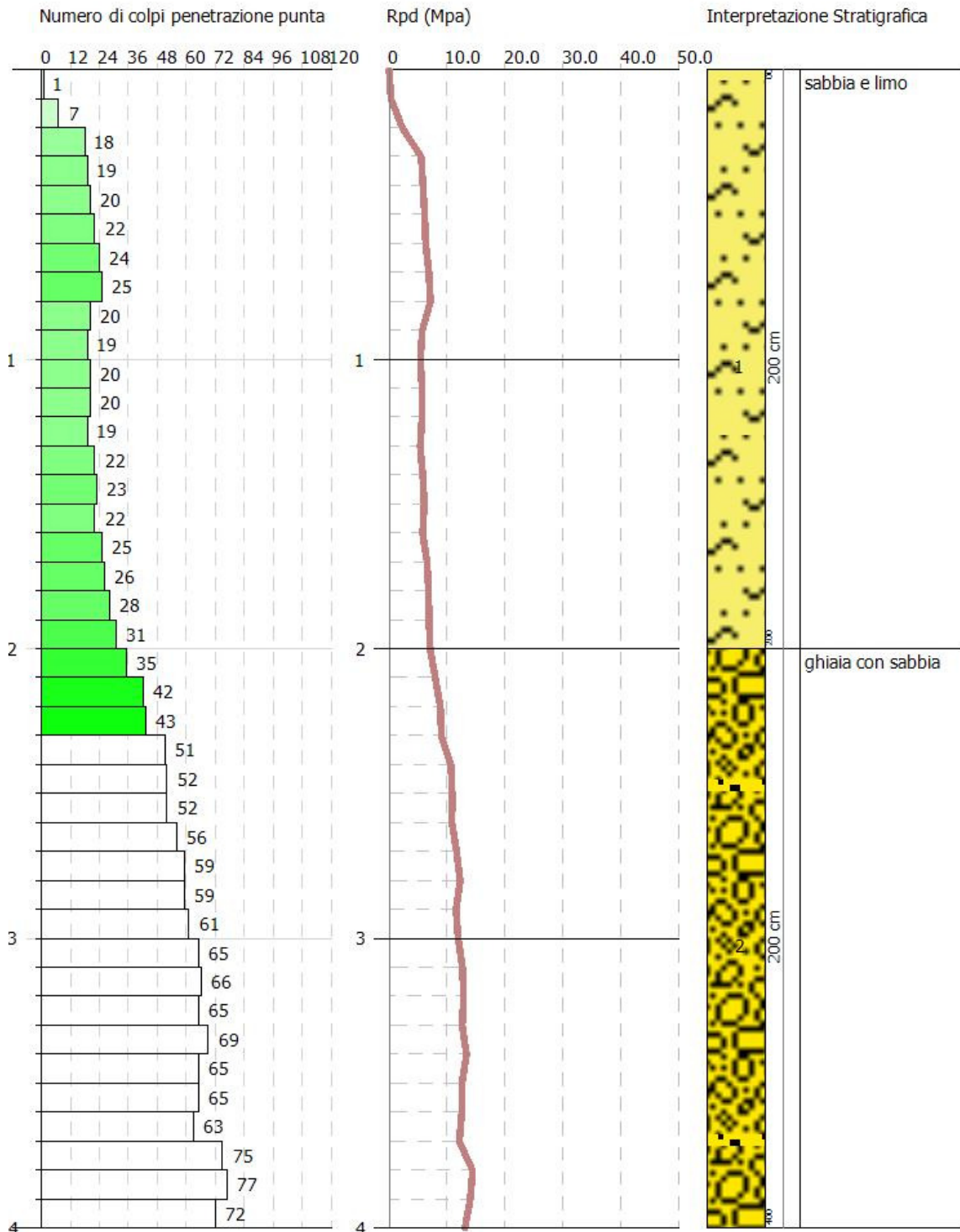
GeoMoniTek s.r.l.  
Via Trieste e Trento, 112 - Alberobello (BA)  
www.geomonitek.com - info@geomonitek.com

PROVA PENETROMETRICA DINAMICA S5  
Strumento utilizzato... GeoDeepDrill DM30

Committente: Ing. Balzano  
Descrizione: Penetrometrica  
Localita': Ortanova

09/20/2023

Scala 1:20



### 13.6 Prova SV664\_S6

La prova penetrometrica SV664\_S6 è stata spinta fino ad una profondità di 4.2 m dal p.c.  
Qui di seguito si riportano i risultati sintetici.

Profondità (m)	Nr. Colpi	Calcolo coeff. riduzione sonda Chi	Res. dinamica ridotta (Mpa)	Res. dinamica (Mpa)	Pres. ammissibile con riduzione Herminier - Olandesi (KPa)	Pres. ammissibile Herminier - Olandesi (KPa)
0.10	2	0.857	0.66	0.77	32.87	38.37
0.20	4	0.855	1.31	1.53	65.59	76.75
0.30	4	0.853	1.31	1.53	65.44	76.75
0.40	8	0.851	2.61	3.07	130.59	153.50
0.50	10	0.849	3.26	3.84	162.87	191.87
0.60	10	0.847	3.25	3.84	162.51	191.87
0.70	11	0.845	3.57	4.22	178.38	211.06
0.80	13	0.793	3.96	4.99	197.88	249.43
0.90	16	0.792	4.56	5.76	228.12	288.20
1.00	67	0.640	15.44	24.14	772.07	1206.82
1.10	61	0.638	14.02	21.97	701.00	1098.75
1.20	64	0.636	14.67	23.06	733.48	1152.78
1.30	68	0.635	15.54	24.50	777.22	1224.83
1.40	68	0.633	15.50	24.50	775.15	1224.83
1.50	66	0.631	15.01	23.78	750.37	1188.81
1.60	70	0.630	15.88	25.22	793.78	1260.86
1.70	68	0.628	15.38	24.50	769.11	1224.83
1.80	69	0.626	15.57	24.86	778.43	1242.84
1.90	71	0.625	15.06	24.10	752.87	1205.09
2.00	70	0.623	14.81	23.76	740.41	1188.11
2.10	67	0.622	14.14	22.74	706.93	1137.19
2.20	68	0.620	14.31	23.08	715.73	1154.17
2.30	71	0.619	14.91	24.10	745.50	1205.09
2.40	73	0.617	15.29	24.78	764.66	1239.03
2.50	70	0.616	14.63	23.76	731.50	1188.11
2.60	62	0.614	12.93	21.05	646.39	1052.33
2.70	69	0.613	14.35	23.42	717.70	1171.14
2.80	68	0.611	14.11	23.08	705.68	1154.17
2.90	68	0.610	13.31	21.82	665.68	1091.21
3.00	77	0.609	15.04	24.71	752.10	1235.64
3.10	74	0.607	14.42	23.75	721.20	1187.50
3.20	72	0.606	14.00	23.11	700.18	1155.40
3.30	72	0.605	13.97	23.11	698.66	1155.40
3.40	74	0.603	14.33	23.75	716.54	1187.50
3.50	74	0.602	14.30	23.75	715.03	1187.50
3.60	75	0.601	14.46	24.07	723.18	1203.54
3.70	75	0.600	14.43	24.07	721.69	1203.54
3.80	75	0.598	14.40	24.07	720.22	1203.54
3.90	75	0.597	13.63	22.83	681.59	1141.29
4.00	78	0.596	14.15	23.74	707.44	1186.94
4.10	78	0.595	14.12	23.74	706.05	1186.94
4.20	81	0.594	14.64	24.65	731.79	1232.59

Prof. Strato (m)	NPDM	Rd (Mpa)	Tipo	Peso unità di volume (KN/m <sup>3</sup> )	Peso unità di volume saturo (KN/m <sup>3</sup> )	Tensione efficace (KPa)	Coeff. di correlaz. con Nspt	NSPT	Descrizione
0.9	8.67	3.28	Incoerente	15.69	18.63	7.06	0.75	6.51	sabbia e limo
4.2	70.85	23.68	Incoerente	22.06	21.18	50.52	0.75	53.21	ghiaia con sabbia

### Stima dei parametri geotecnici

#### Terreni incoerenti

Litologia	Prof. Strato [m]	Densità Relativa	Angolo di attrito $\phi$ [°]	Modulo di Young $E_y$ [Mpa]	Modulo Edometrico $E_d$ [Mpa]	Class. A.G.I.	Poisson	Modulo di taglio $G$ [Mpa]
		Skempton	Meyerhof (1965)	Schultze-Menzenbach	Begemann (1974)	A.G.I. 1977	A.G.I.	Robertson e Campanella (1983) e Imai & Tonouchi (1982)
sabbia e limo	0 – 0.9	24.75	21.86	-	4.01	Poco addensato	0.34	38.51
ghiaia con sabbia	0.9 – 4.2	83.16	35.20	61.64	13.41	Molto addensato	0.25	139.00

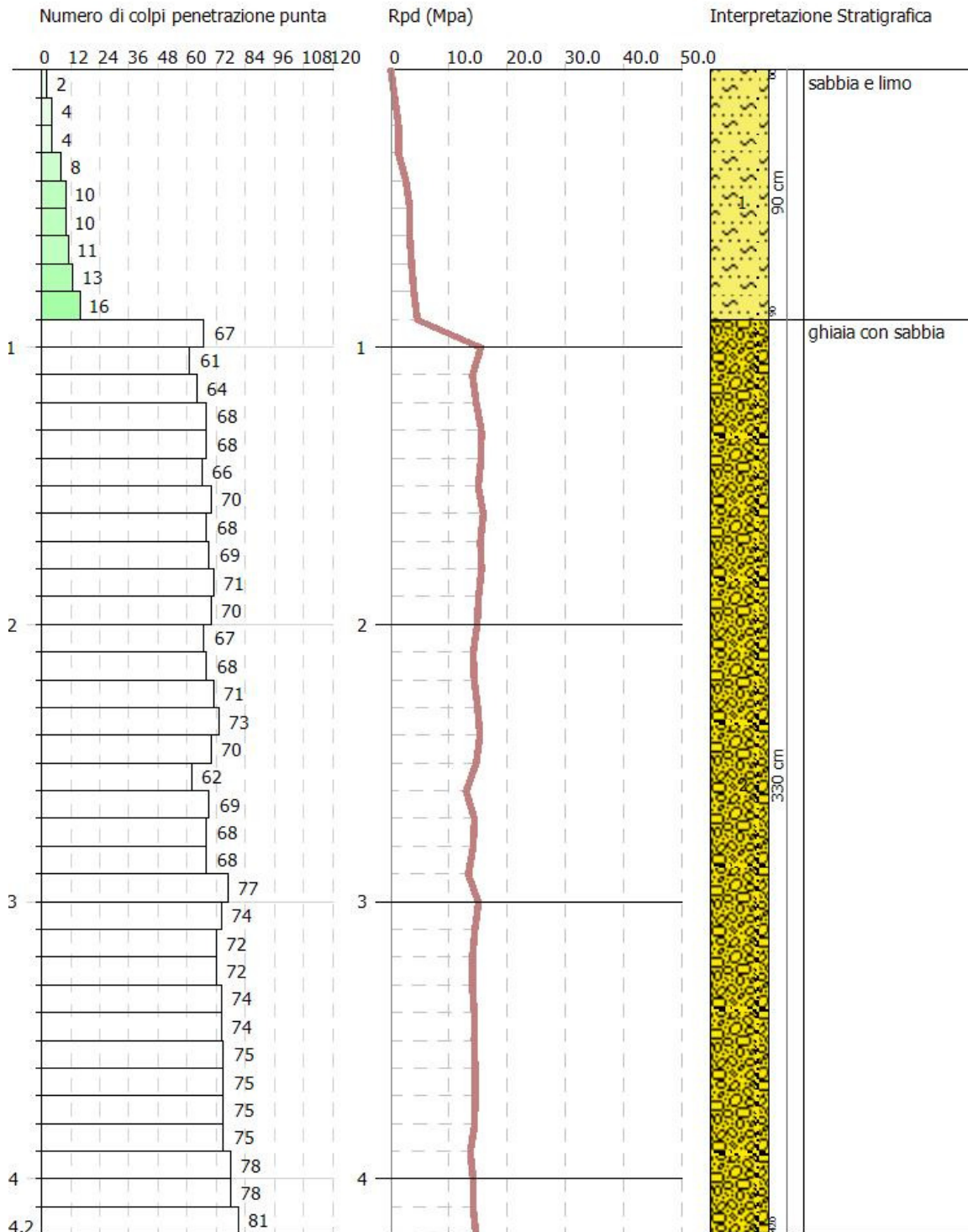
GeoMoniTek s.r.l.  
Via Trieste e Trento, 112 - Alberobello (BA)  
www.geomonitek.com - info@geomonitek.com

PROVA PENETROMETRICA DINAMICA S6  
Strumento utilizzato... GeoDeepDrill DM30

Committente: Ing. Balzano  
Descrizione: Penetrometrica  
Localita': Ascoli Satriano (FG)

09/20/2023

Scala 1:21



## 14. Modello geologico-tecnico generale

L'analisi compiuta ed illustrata nei precedenti paragrafi permette di ricostruire con discreto dettaglio il modello geologico-tecnico generale dei terreni interessati dall'installazione dei pannelli fotovoltaici e la realizzazione delle opere connesse e delle infrastrutture indispensabili alla sua costruzione e funzionalità.

Tutta la zona infatti, risulta essere caratterizzata da una stessa tematica deposizionale, caratterizzata da unità litotecniche che dall'alto verso il basso, pur evidenziando arealmente differenze nello spessore ed eteropie laterali che si traducono in anisotropie litotecniche, sono così organizzate.

Unità A – E' costituita da sedimenti sabbioso e siltosi poco o debolmente coesi molto alterati che raggiungono una profondità compresa tra 0.5 e 1.5/2.0 m dal p.c.;

Unità B – E' costituita da conglomerati immersi in matrice sabbioso-argillosa e che tendenzialmente raggiungono una profondità di circa 7/10 metri dal p.c.

Nei seguenti paragrafi si riportano nello specifico le tabelle geologico-tecniche per il campo fotovoltaico e la sottostazione di servizio.

### 14.1 Modello geologico-tecnico campo fotovoltaico

Nel seguito sono sintetizzati i range dei parametri geotecnici relativi al campo fotovoltaico.

#### Stima dei parametri geotecnici

Strato	Peso di volume	Angolo di attrito	Coesione non drenata	Coesione efficace	Modulo edometrico	Modulo elastico	k1x	k1y	k1z
	[N/cmc]	[°]	[N/mm <sup>q</sup> ]	[N/mm <sup>q</sup> ]	[N/mm <sup>q</sup> ]	[N/mm <sup>q</sup> ]	[N/cmc]	[N/cmc]	[N/cmc]
A	0.01481	21.22	-	-	3.55	3.34	2	2	5
	-	-	-	-	-	-			
B	0.01971	25.91	-	0.0039	11.71	51.86	35	35	110
	0.02193	32.79	-	-	-	-			
	0.02393	35.12	-	0.0050	35.12	61.31			

### 14.2 Modello geologico-tecnico sottostazione

Per la sottostazione, posizionato nella zona orientale dell'area di progetto, è possibile far riferimento ai parametri desunti dalla prova penetrometrica SV664\_S6 e dalla Tomografia sismica EE'.

#### Stima dei parametri geotecnici

Strato	Peso di volume	Angolo di attrito	Coesione non drenata	Coesione efficace	Modulo edometrico	Modulo elastico	k1x	k1y	k1z
	[N/cmc]	[°]	[N/mm <sup>q</sup> ]	[N/mm <sup>q</sup> ]	[N/mm <sup>q</sup> ]	[N/mm <sup>q</sup> ]	[N/cmc]	[N/cmc]	[N/cmc]
A	0.01569	21.86	-	-	4.01	-	2	2	5
B	0.02118	35.20	-	0.0039	13.41	61.64	35	35	110
				-					
				0.0050					

## 15. Cenni sulla sismicità dell'area

Per definire l'azione sismica di progetto si dovrebbe valutare l'effetto della risposta sismica locale mediante specifiche analisi da condurre in sito. In assenza di tali analisi comunque, per la definizione dell'azione sismica si può fare riferimento ad un approccio semplificato, che si basa sull'individuazione di categorie di sottosuolo di riferimento (Tab. 3.2.II e 3.2.III) e sulle condizioni topografiche. Nell'ambito del presente studio per definire l'azione sismica di progetto è stato utilizzato l'approccio semplificato, utilizzando la categoria di sottosuolo di fondazione desunta dalla prova sperimentale MASW eseguita nell'area di studio e utilizzando i parametri sismici definiti dai dati pubblicati sul sito dell'Istituto Nazionale di Geofisica e Vulcanologia (INGV, <http://esse1.mi.ingv.it/>).

### 15.1 Classificazione sismica

In base alla classificazione sismica dei comuni italiani di cui all'ordinanza n.3274 del 20 marzo 2003 (allegato 1 - Allegato A) il comune di Ascoli Satriano viene classificato come Zona 2.

### 15.2 Categoria di sottosuolo e condizioni topografiche (D.M. 17/01/2018)

Ai fini della definizione dell'azione sismica di progetto, in assenza della valutazione della risposta sismica locale sulla base di analisi specifiche è possibile fare riferimento ad una metodologia semplificata basata sulle categorie di sottosuolo di riferimento (Tabella 3.2.II del D.M. 17/01/2018) e sulle categorie topografiche (Tabella 3.2.IV del D.M. 17/01/2018).

#### 15.2.1 Categoria di sottosuolo di riferimento

Per la determinazione della categoria di sottosuolo di fondazione sono stati considerati i risultati delle indagini sismiche realizzate nei siti di progetto. Pertanto, sulla base delle risultanze delle indagini sismiche considerate, poichè il substrato sismico non risulta affiorante e presente nei primi 30 metri di profondità dal p.c., è possibile affermare che il profilo stratigrafico del suolo di fondazione delle opere in progetto ricada nella **categoria B**: *Rocce tenere e depositi di terreni a grana grossa molto addensati o terreni a grana fina molto consistenti, caratterizzati da un miglioramento delle proprietà meccaniche con la profondità e da valori di velocità equivalente compresi tra 360 m/s e 800 m/s.*

#### 15.2.2 Condizioni topografiche

In relazione all'andamento morfologico locale con inclinazione del pendio  $i \leq 15^\circ$  è possibile classificare il sito di interesse come categoria: T1 - superficie pianeggiante, pendii e rilievi isolati con inclinazione media  $\leq 15^\circ$ .

### 15.3 Pericolosità sismica di Base

Le Nuove Norme Tecniche per le Costruzioni (NTC) D.M. 17.01.2018 introducono il concetto di pericolosità sismica di base in condizioni ideali di sito di riferimento rigido con superficie topografica orizzontale.

La "pericolosità sismica di base", nel seguito chiamata pericolosità sismica, costituisce l'elemento di conoscenza primario per la determinazione delle azioni sismiche da applicare alle costruzioni e alle strutture connesse.

Allo stato attuale, la pericolosità sismica su reticolo di riferimento nell'intervallo di riferimento è fornita dai dati pubblicati sul sito dell'Istituto Nazionale di Geofisica e Vulcanologia (INGV, <http://esse1.mi.ingv.it/>).

Le NTC introducono il concetto di nodo di riferimento di un reticolo composto da 10751 punti in cui è stato suddiviso l'intero territorio italiano. Le stesse NTC forniscono, per ciascun nodo del reticolo di riferimento e per ciascuno dei periodi di ritorno  $T_r$ , considerati nella pericolosità sismica, tre parametri:

- $a_g$  = accelerazione orizzontale massima del terreno (espressa in g/10);
- $F_0$  = valore massimo del fattore di amplificazione dello spettro di accelerazione orizzontale;
- $T^*_c$  = periodo di inizio del tratto a velocità costante dello spettro in accelerazione orizzontale.

Da un punto di vista normativo pertanto, la pericolosità sismica di un sito non è sintetizzata più dall'unico parametro ( $a_g$ ), ma dipende dalla posizione rispetto ai nodi della maglia elementare del reticolo di riferimento contenente il punto in esame, dalla Vita Nominale e dalla Classe d'uso dell'opera. I punti del reticolo di riferimento riportati nella Tabella A1 delle NTC hanno un passo di circa 10 km e sono definiti in termini di Latitudine e Longitudine.

La rappresentazione grafica dello studio di pericolosità sismica di base dell'INGV, da cui è stata tratta la Tabella A1 delle NTC, è caratterizzata da una mappa di pericolosità Sismica del Territorio Nazionale, espressa in termini di accelerazione massima del suolo rigido (in g) in funzione della probabilità di eccedenza nel periodo di riferimento considerato.

Nella tabella seguente, per i vari Stati Limite, sono indicati i valori dei parametri  $a_g$ ,  $F_0$  e  $T^*_c$ , calcolati come media dei valori dei nodi della griglia di riferimento, utilizzando il foglio di calcolo pubblicato nel sito del Ministero Lavori Pubblici, per una costruzione di Classe d'uso II e Vita Nominale  $\geq 50$  anni.

**Tabella: Parametri spettrali: Classe d'uso II -  $V_N \geq 50$  anni**

Latitudine (ED 50)	Longitudine (ED 50)	Stato limite	$T_R$ (anni)	$a_g$ [g]	$F_0$ [ - ]	$T^*_c$ [s]
41.259553	15.629514	SLO	30	0,046	2.467	0.288
41.259553	15.629514	SLD	50	0,058	2.561	0.313
41.259553	15.629514	SLV	475	0.176	2.489	0.410
41.259553	15.629514	SLC	975	0.245	2.429	0.421

#### 15.4 Accelerazione massima attesa in superficie

In assenza di analisi specifiche della risposta sismica locale è possibile valutare l'accelerazione massima attesa al sito mediante la relazione:

$$a_{max} = S_S \cdot S_T \cdot a_g$$

in cui:

$S_S$ , è il coefficiente che tiene conto dell'effetto dell'amplificazione stratigrafica;

$S_T$ , è il coefficiente che tiene conto dell'effetto dell'amplificazione topografica;

$a_g$  è l'accelerazione orizzontale massima su suolo di categoria A,

nel caso in esame, potrà essere assunto:

**$S_S$  (Amplificazione stratigrafica) = 1.20 (SLO) – 1.20 (SLD) – 1.20 (SLV) – 1.16 (SLC);**

**$C_c$  (Coeff. Funzione categoria) = 1.41 (SLO) – 1.39 (SLD) – 1.31 (SLV) – 1.31 (SLC).**

**$S_T = 1.00$  (categoria topografica T1);**

**$a_g = 0.046$  g (SLO) -  $0.058$  g (SLD) –  $0.176$  g (SLV) –  $0.245$  g (SLC).**

Sulla base dei dati sopra riportati risulta pertanto che  $A_{max}$  in funzione degli SL varia nella seguente maniera:

- **$A_{max}$  (SLO) =  $S_S \cdot S_T \cdot a_g = 1.20 \cdot 1.41 \cdot 0.046$  g = **0.538 m/s<sup>2</sup>**;**
- **$A_{max}$  (SLD) =  $S_S \cdot S_T \cdot a_g = 1.20 \cdot 1.39 \cdot 0.058$  g = **0.683 m/s<sup>2</sup>**;**
- **$A_{max}$  (SLV) =  $S_S \cdot S_T \cdot a_g = 1.20 \cdot 1.31 \cdot 0.176$  g = **2.070 m/s<sup>2</sup>**;**
- **$A_{max}$  (SLC) =  $S_S \cdot S_T \cdot a_g = 1.16 \cdot 1.31 \cdot 0.245$  g = **2.783 m/s<sup>2</sup>**.**

I coefficienti sismici inoltre, sono riportati nella seguente tabella:

	Kh [-]	Kv [-]	$\beta$ [-]
SLO	0,011	0,006	0,200
SLD	0,014	0,007	0,200
SLV	0,051	0,025	0,240
SLC	0,079	0,040	0,280

Dove Kh e Kv sono i coefficienti sismici orizzontale e verticale desunti dalle seguenti relazioni:

$$K_h = \beta \cdot A_{max}/g;$$

$$K_v = 0.5 \cdot K_h.$$

## 16. Considerazioni conclusive

I risultati delle indagini compiute durante i sopralluoghi effettuati direttamente sul campo, le osservazioni delle immagini satellitari della zona e i dati bibliografici consultati permettono di delineare il seguente sintetico quadro geologico, geomorfologico, idrogeologico, geologico-tecnico e sismico.

L'analisi compiuta ed illustrata nei precedenti paragrafi permette di ricostruire con discreto dettaglio il modello geologico-tecnico generale dei terreni interessati dall'installazione dei pannelli fotovoltaici e la realizzazione delle opere connesse e delle infrastrutture indispensabili alla sua costruzione e funzionalità.

Tutta la zona infatti, risulta essere caratterizzata da una stessa tematica deposizionale, caratterizzata da unità litotecniche che dall'alto verso il basso, pur evidenziando arealmente differenze nello spessore ed eteropie laterali che si traducono in anisotropie litotecniche, sono così organizzate.

Unità A – E' costituita da sedimenti sabbioso e siltsosi poco o debolmente coesi molto alterati che raggiungono una profondità compresa tra 0.5 e 1.5/2.0 m dal p.c.;

Unità B – E' costituita da conglomerati immersi in matrice sabbioso-argillosa e che tendenzialmente raggiungono una profondità di circa 7/10 metri dal p.c.

In corrispondenza di tutte le unità inoltre, l'andamento ondulato delle velocità sismiche permette di ipotizzare la presenza di variazioni granulometriche e di coesione che implicano la presenza di anisotropie laterali di facies litologiche e litotecniche.

Lo stesso modello litostratigrafico è presente in corrispondenza della sottostazione di servizio e lungo il tracciato dell'elettrodotto, opera che si svilupperà in sotterraneo a differenti profondità dal piano campagna in relazione agli attraversamenti. A favore di sicurezza infatti, l'elettrodotto sarà installato ad una profondità di circa 2 metri al di sotto degli alvei dei torrenti attraversati. Il piano di posa nelle zone non interessate da attraversamenti sarà posizionato invece a circa 1,0 metro dal piano campagna.

Dal punto di vista idrogeologico, l'unico acquifero presente è quello poroso superficiale la cui soggiacenza dal piano campagna risulta a circa 30 metri di profondità e quindi le fondazioni non dovrebbero essere influenzate dalle acque sotterranee. Si fa tuttavia presente la possibilità di rinvenimento di limitate e poco estese falde sospese presenti nelle sacche sabbiose e sostenute localmente da lenti impermeabili.

A seguito delle indagini sismiche effettuate inoltre, sono state riscontrate velocità delle  $V_s$  eq come di seguito indicato:

- AA' 24 m –  $V_{seq} = 622.38$  m/s;
- BB' 24 m –  $V_{seq} = 601.24$  m/s;
- CC' 24 m –  $V_{seq} = 676.89$  m/s;
- DD' 24 m -  $V_{seq} = 634.39$  m/s;
- EE' 24 m –  $V_{seq} = 468.62$  m/s;

Pertanto è possibile definire quanto segue:

- il suolo di fondazione è attribuibile alla **categoria B** (O.P.C.M. n.3274/del 20.03.2003, Norme Tecniche sulle Costruzioni del 17/01/2018), sia per la zona del campo fotovoltaico che per quella della sottostazione.

---

La panoramica delle considerazioni tecniche effettuate quindi, permette di concludere che il sito, in relazione alla tipologia delle opere previste (pannelli fotovoltaici ancorati al suolo mediante paletti infissi nel terreno), e su cui graveranno carichi strutturali alquanto limitati, sia idoneo dal punto di vista geologico e geotecnico alla realizzazione dell'opera e delle strutture ad essa connesse.

---

Alberobello, 12.10.2023

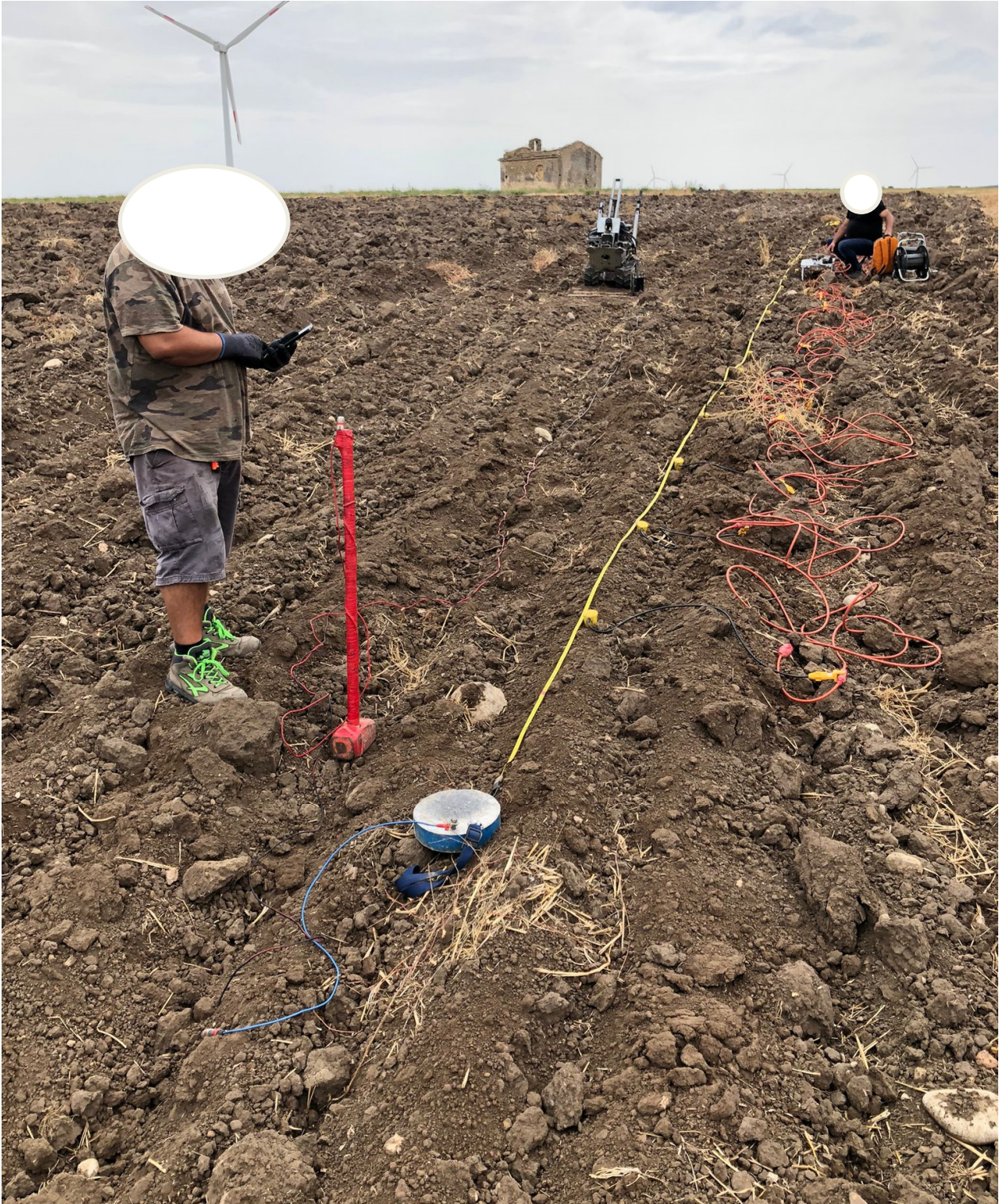
Dott. Geol. Giorgio De Giorgio



A circular professional stamp from the "ORDINE DEI GEOLOGI PUGLIA" (Order of Geologists Puglia). The stamp contains the text: "geologo GIORGIO DE GIORGIO N.° 704". To the right of the stamp is a handwritten signature in black ink.

## DOCUMENTAZIONE FOTOGRAFICA INDAGINI

### STENDIMENTO SISMICO AÀ – 24 m



## STENDIMENTO SISMICO BB' – 24 m



## STENDIMENTO SISMICO CC' – 24 m



STENDIMENTO SISMICO DD' – 24 m



STENDIMENTO SISMICO EE' – 24 m



## PROVA PENETROMETRICA SV664\_P1



## PROVA PENETROMETRICA SV664\_P2



## PROVA PENETROMETRICA SV664\_P3



## PROVA PENETROMETRICA SV664\_P4



## PROVA PENETROMETRICA SV664\_P5



## PROVA PENETROMETRICA SV664\_P6

